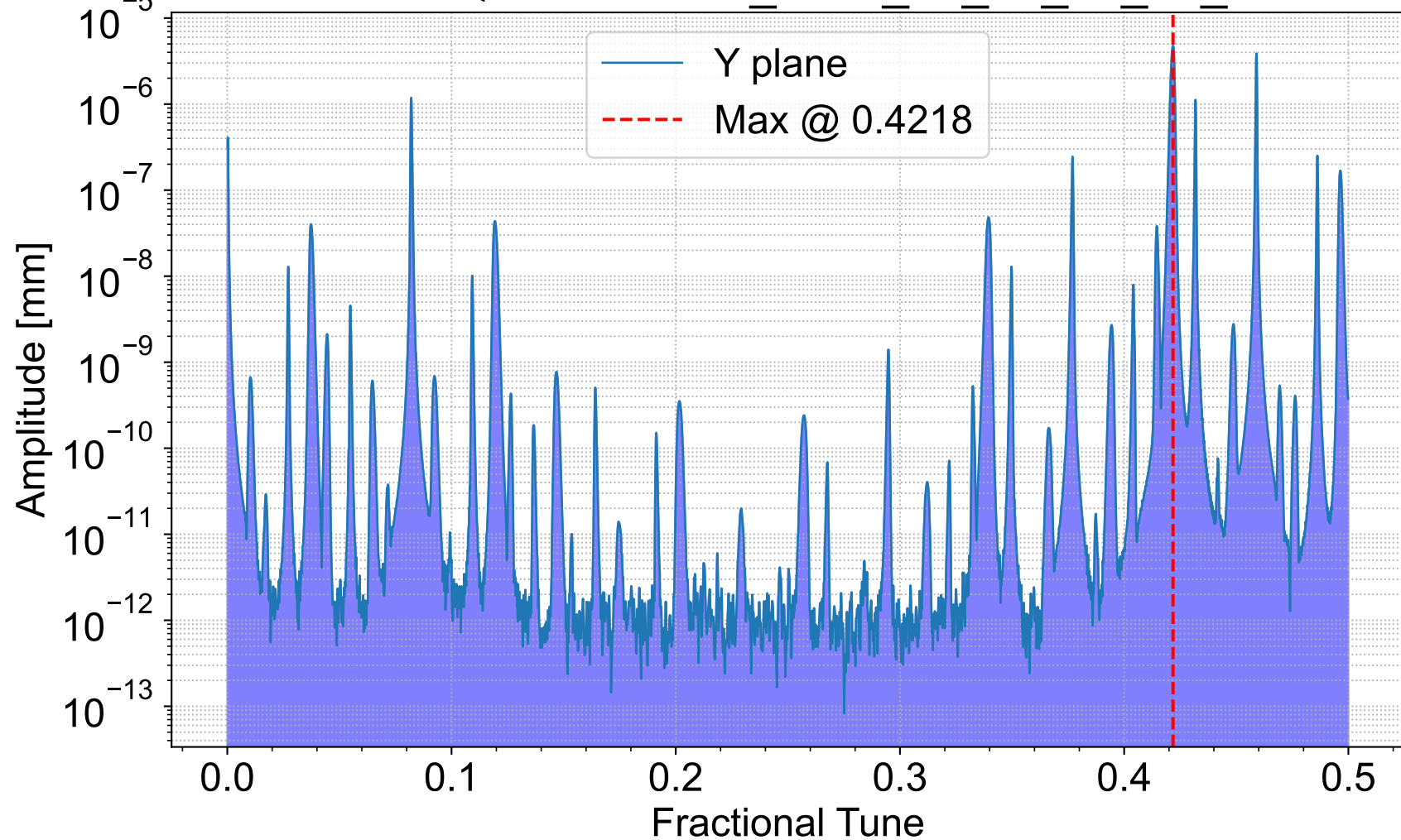
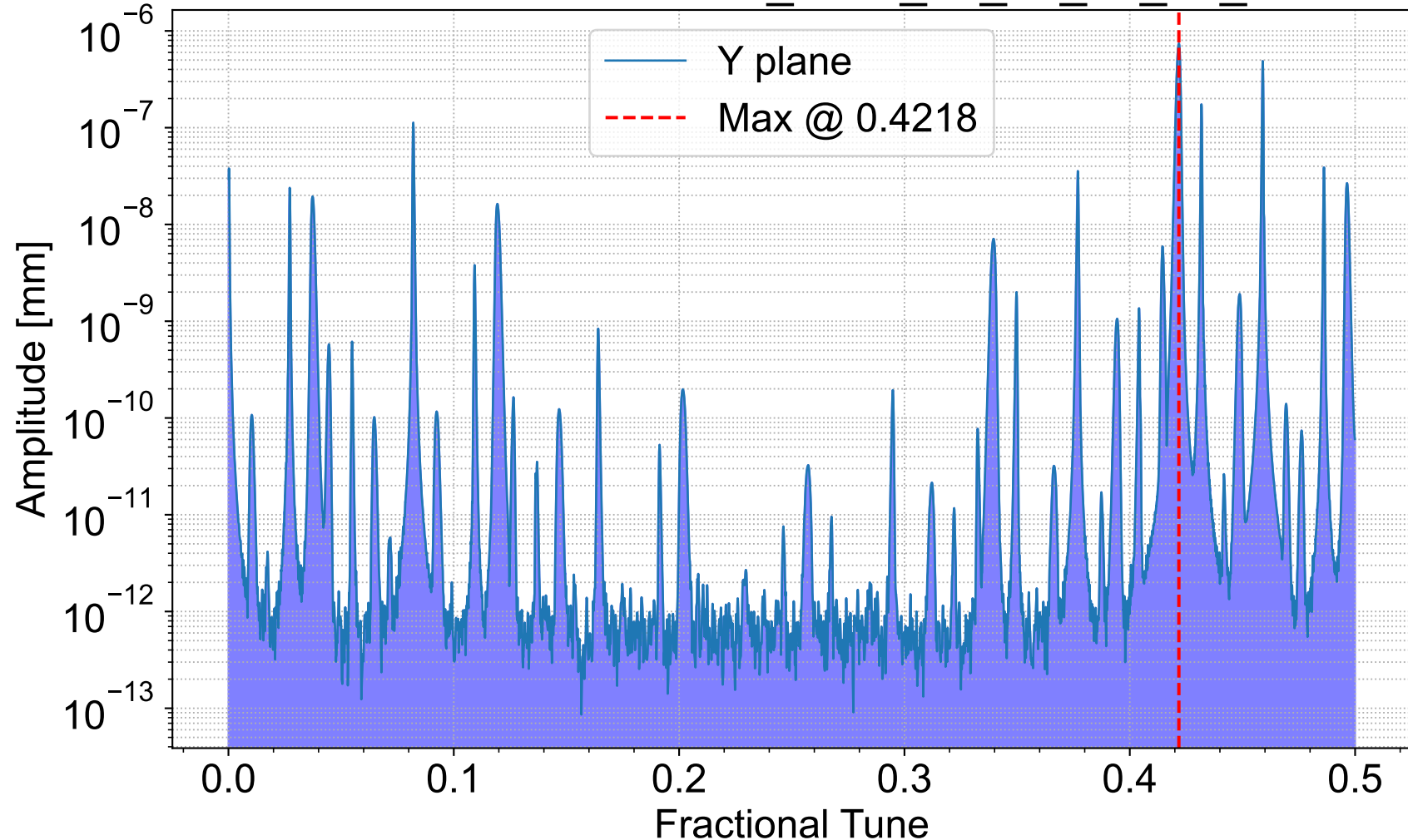


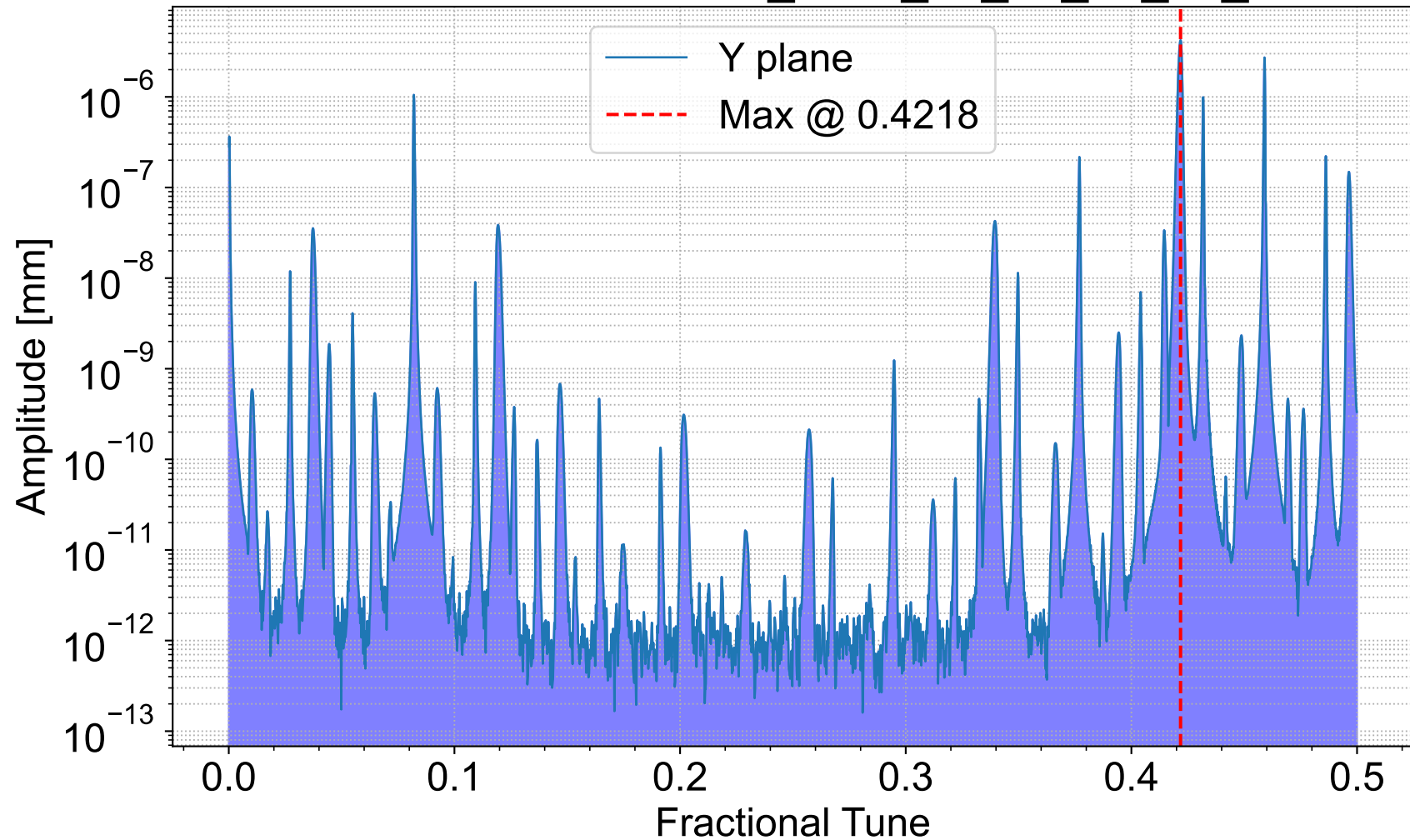
BPM MQC2LE - HER_2024_06_17_17_53_37



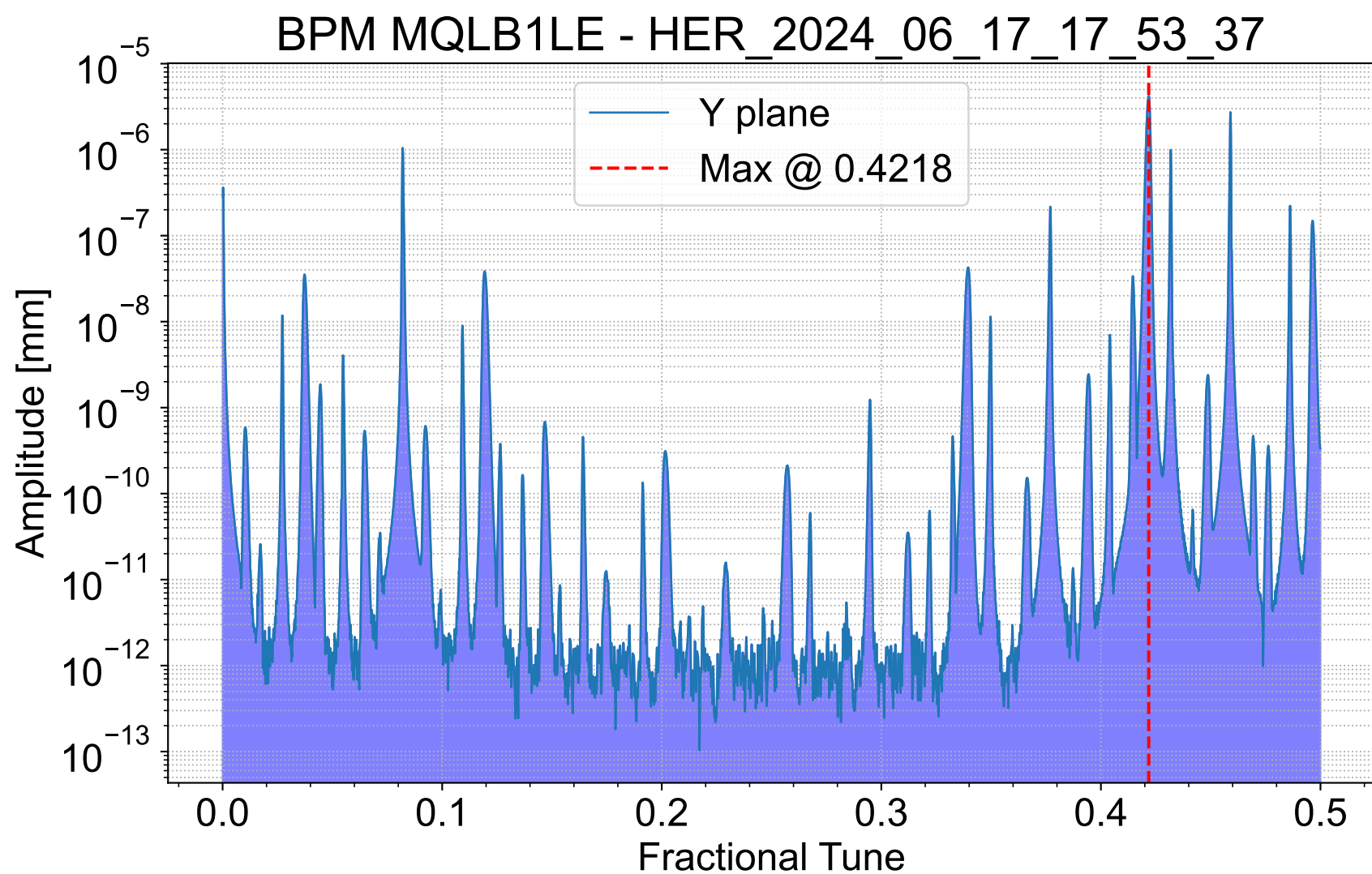
BPM MQLC3LE - HER_2024_06_17_17_53_37



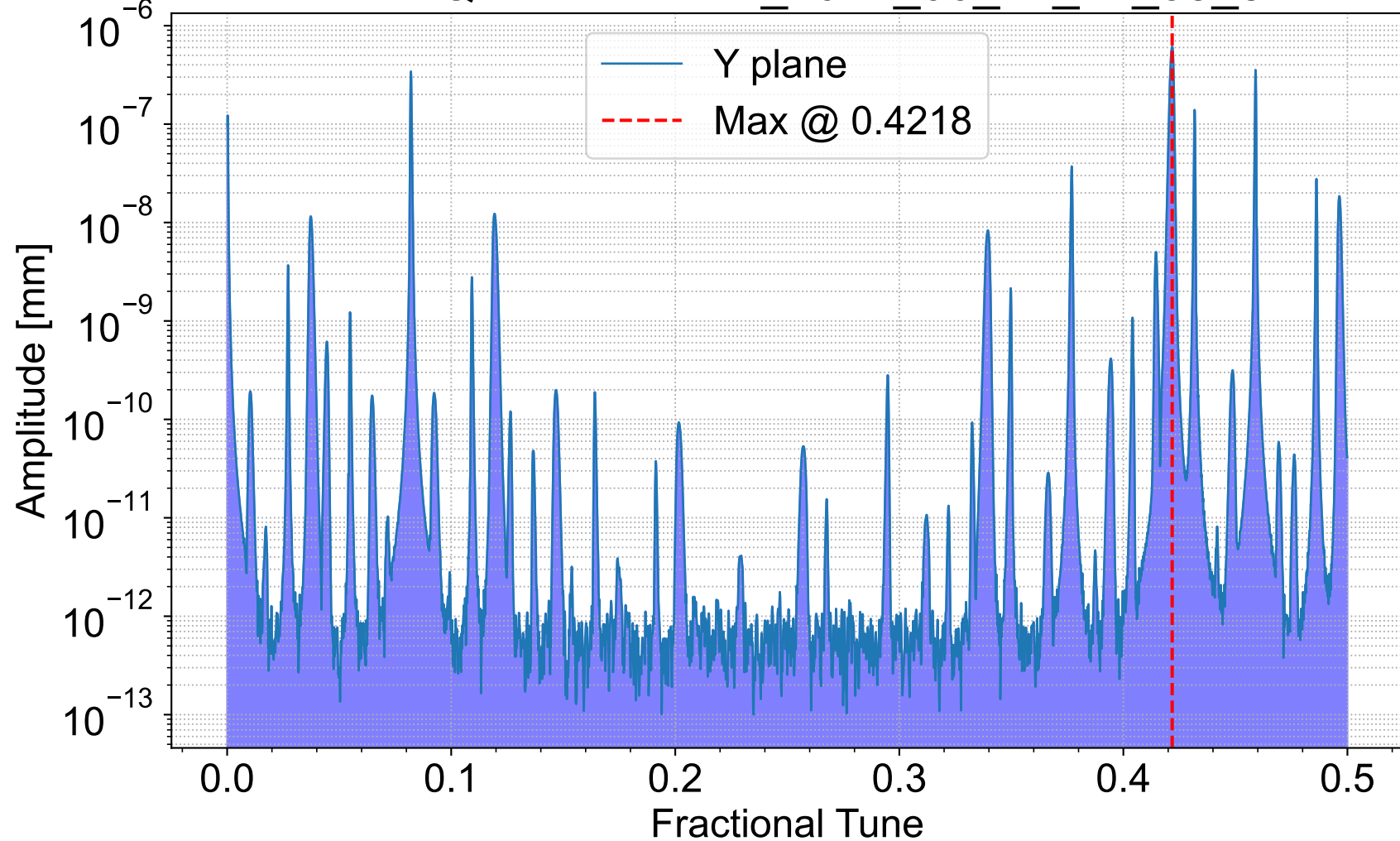
BPM MQLC7LE - HER_2024_06_17_17_53_37



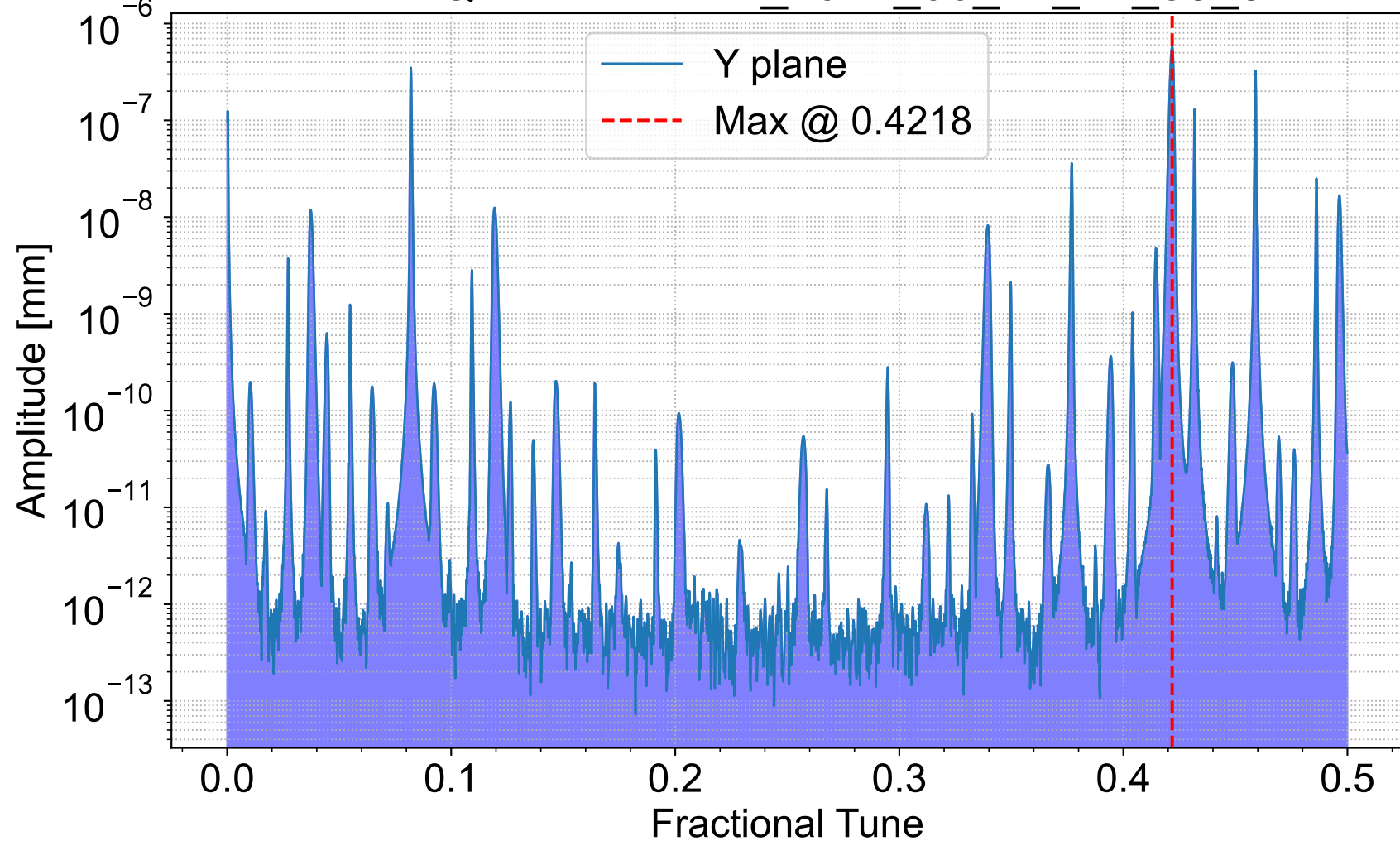
BPM MQLB1LE - HER_2024_06_17_17_53_37



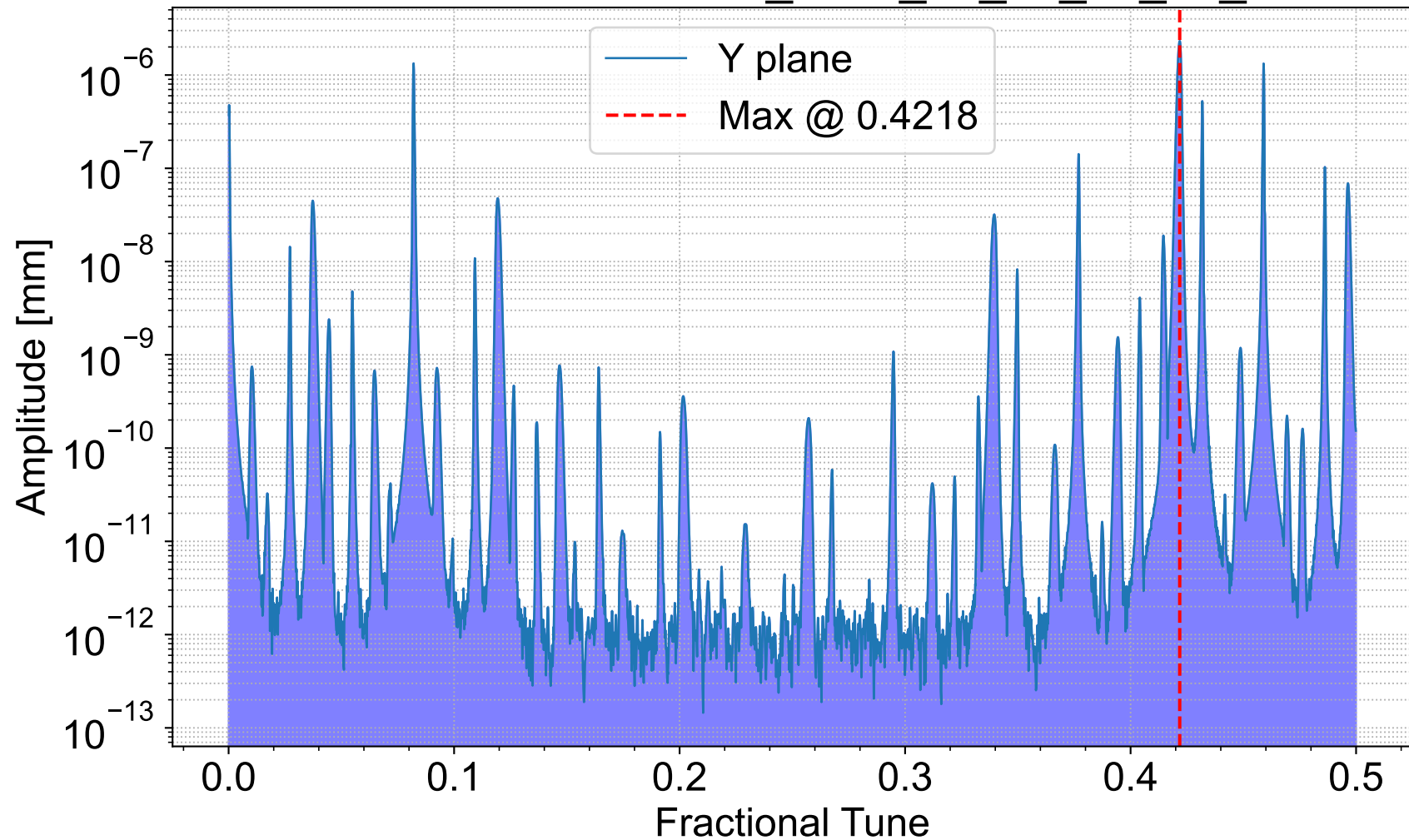
BPM MQLB4LE - HER_2024_06_17_17_53_37



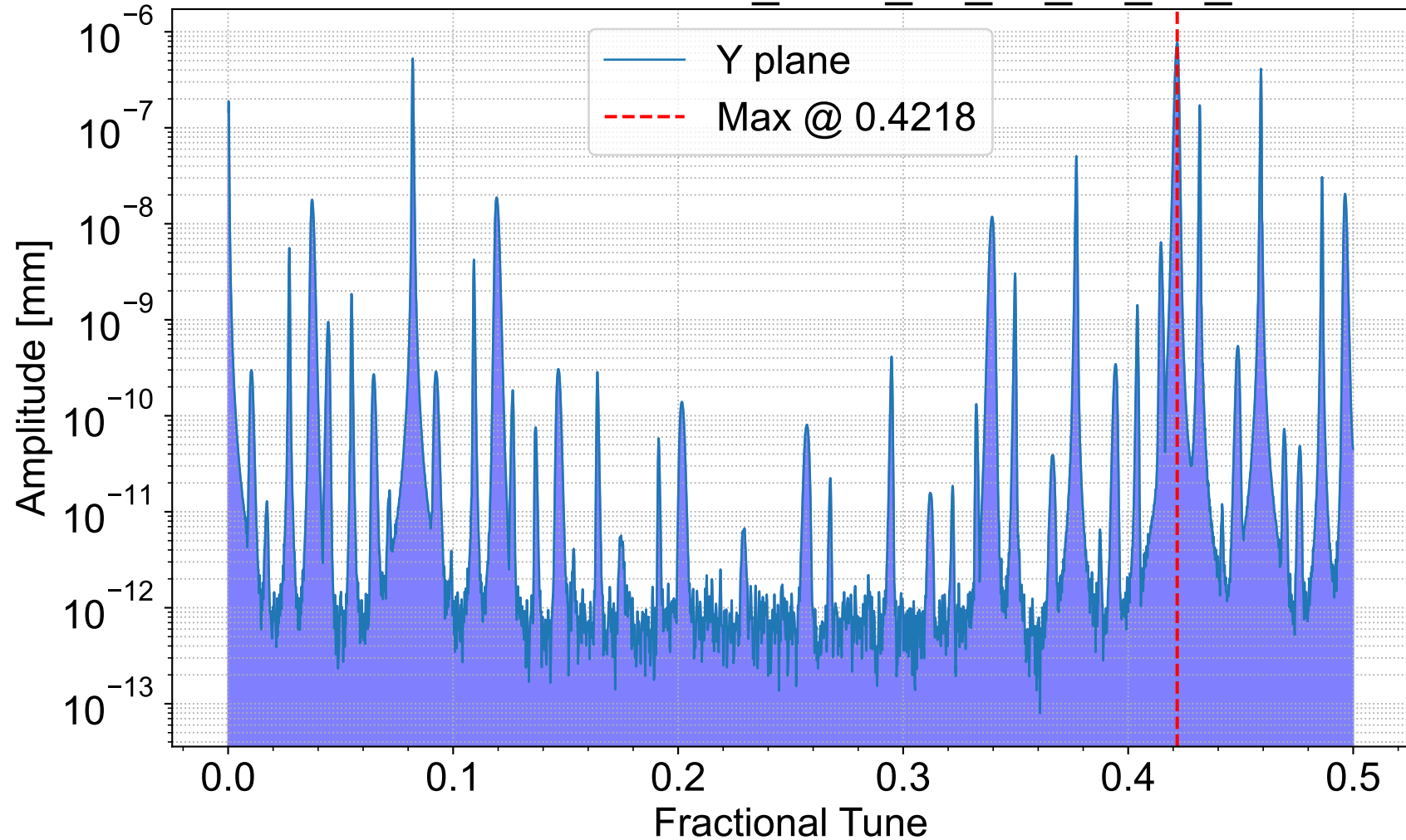
BPM MQLA2LE - HER_2024_06_17_17_53_37



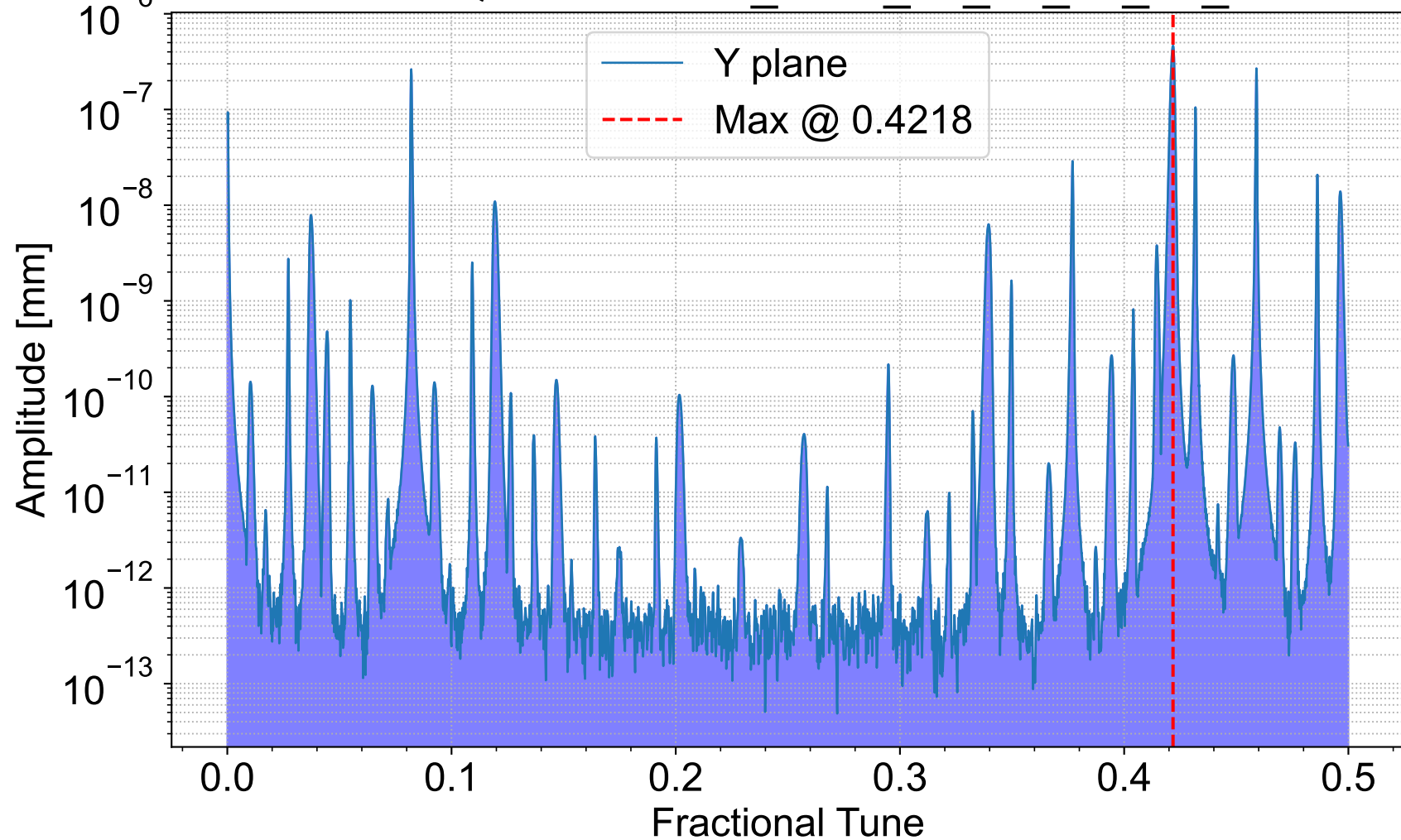
BPM MQLA5LE - HER_2024_06_17_17_53_37



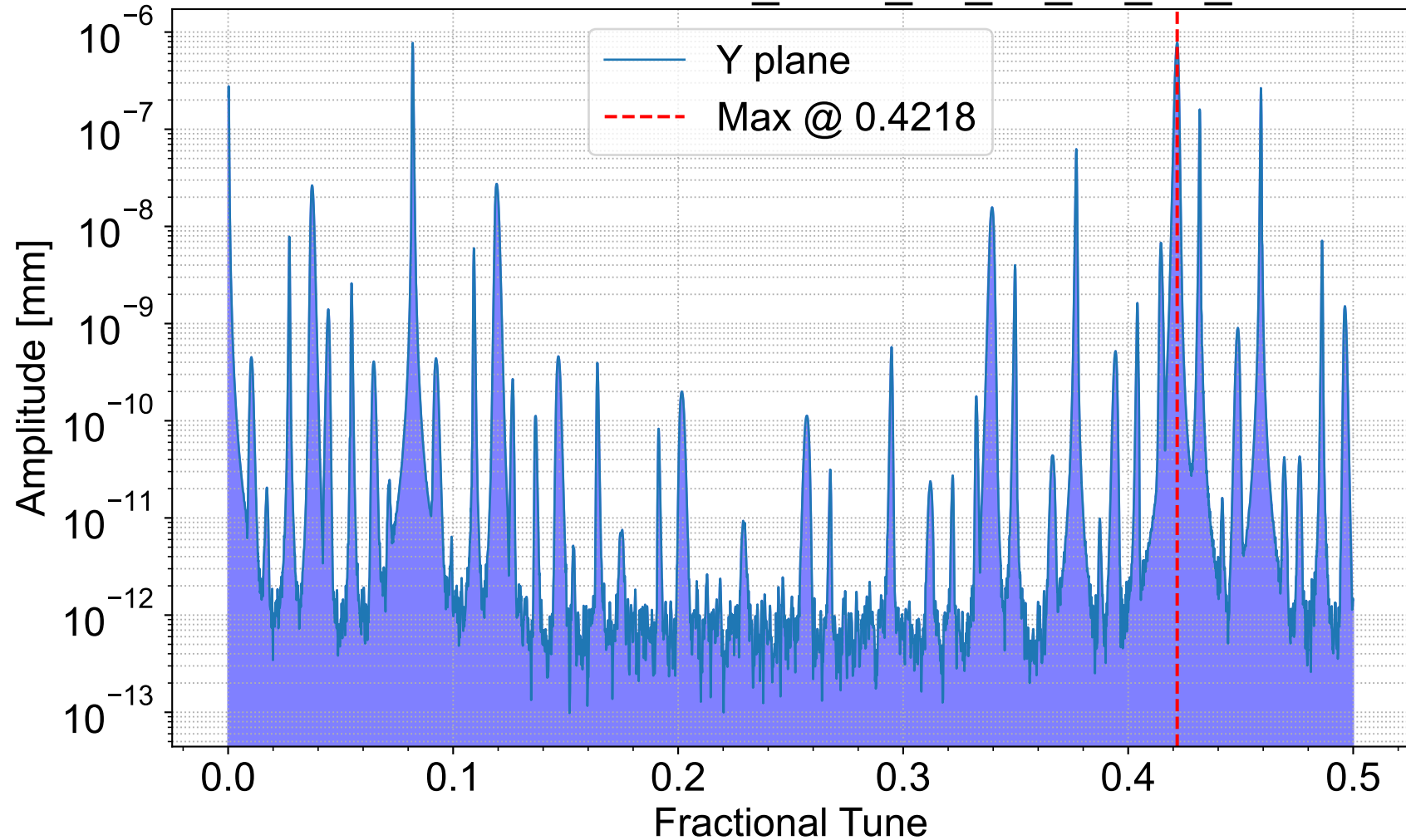
BPM MQD3E1 - HER_2024_06_17_17_53_37



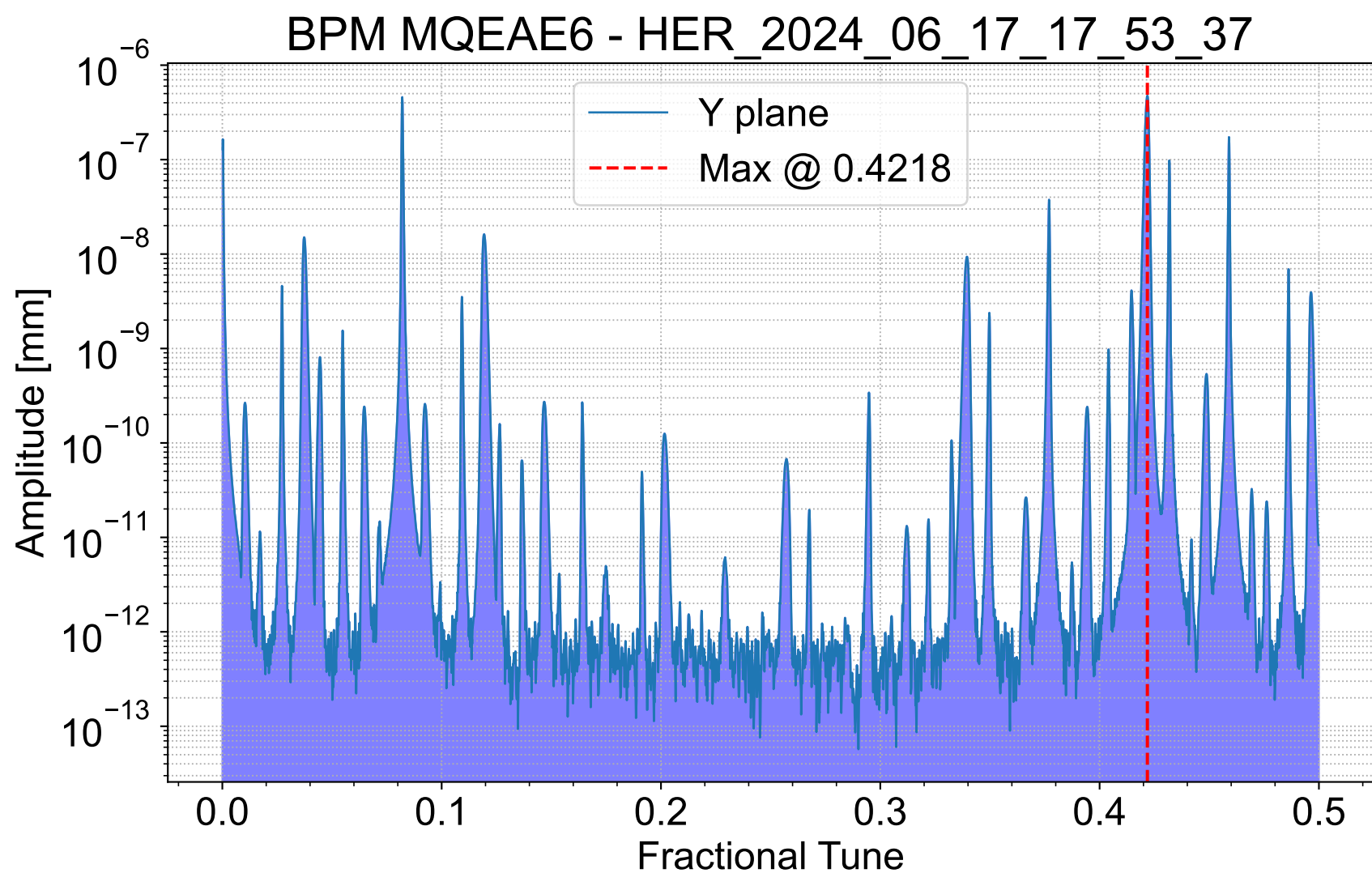
BPM MQEAE4 - HER_2024_06_17_17_53_37



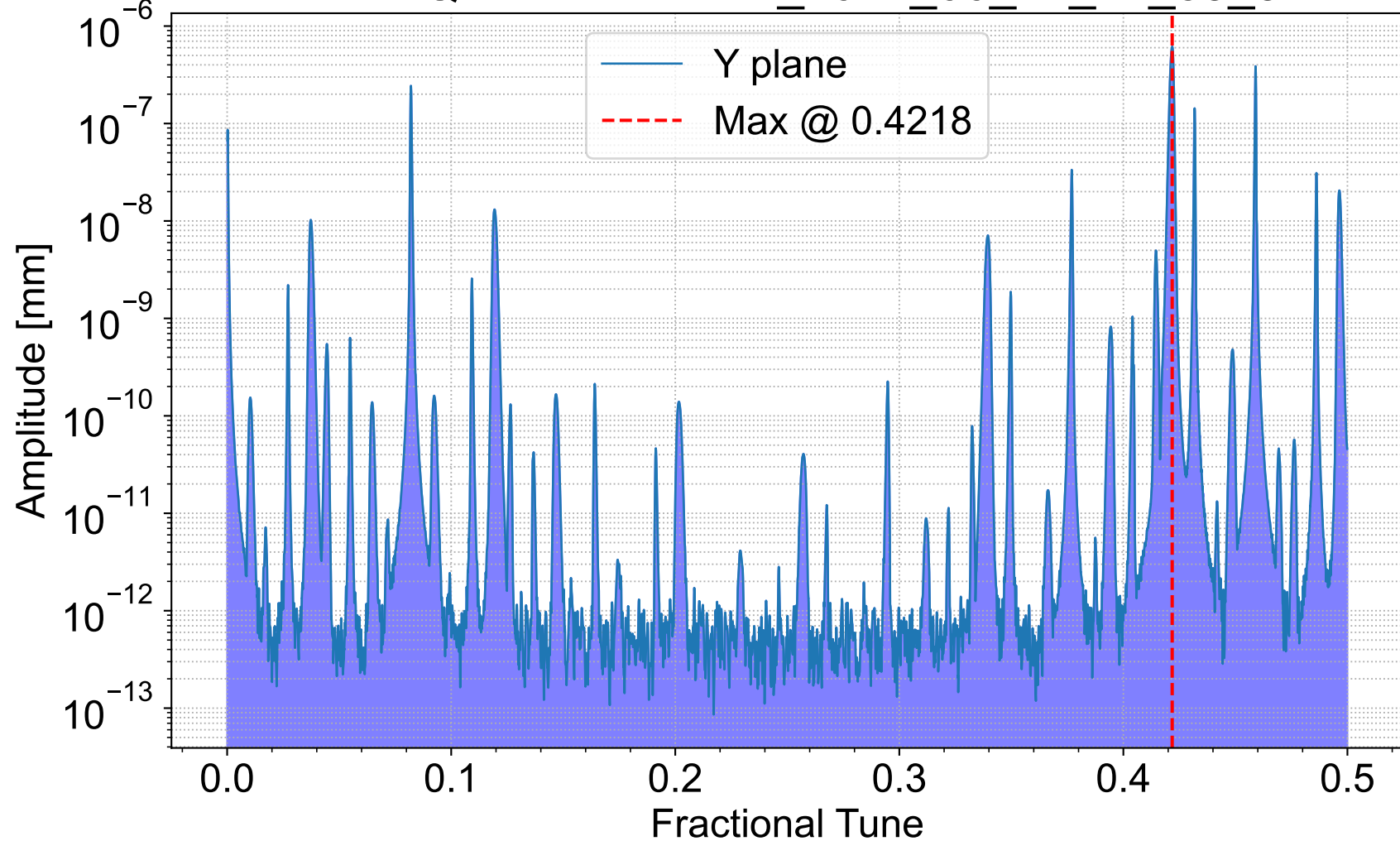
BPM MQD3E4 - HER_2024_06_17_17_53_37



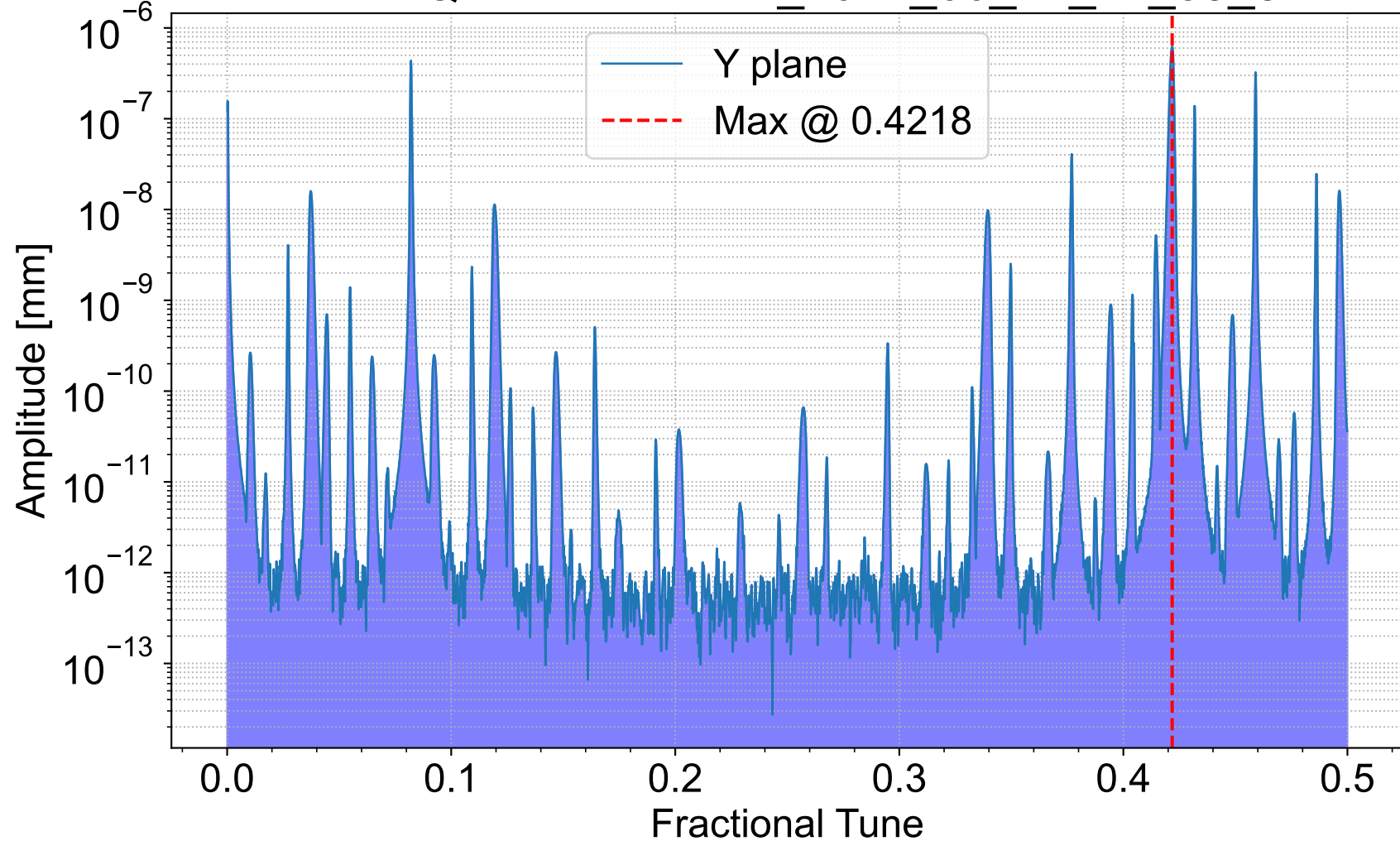
BPM MQEAE6 - HER_2024_06_17_17_53_37



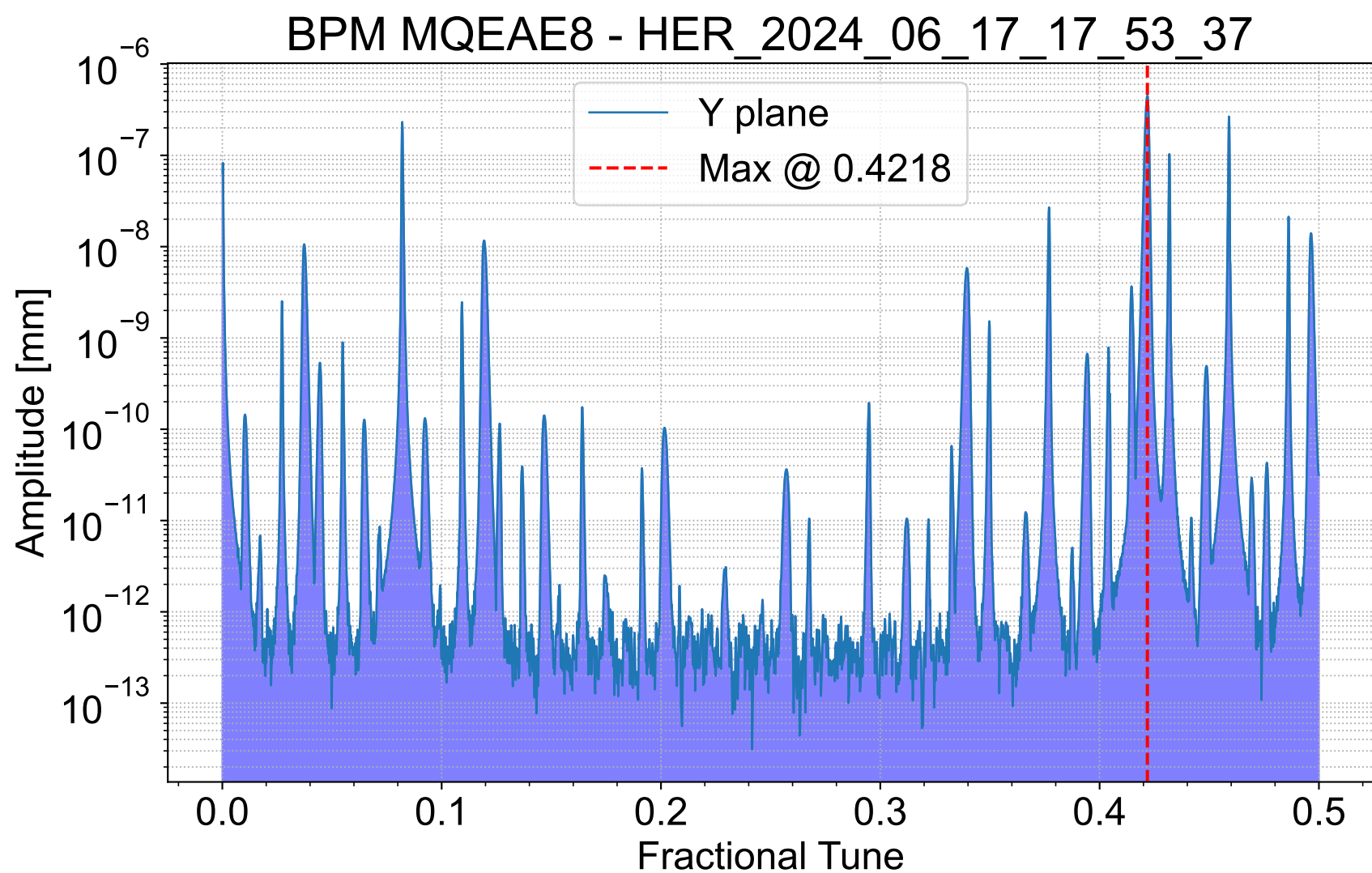
BPM MQTATNE1 - HER_2024_06_17_17_53_37



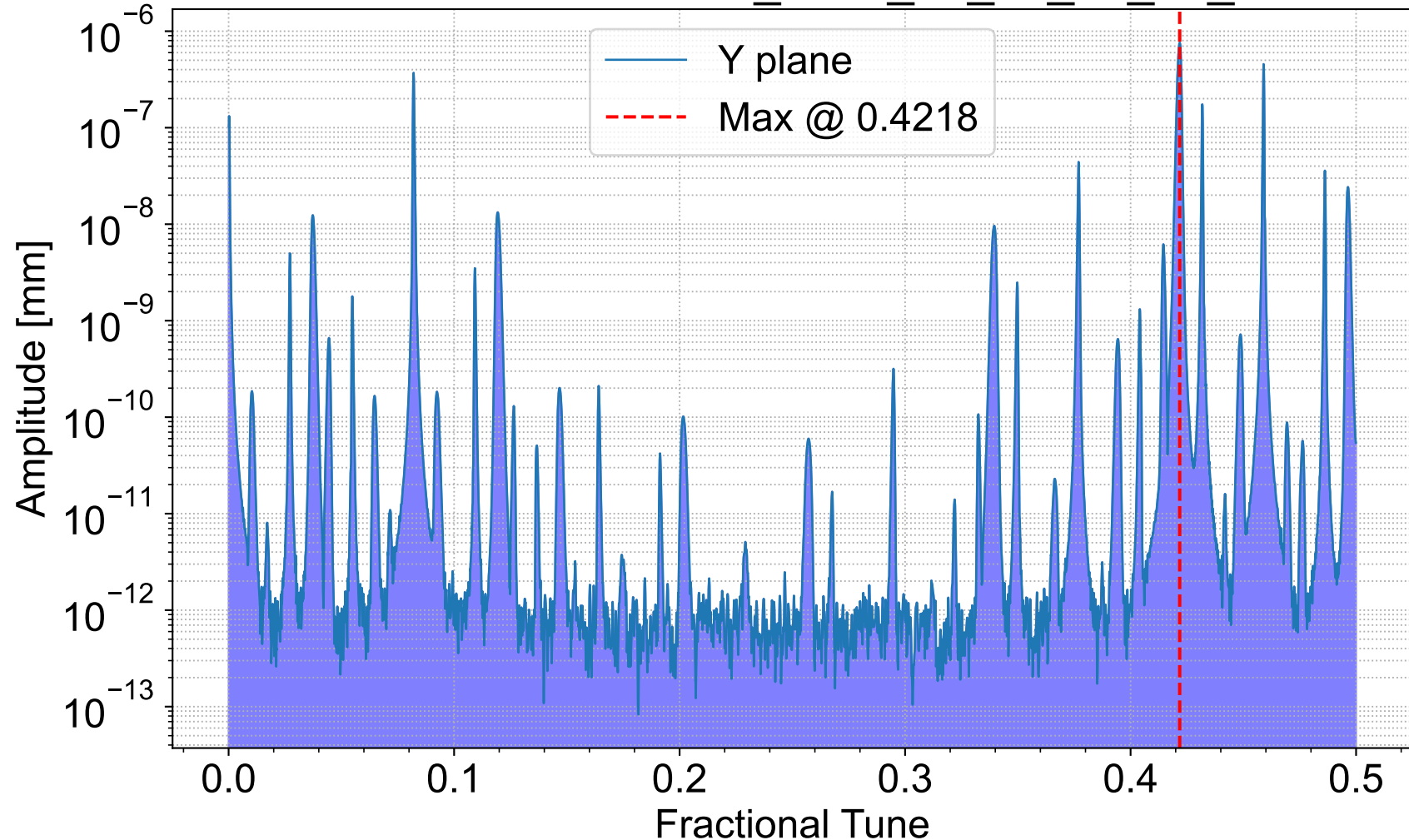
BPM MQTATNE2 - HER_2024_06_17_17_53_37



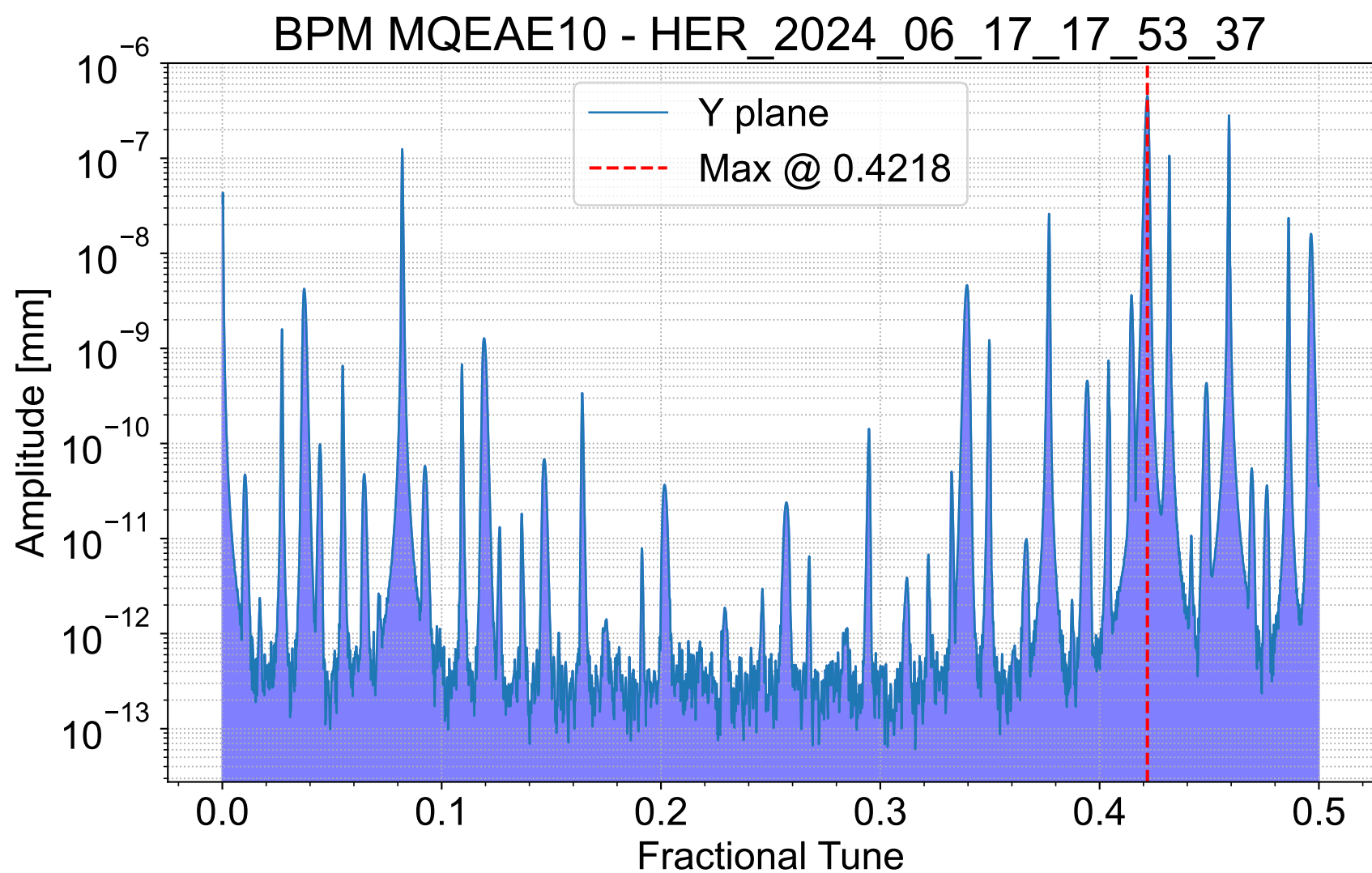
BPM MQEAE8 - HER_2024_06_17_17_53_37



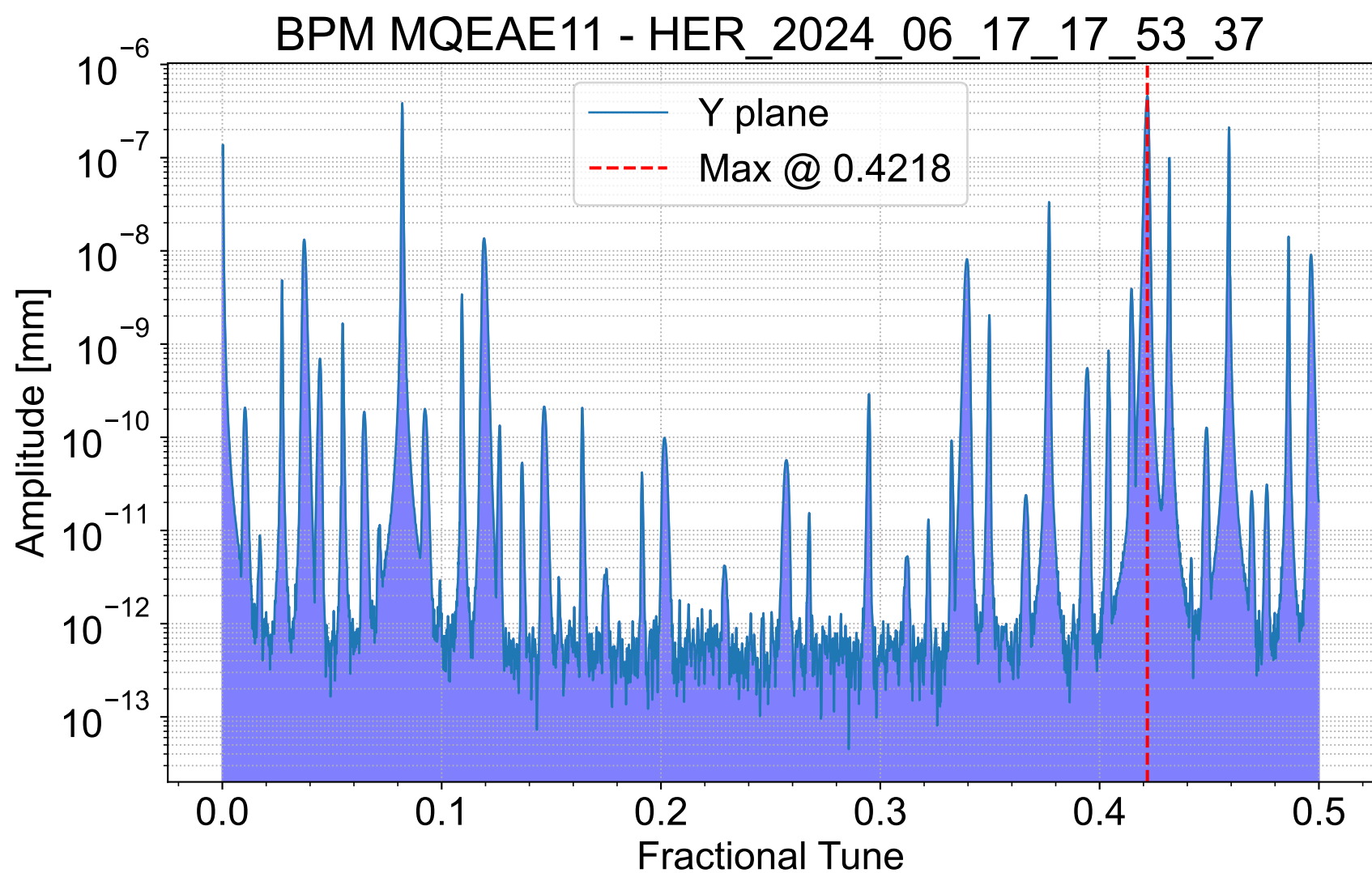
BPM MQD3E8 - HER_2024_06_17_17_53_37



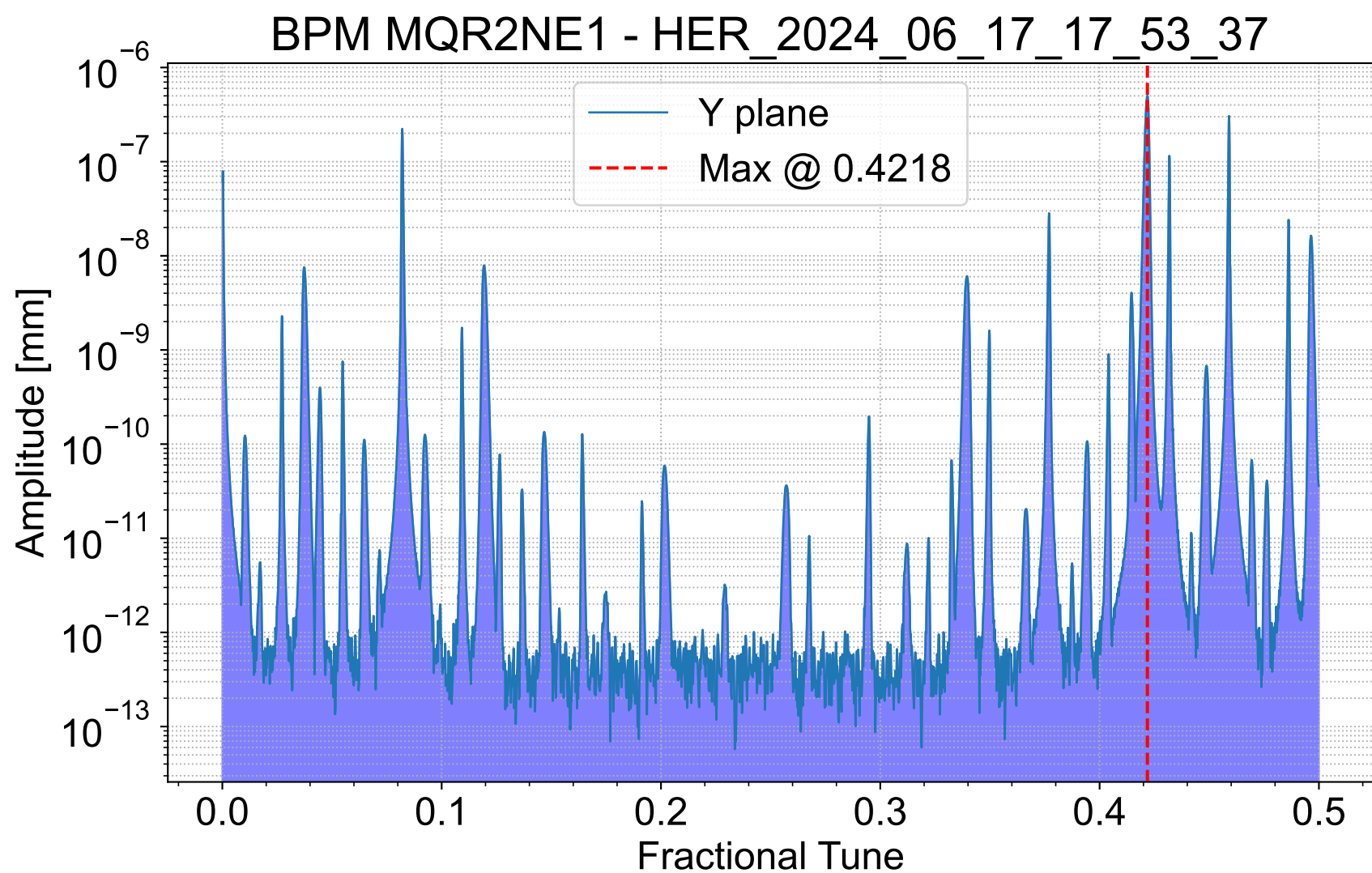
BPM MQEAE10 - HER_2024_06_17_17_53_37



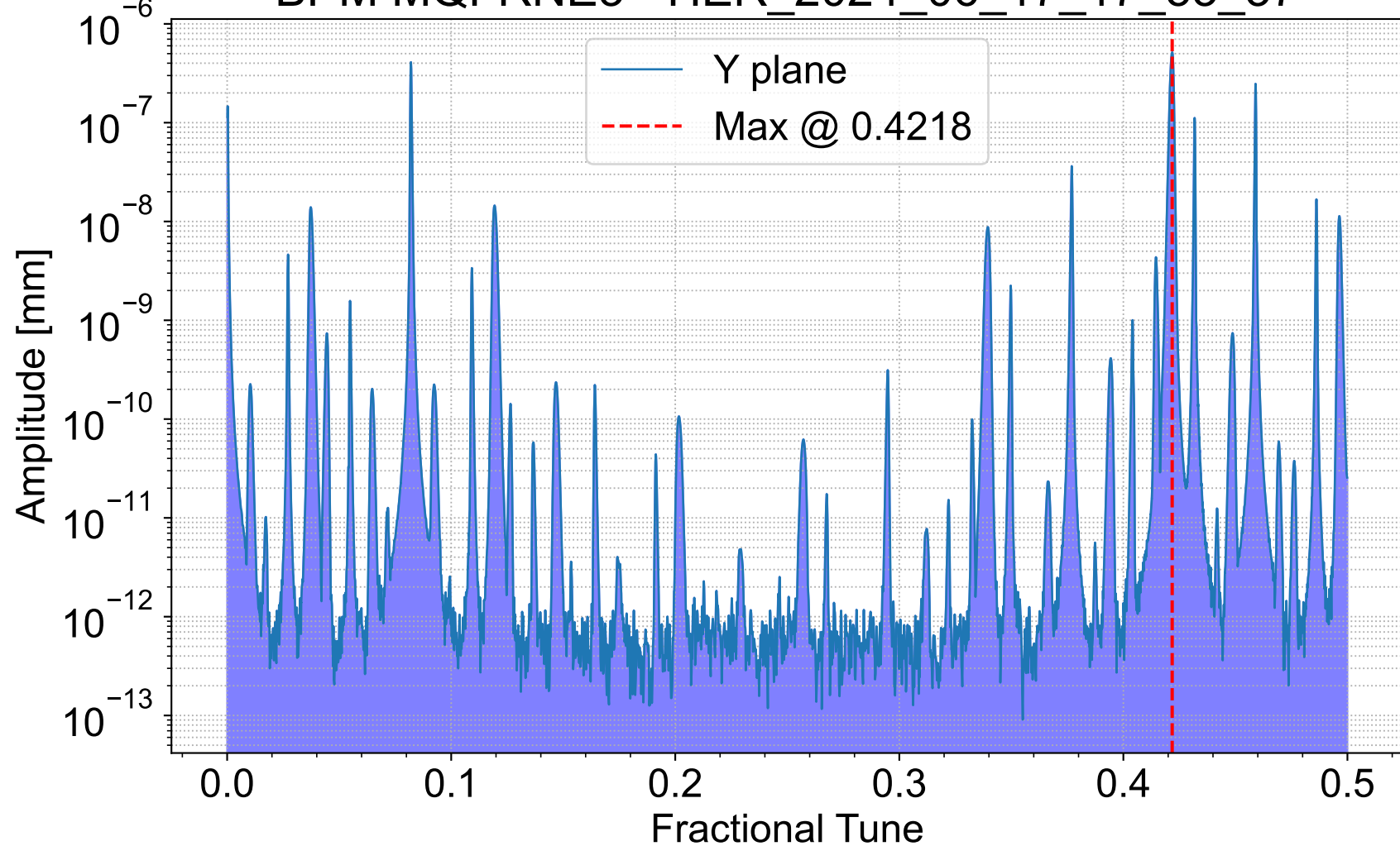
BPM MQEAE11 - HER_2024_06_17_17_53_37



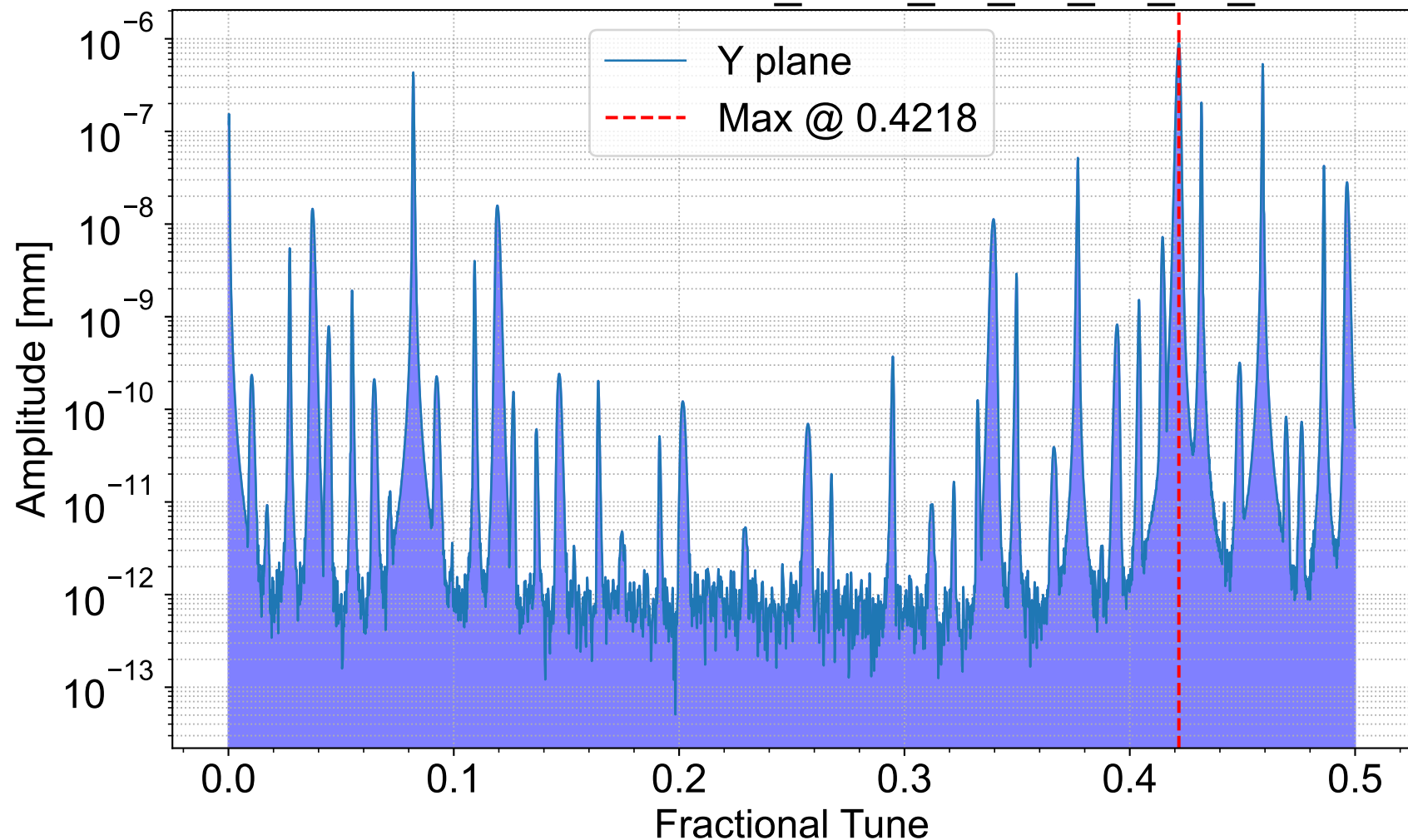
BPM MQR2NE1 - HER_2024_06_17_17_53_37



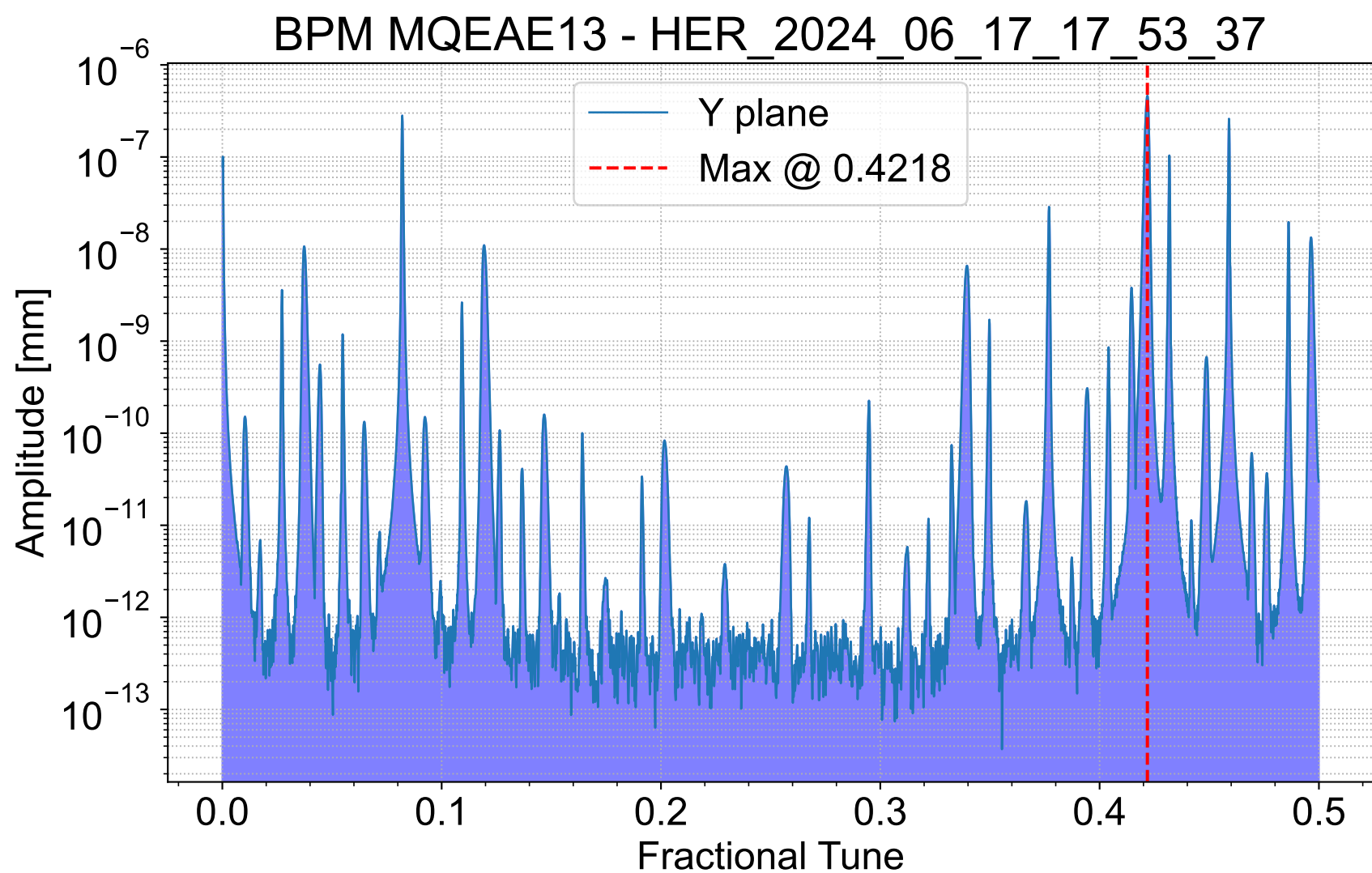
BPM MQFRNE3 - HER_2024_06_17_17_53_37



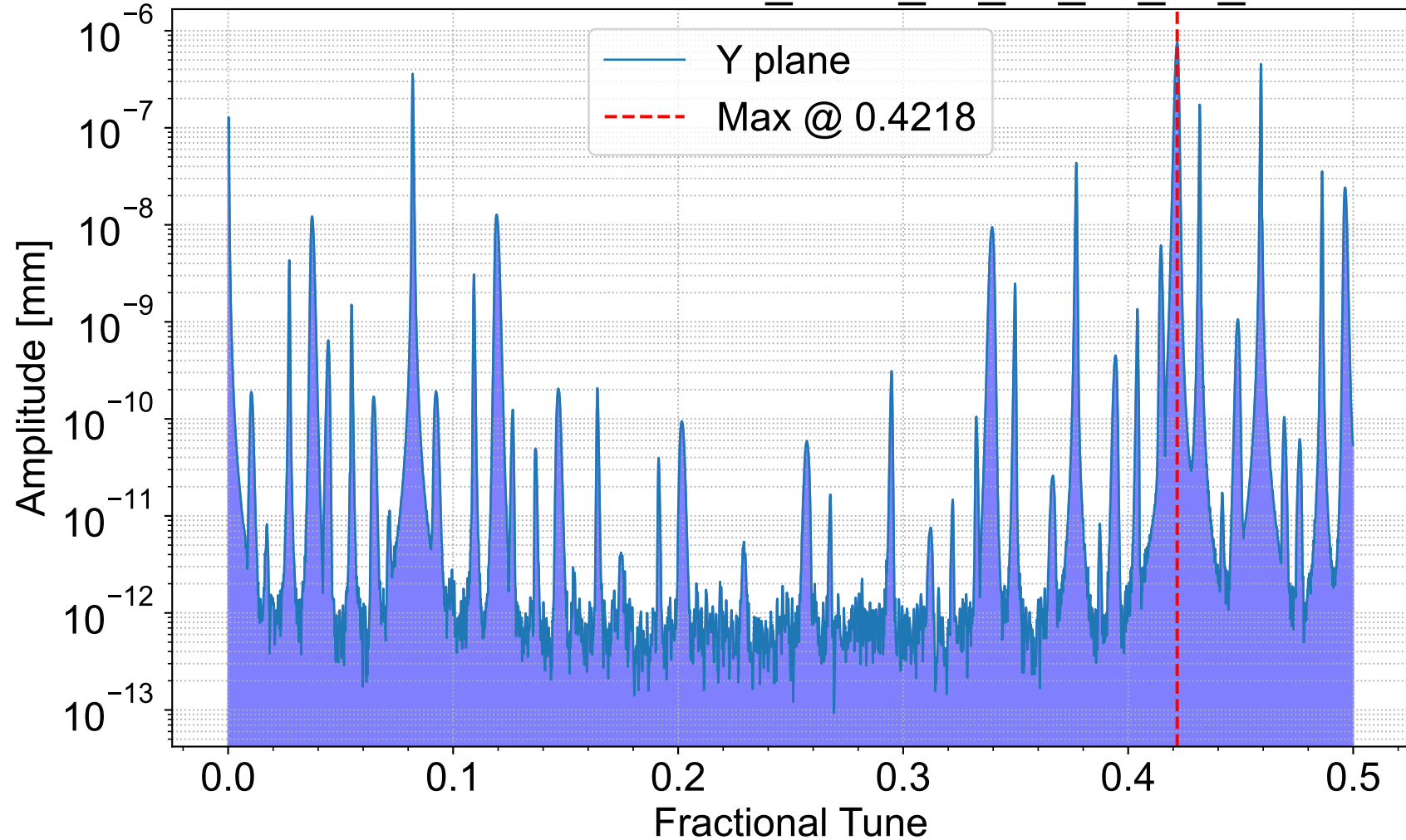
BPM MQDRNE5 - HER_2024_06_17_17_53_37



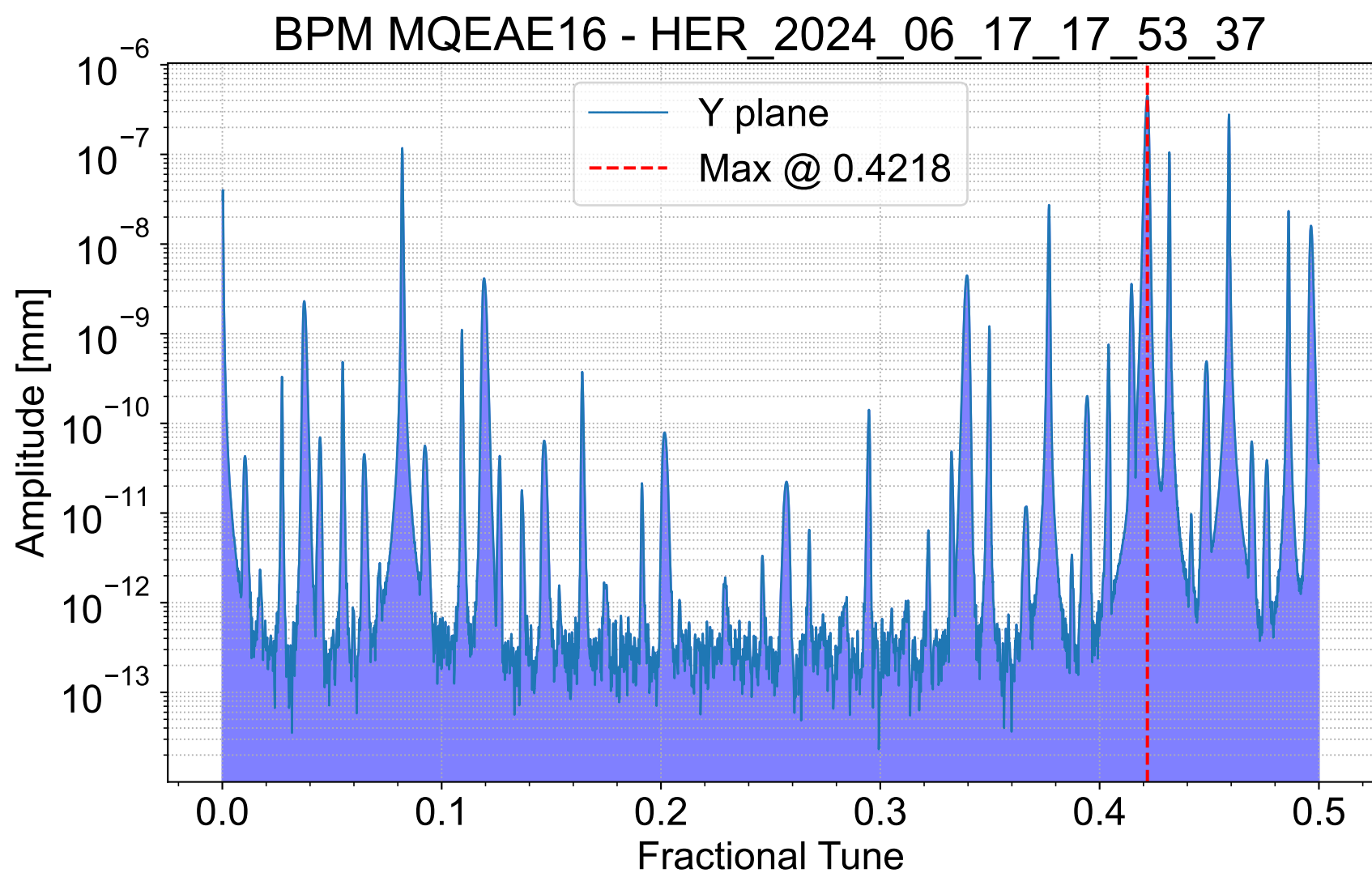
BPM MQEAE13 - HER_2024_06_17_17_53_37



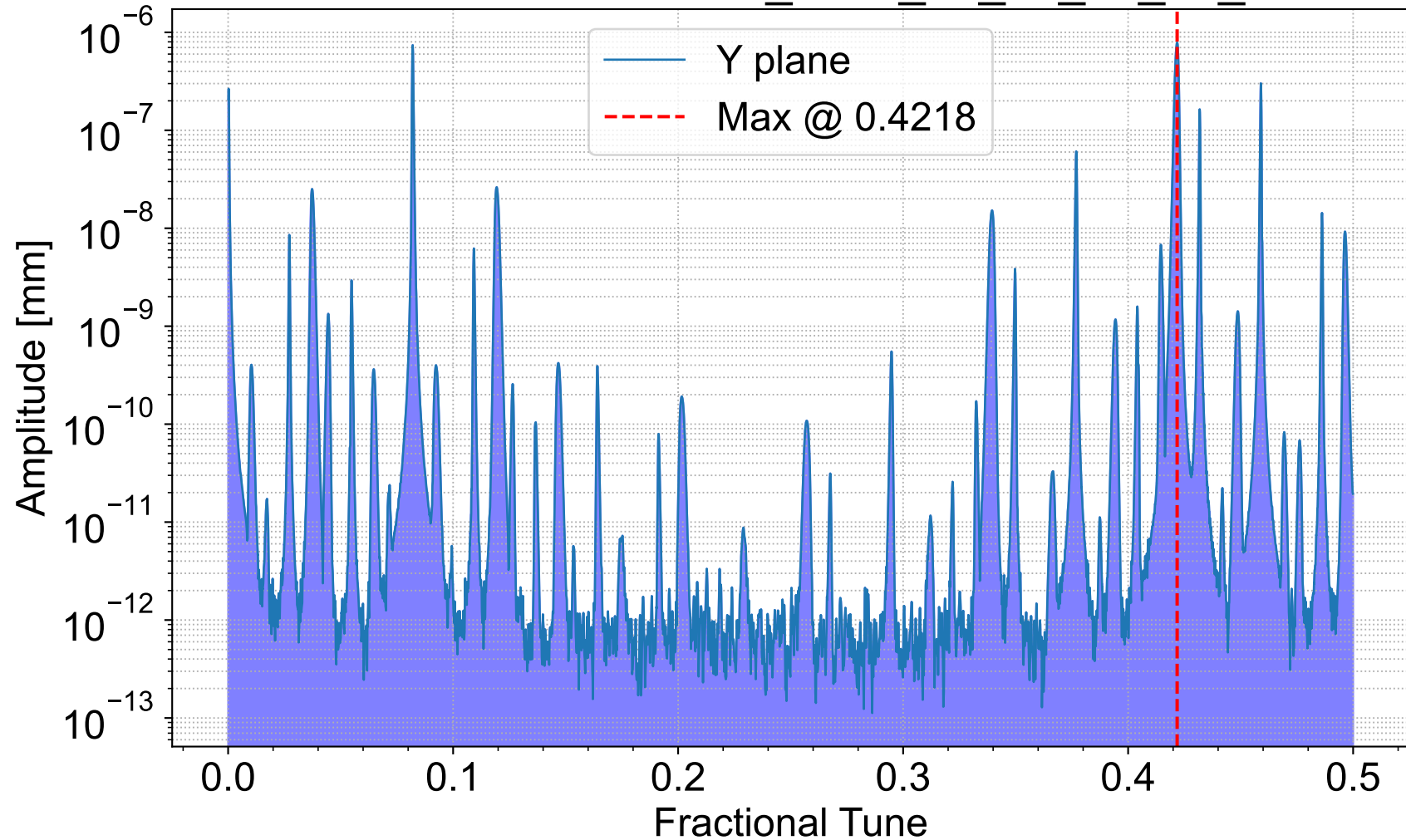
BPM MQD3E12 - HER_2024_06_17_17_53_37



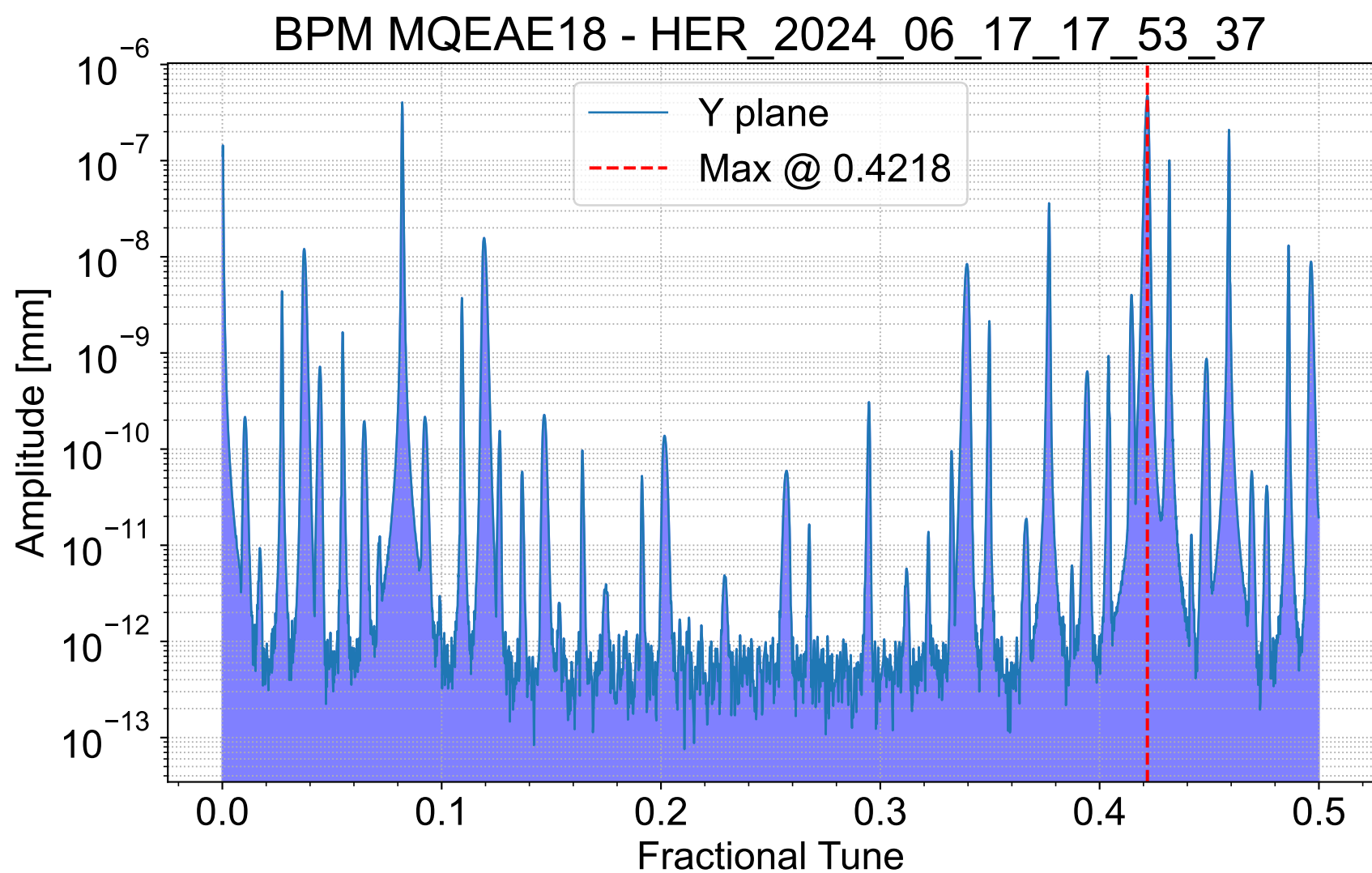
BPM MQEAE16 - HER_2024_06_17_17_53_37



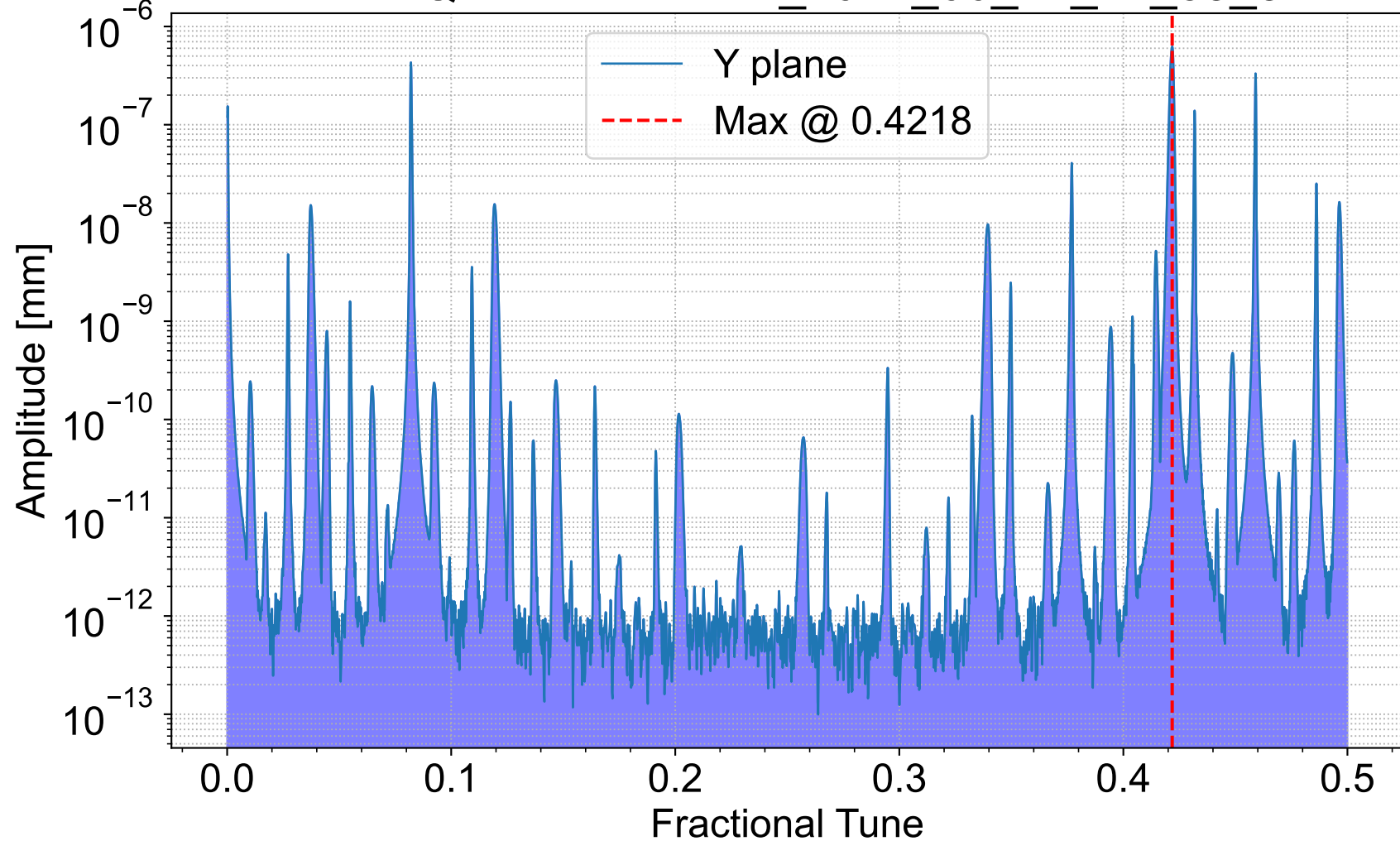
BPM MQD3E14 - HER_2024_06_17_17_53_37



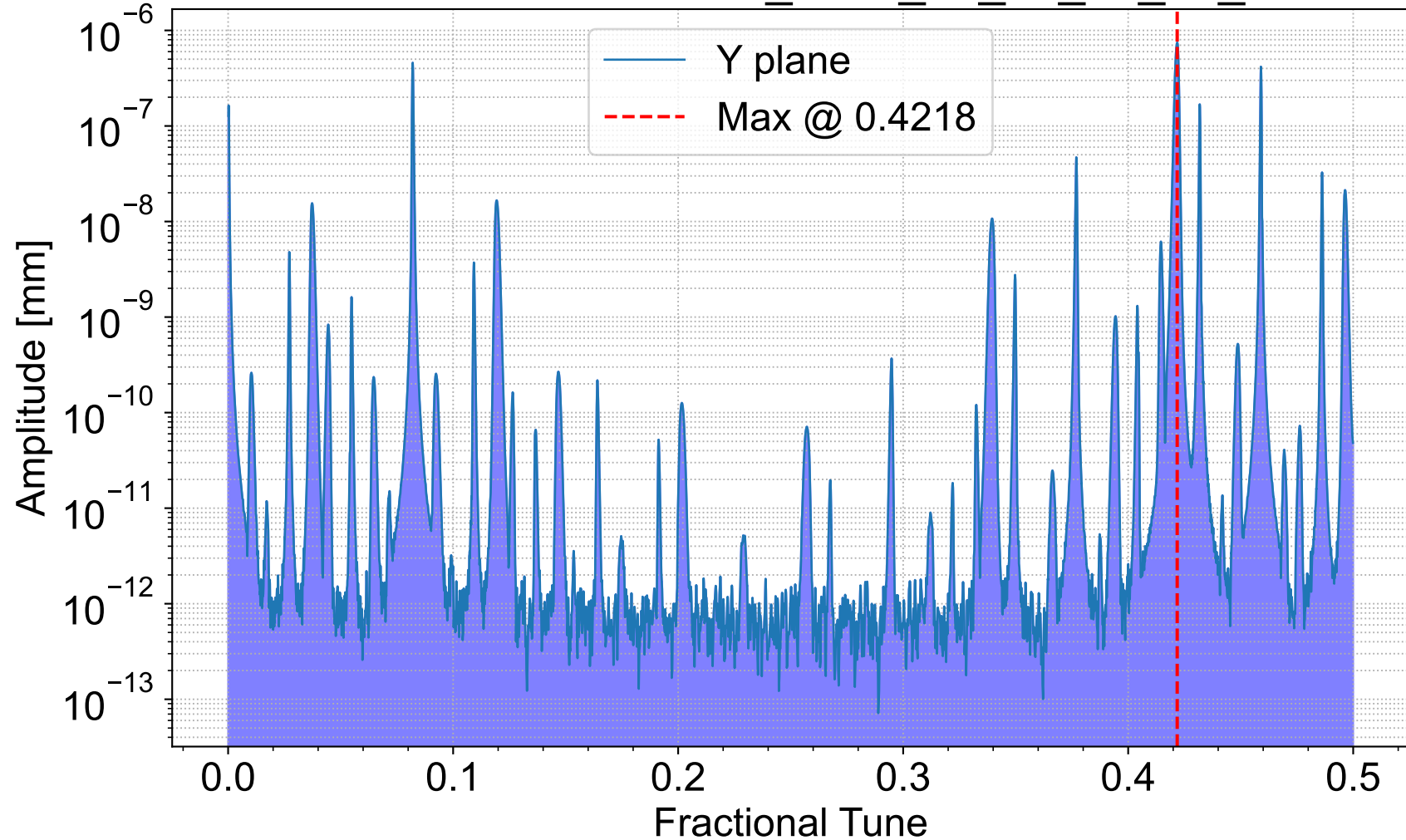
BPM MQEAE18 - HER_2024_06_17_17_53_37



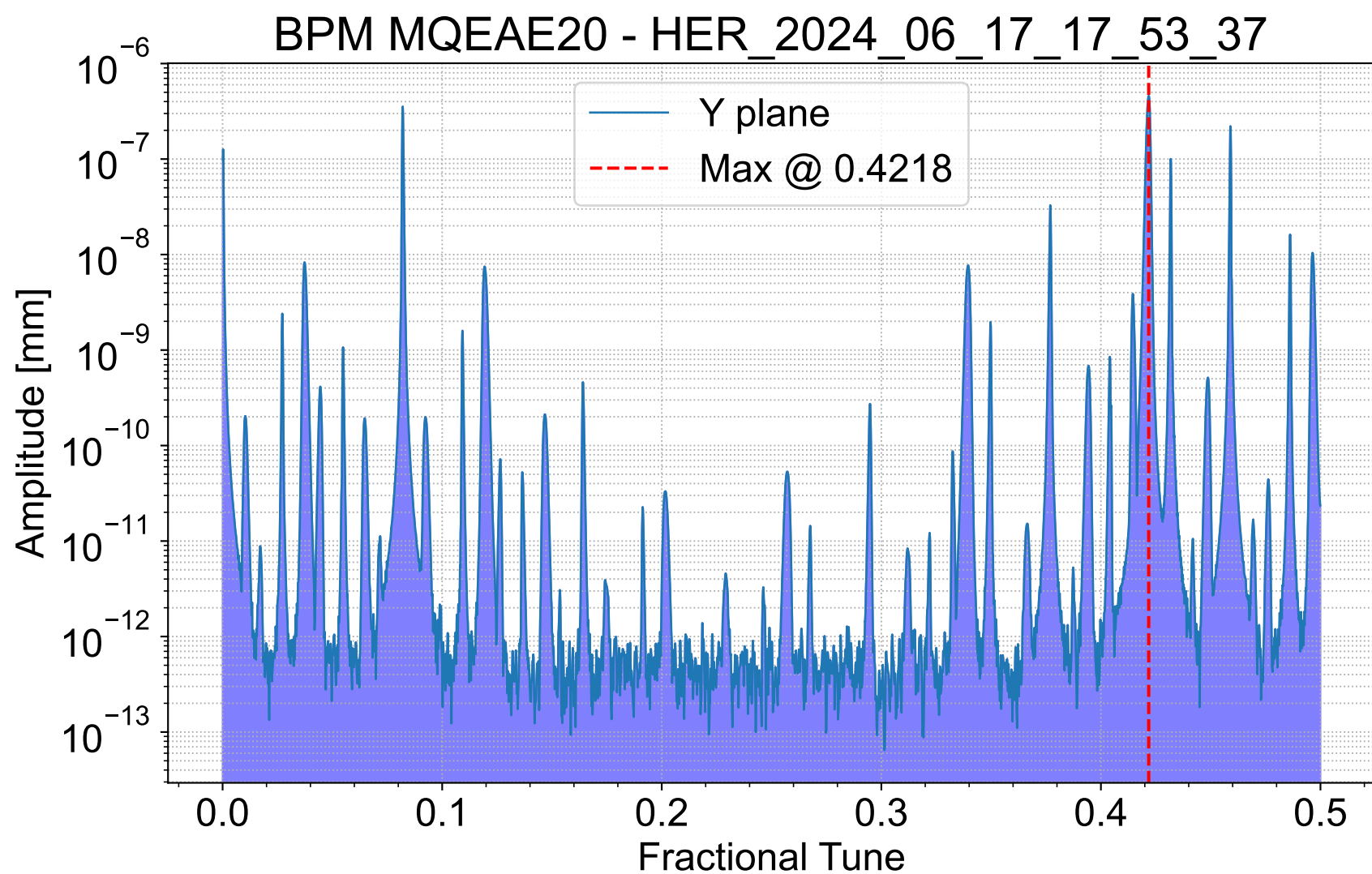
BPM MQTANFE1 - HER_2024_06_17_17_53_37



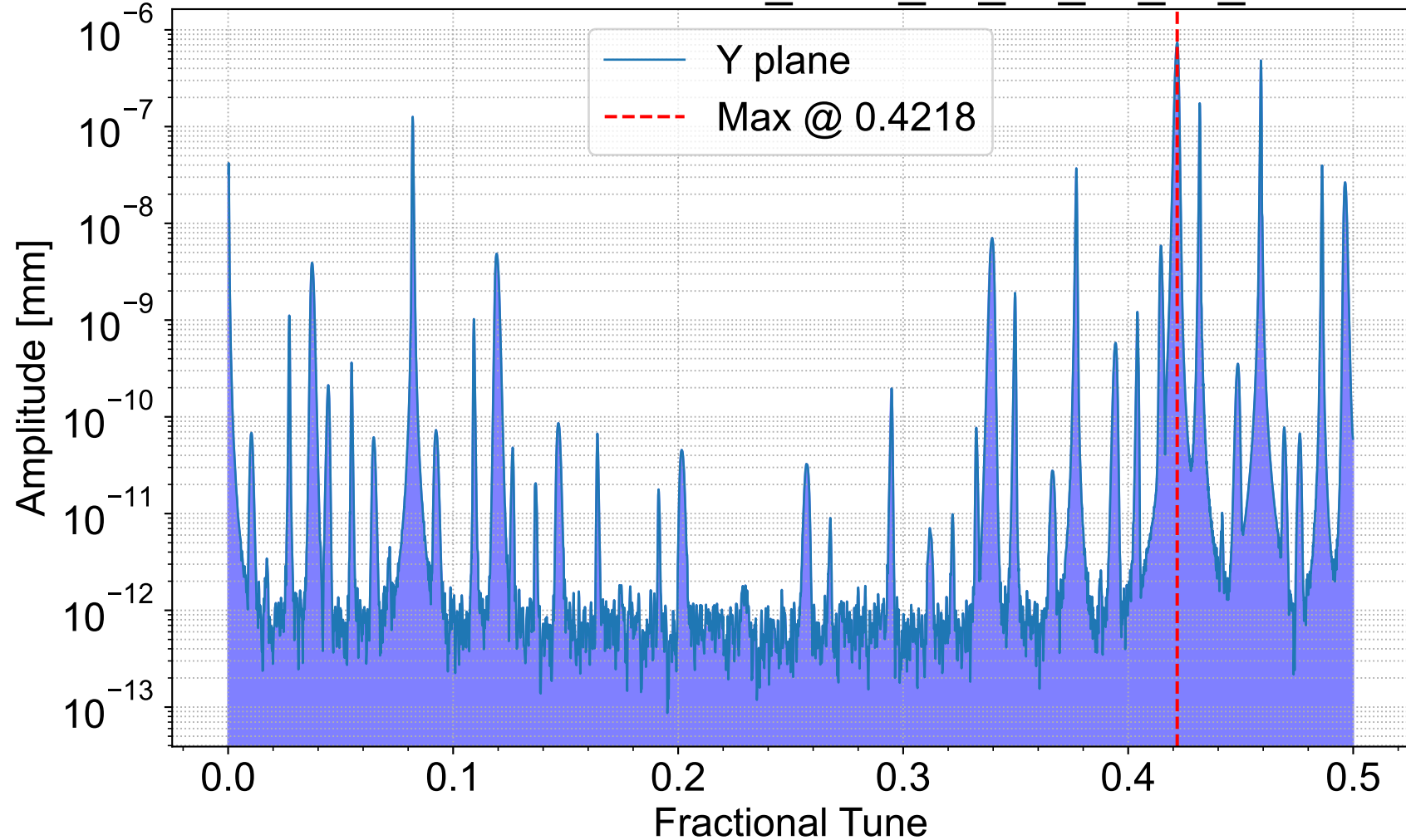
BPM MQD3E16 - HER_2024_06_17_17_53_37



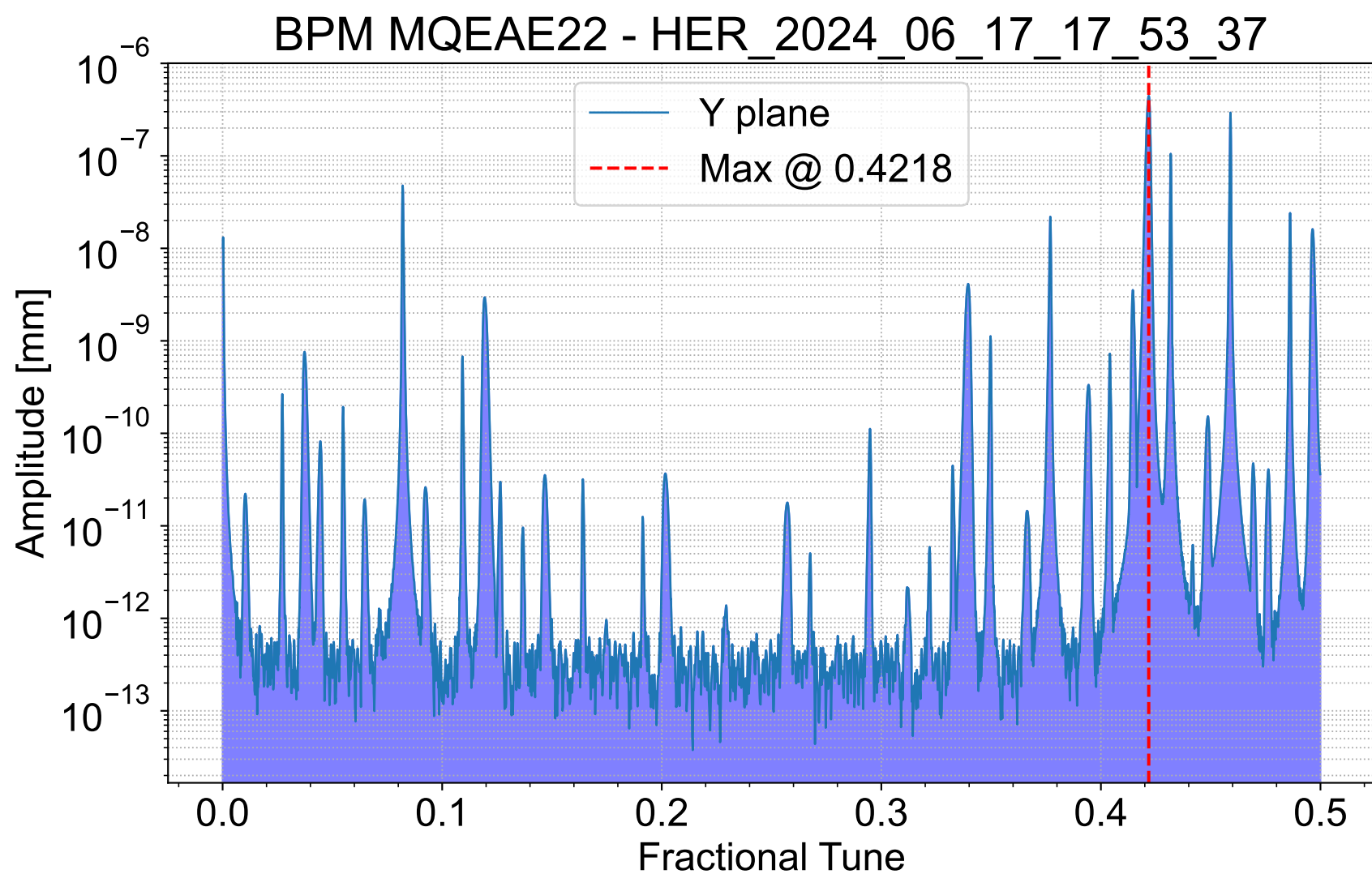
BPM MQEAE20 - HER_2024_06_17_17_53_37



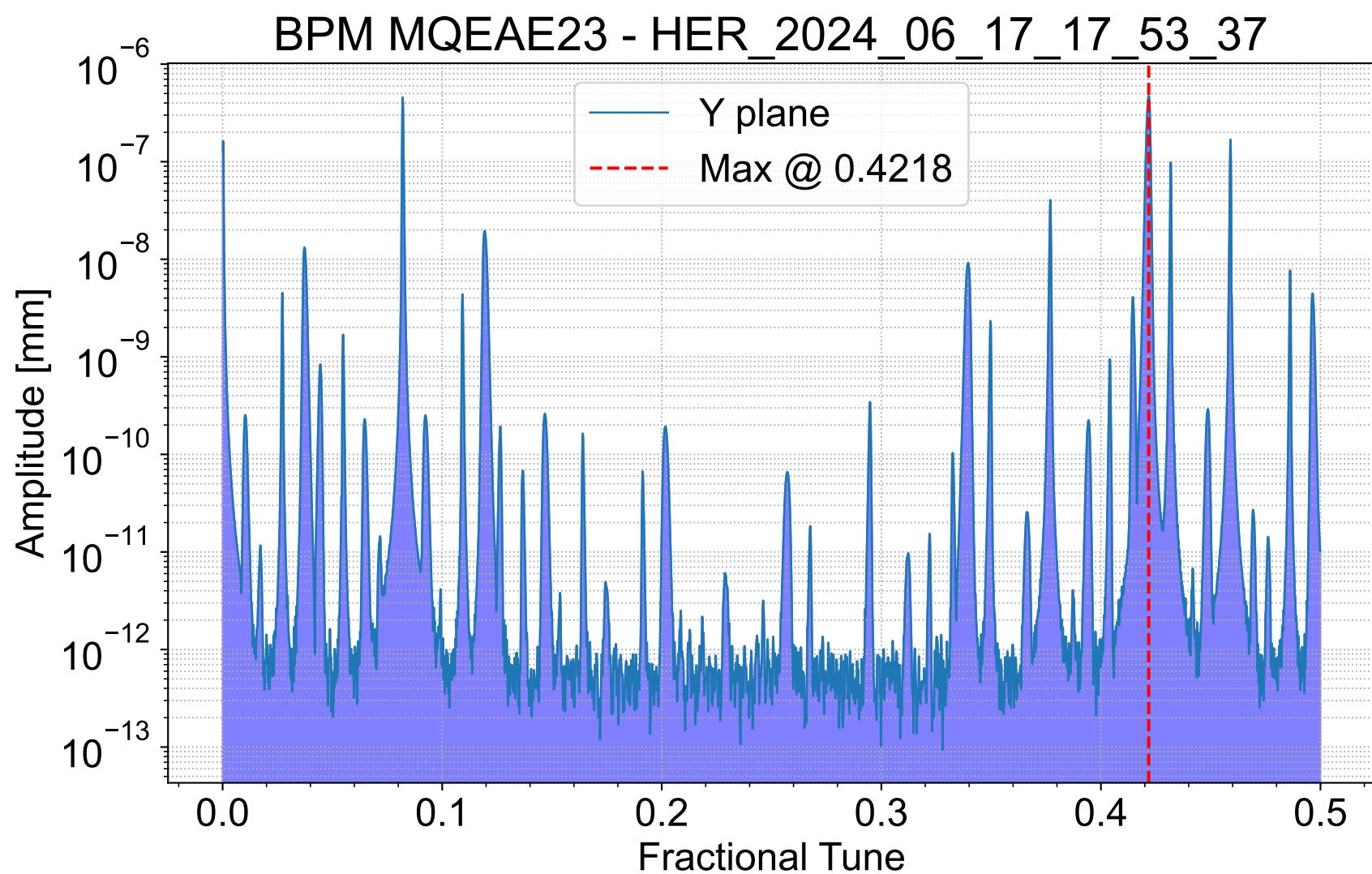
BPM MQD3E18 - HER_2024_06_17_17_53_37



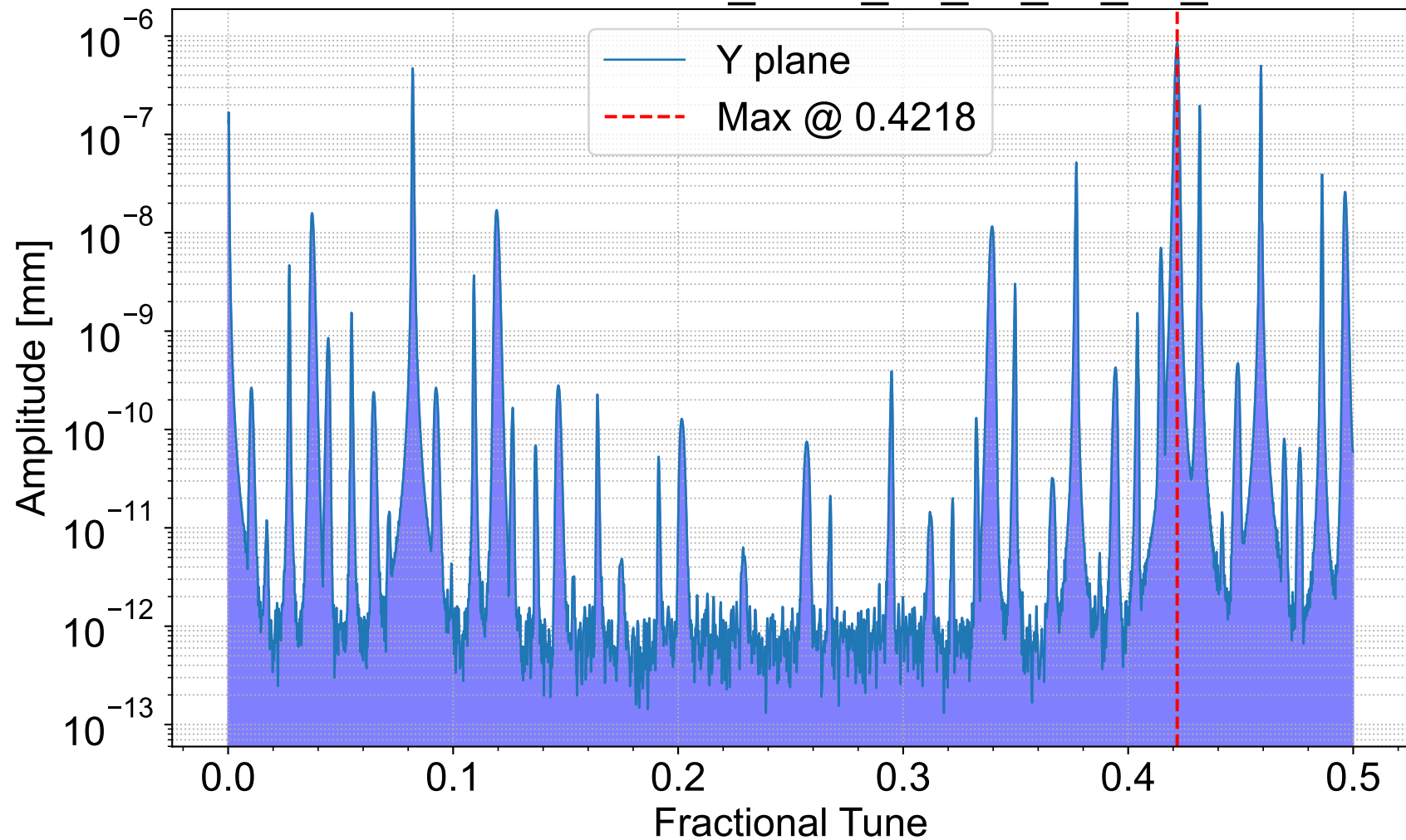
BPM MQEAE22 - HER_2024_06_17_17_53_37



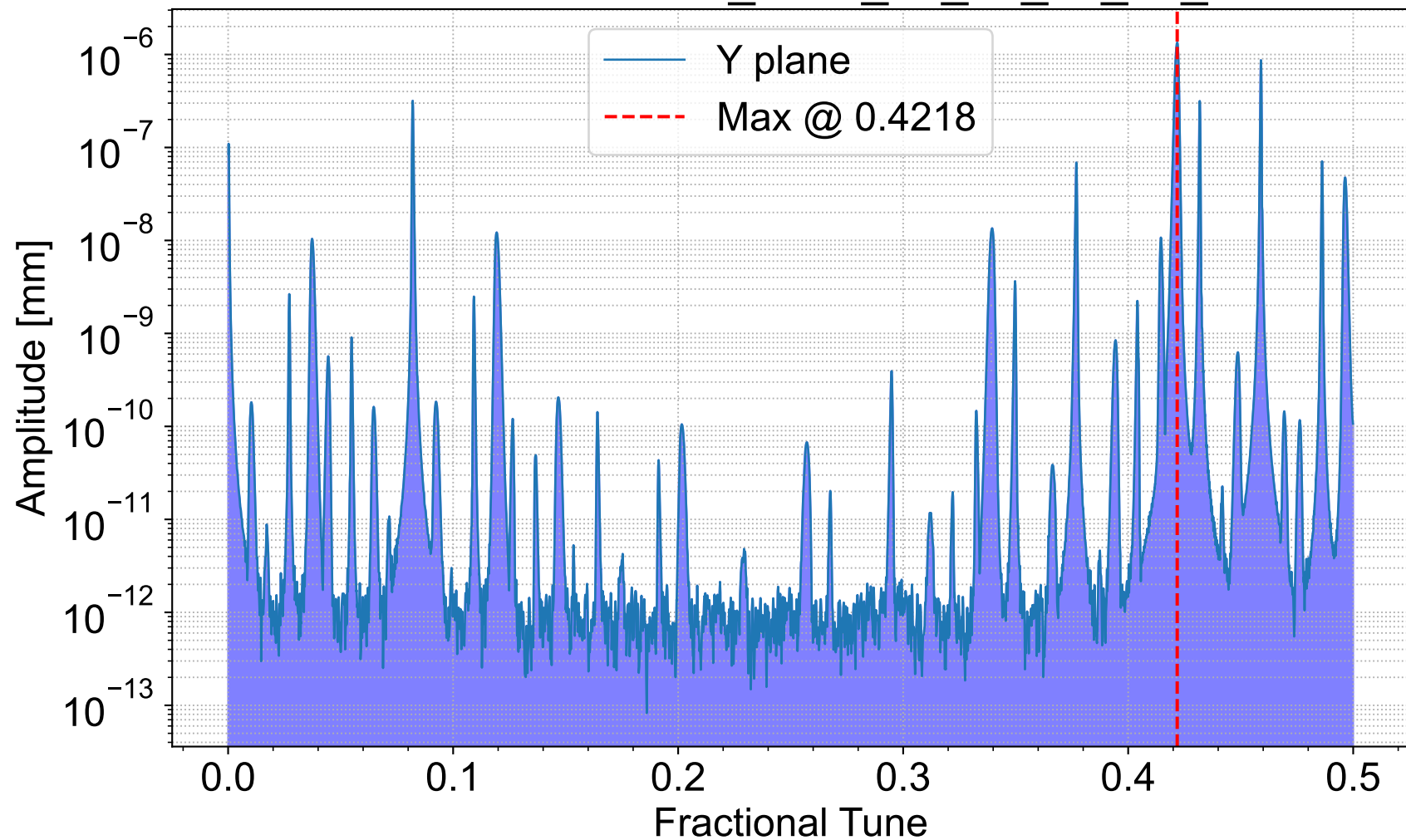
BPM MQEAE23 - HER_2024_06_17_17_53_37



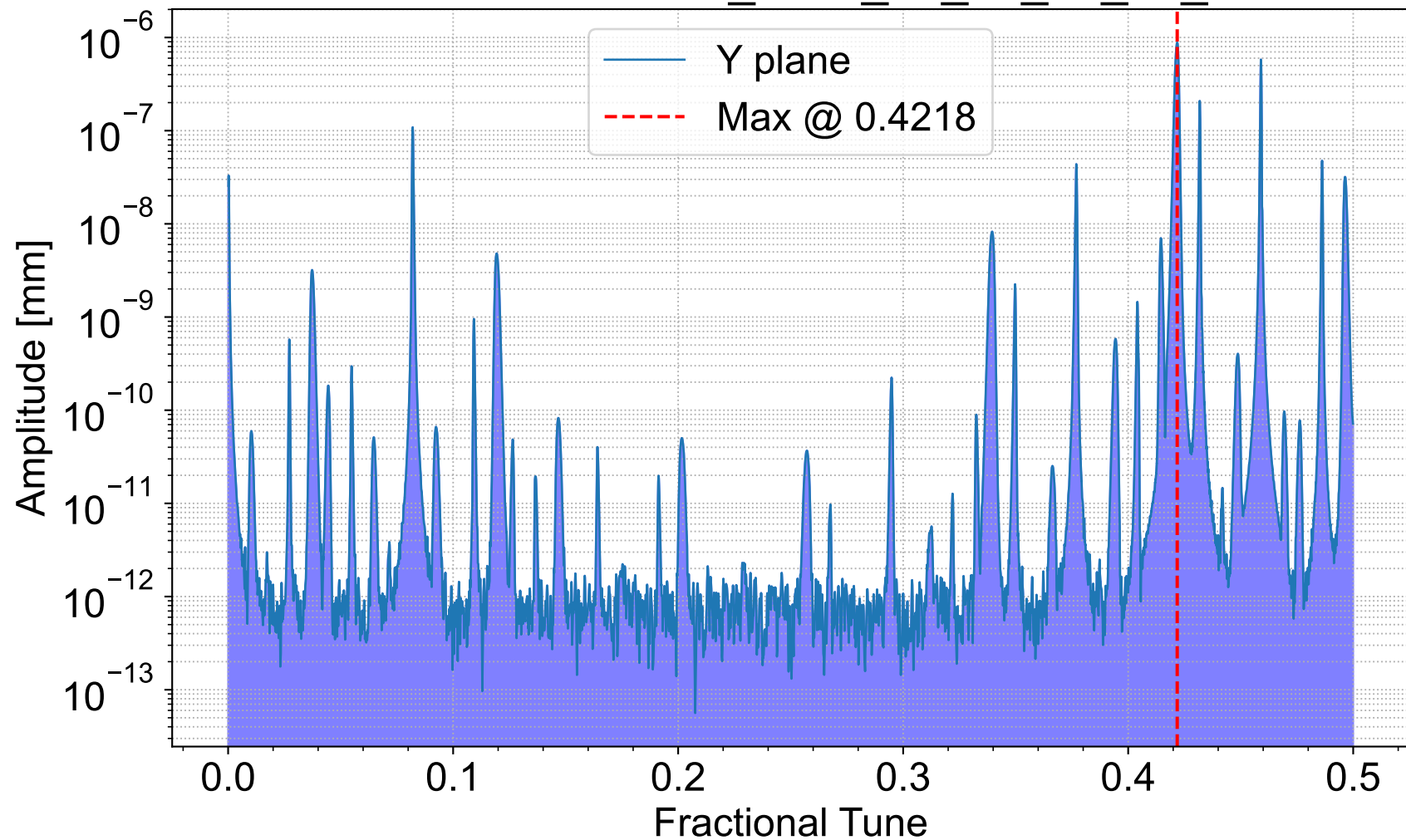
BPM MQI6E - HER_2024_06_17_17_53_37



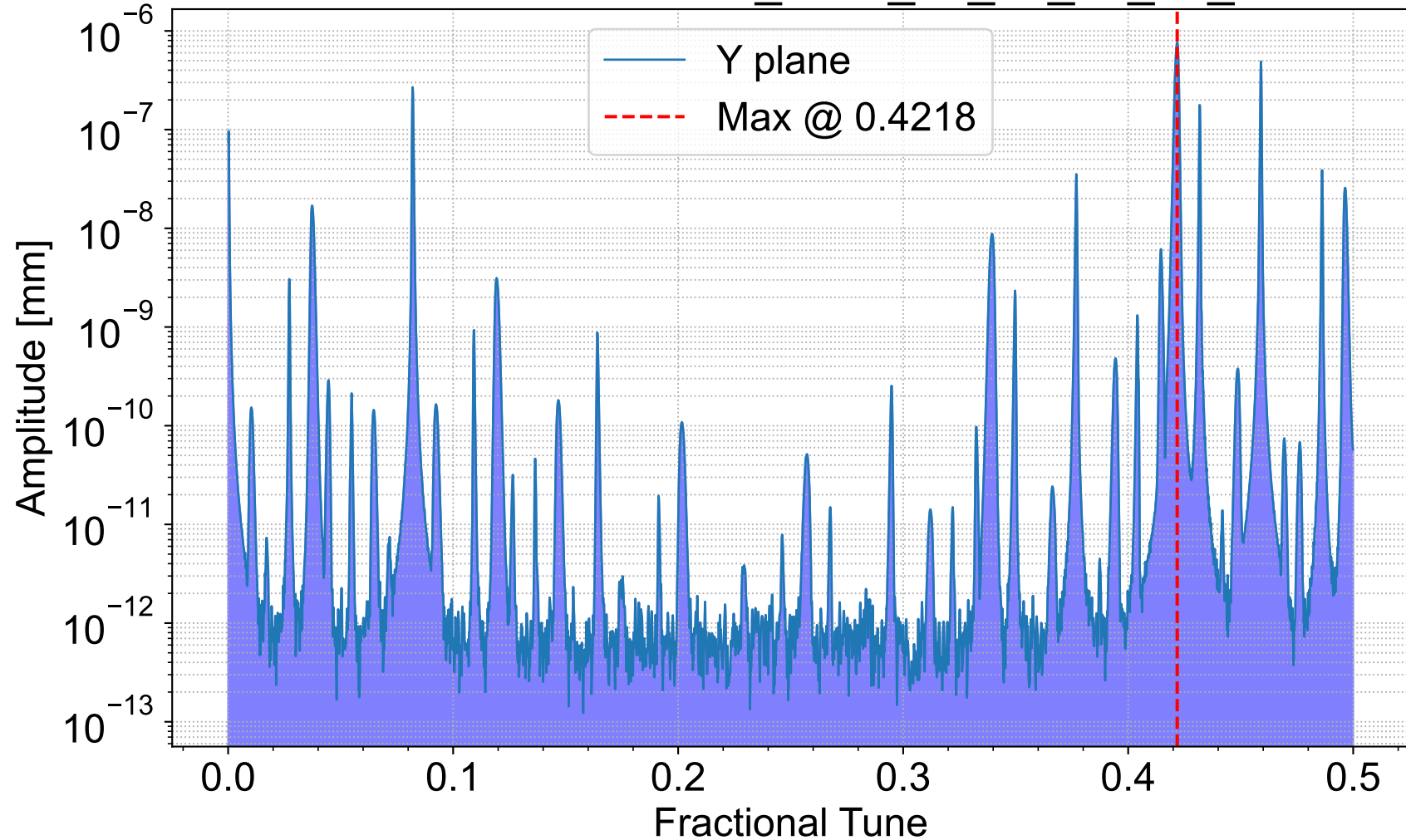
BPM MQI5E - HER_2024_06_17_17_53_37



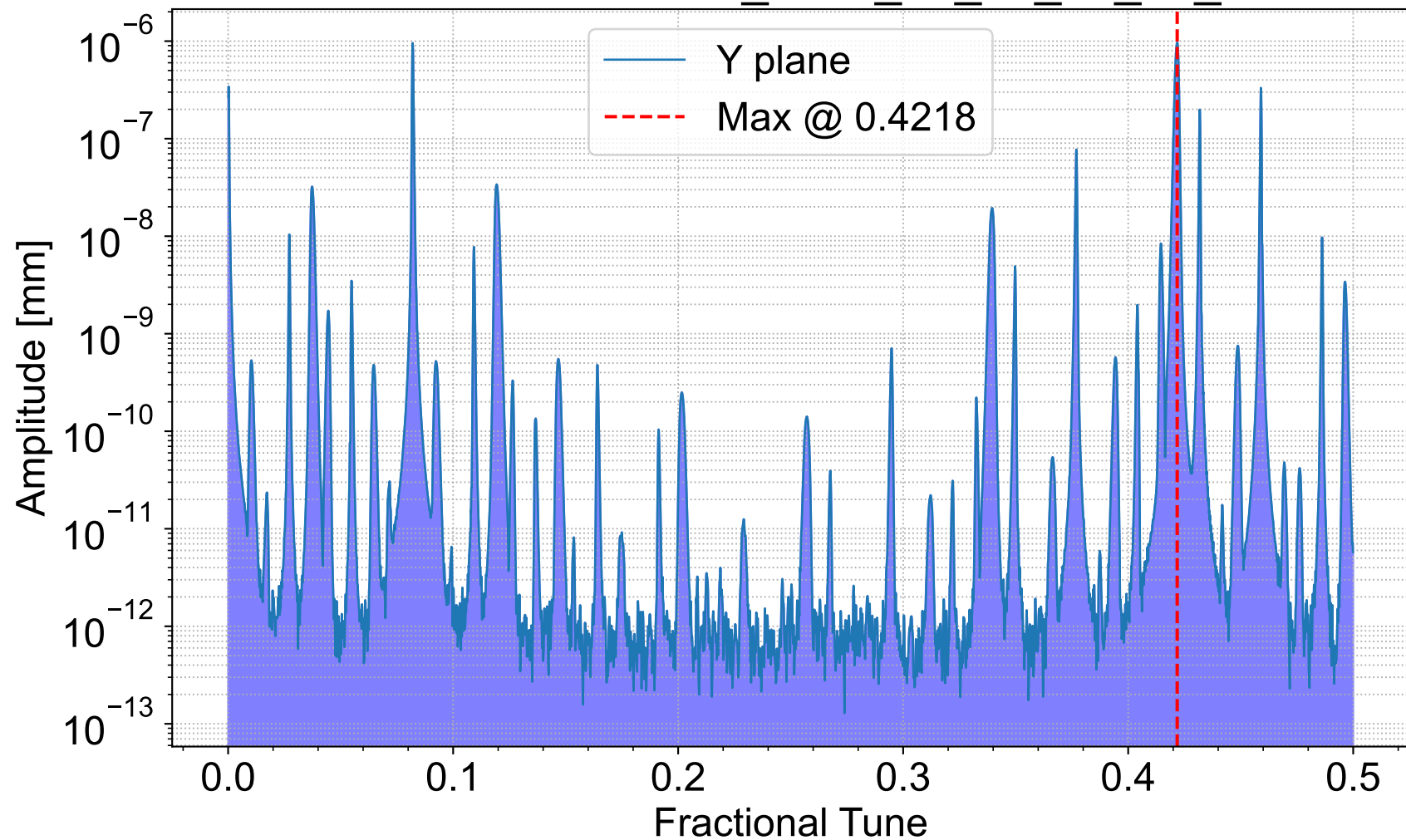
BPM MQI4E - HER_2024_06_17_17_53_37



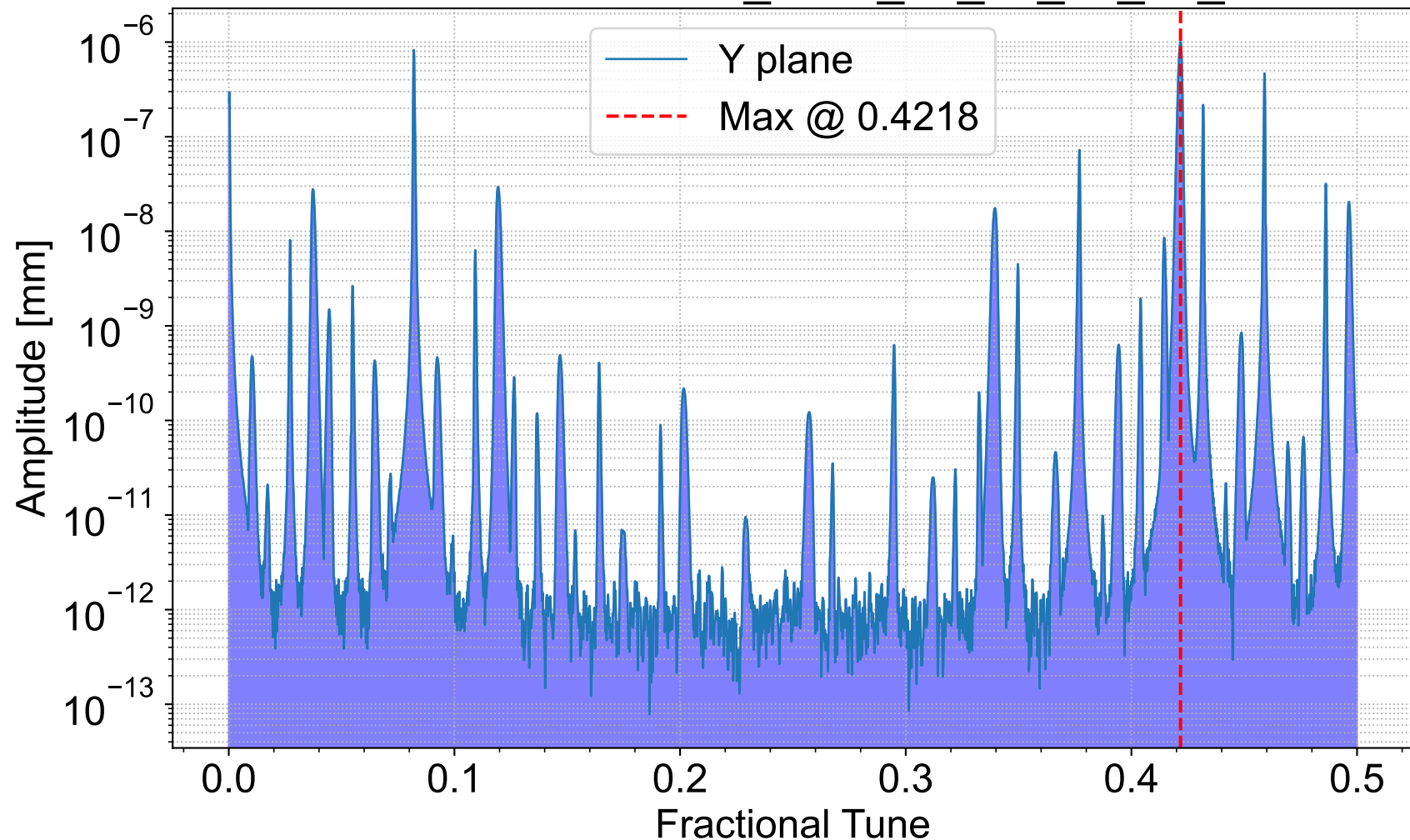
BPM MQX2RE - HER_2024_06_17_17_53_37



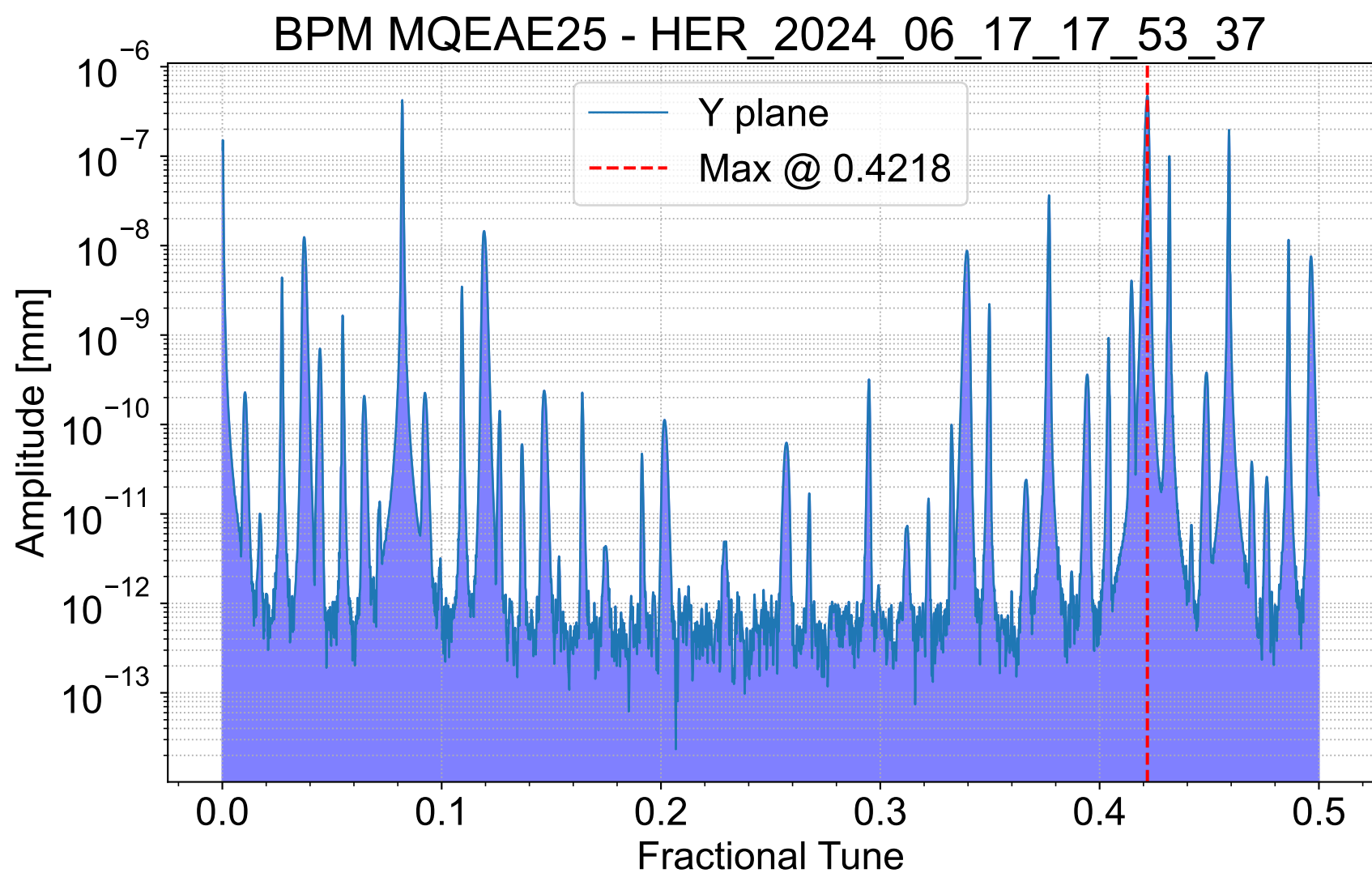
BPM MQM2E - HER_2024_06_17_17_53_37



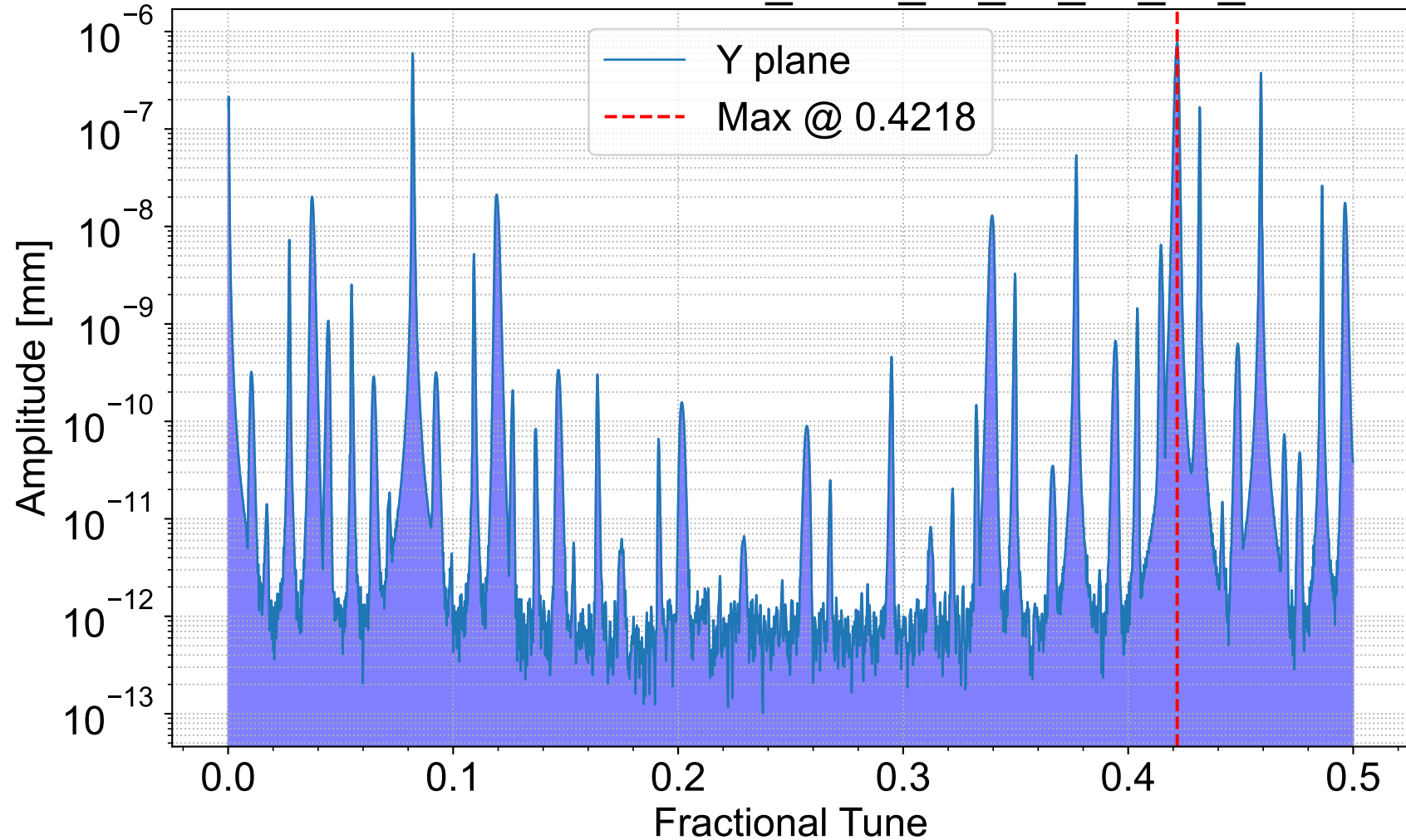
BPM MQM7E - HER_2024_06_17_17_53_37



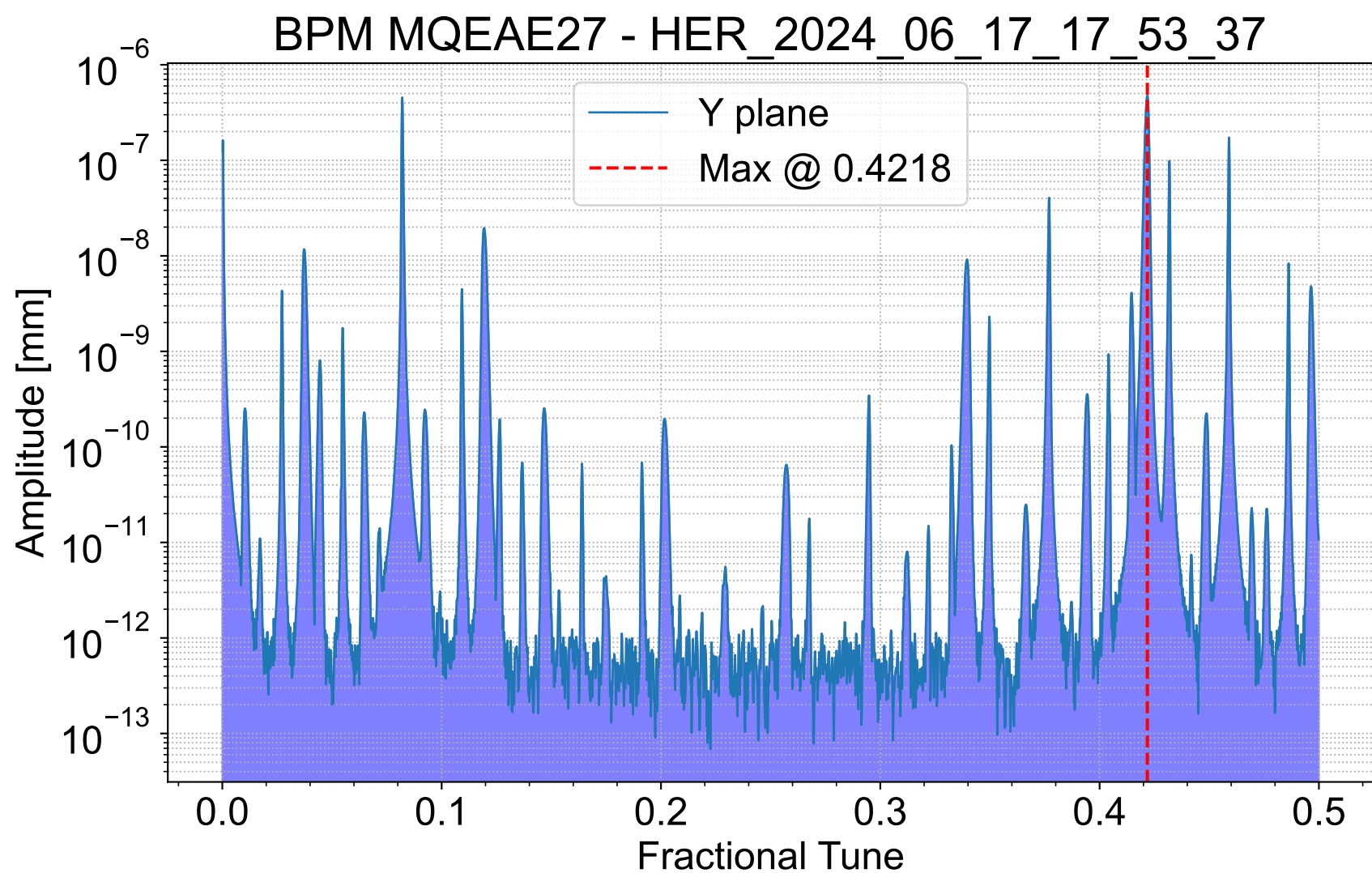
BPM MQEAE25 - HER_2024_06_17_17_53_37



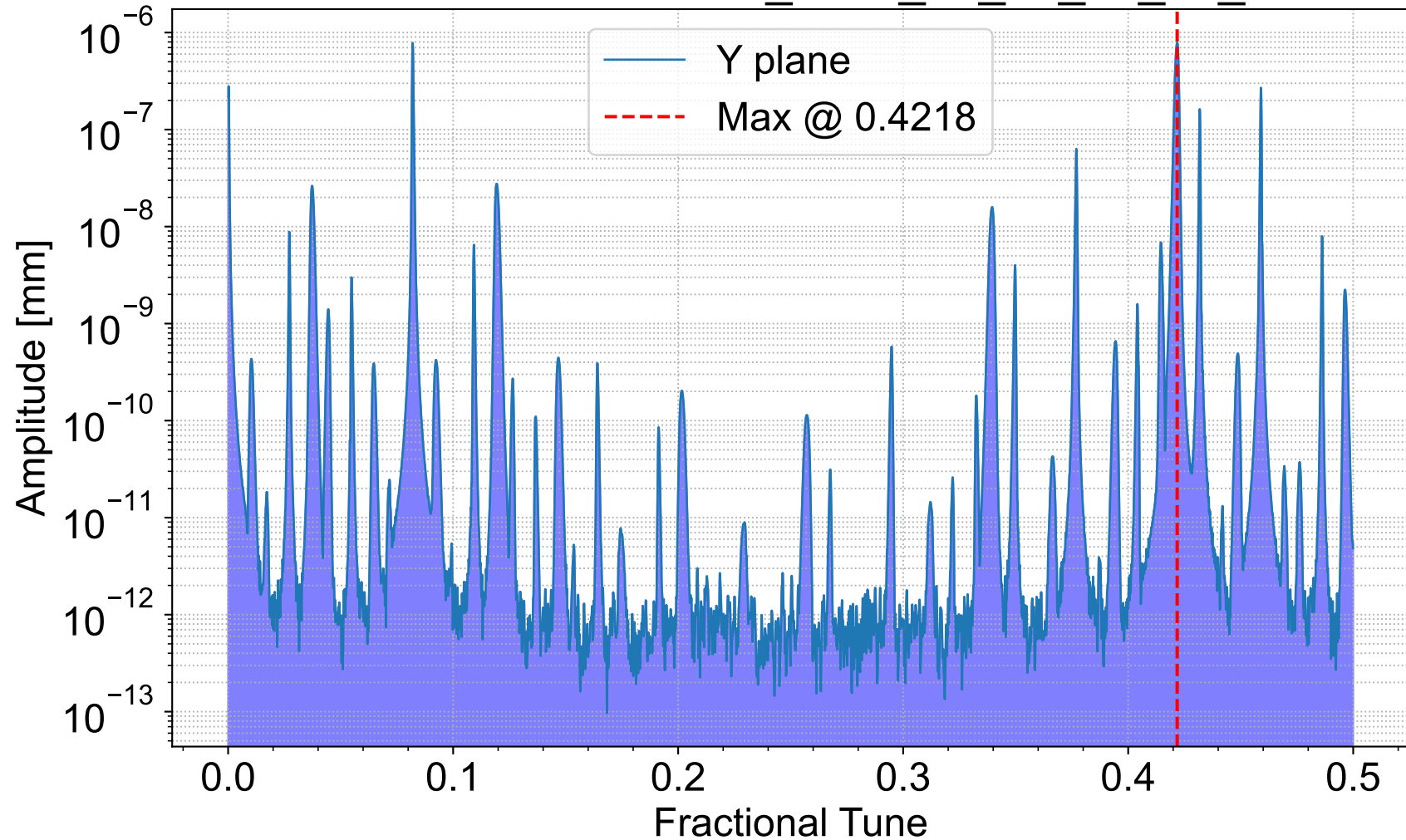
BPM MQD3E21 - HER_2024_06_17_17_53_37



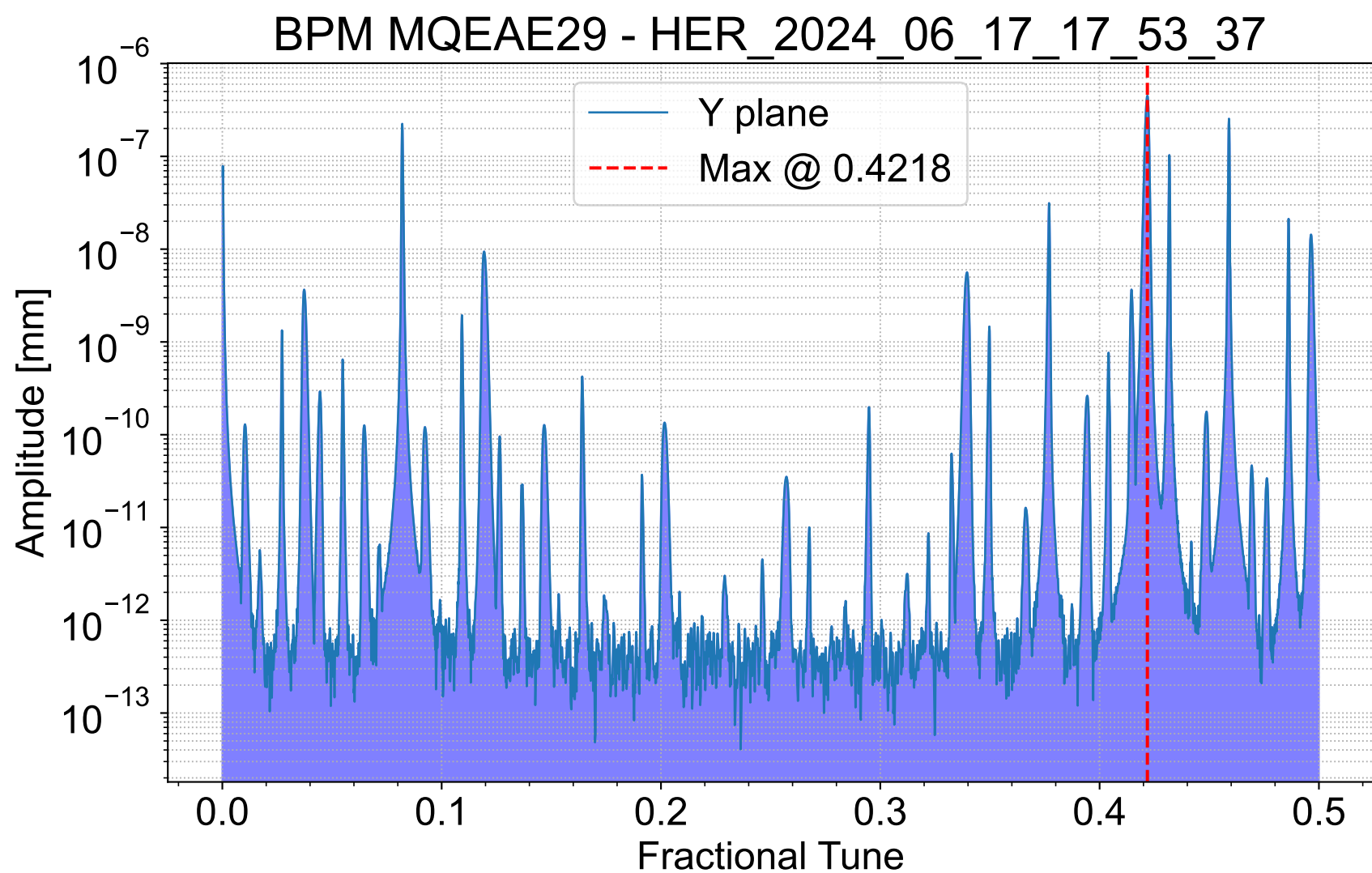
BPM MQEAE27 - HER_2024_06_17_17_53_37



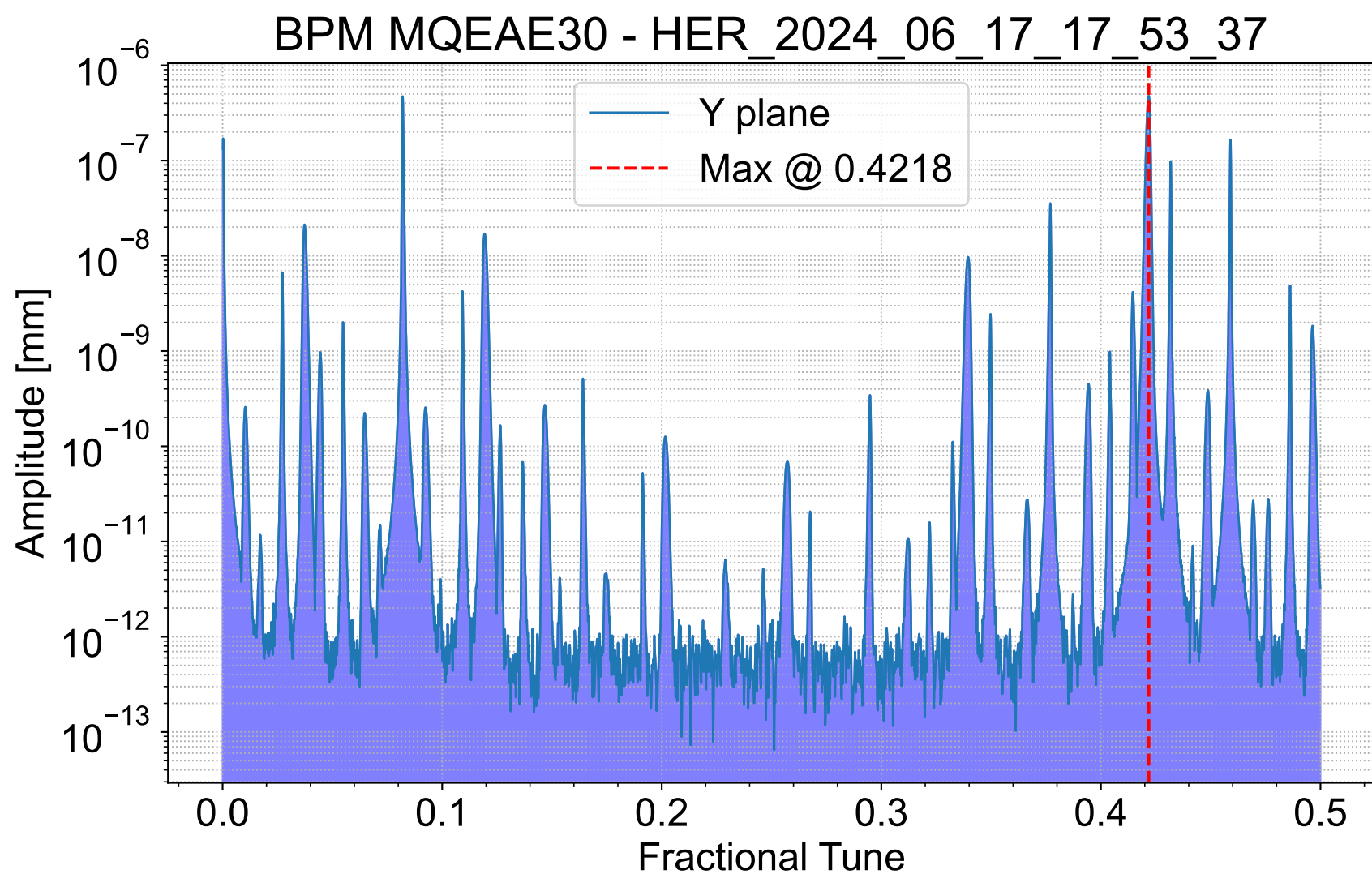
BPM MQD3E23 - HER_2024_06_17_17_53_37



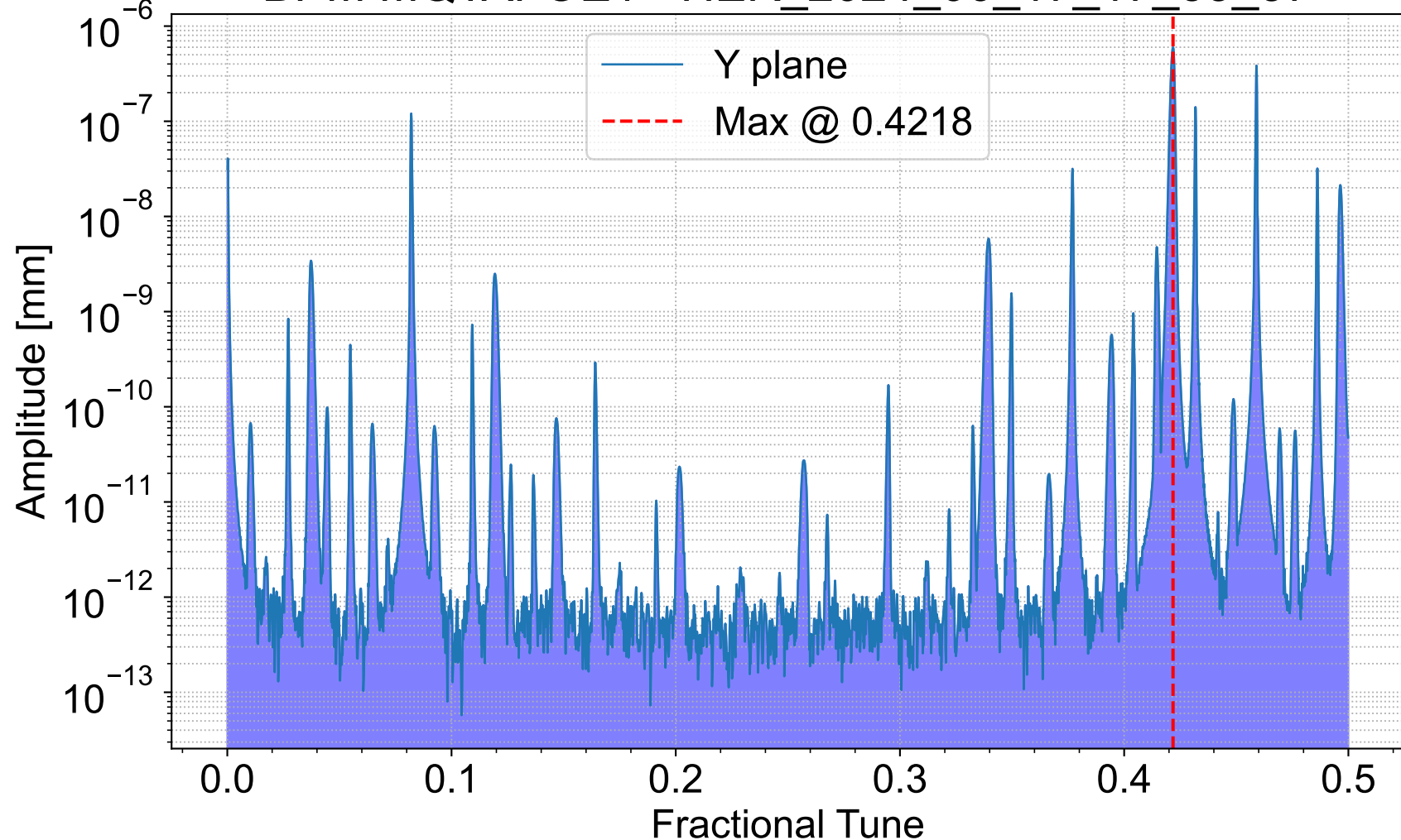
BPM MQEAE29 - HER_2024_06_17_17_53_37



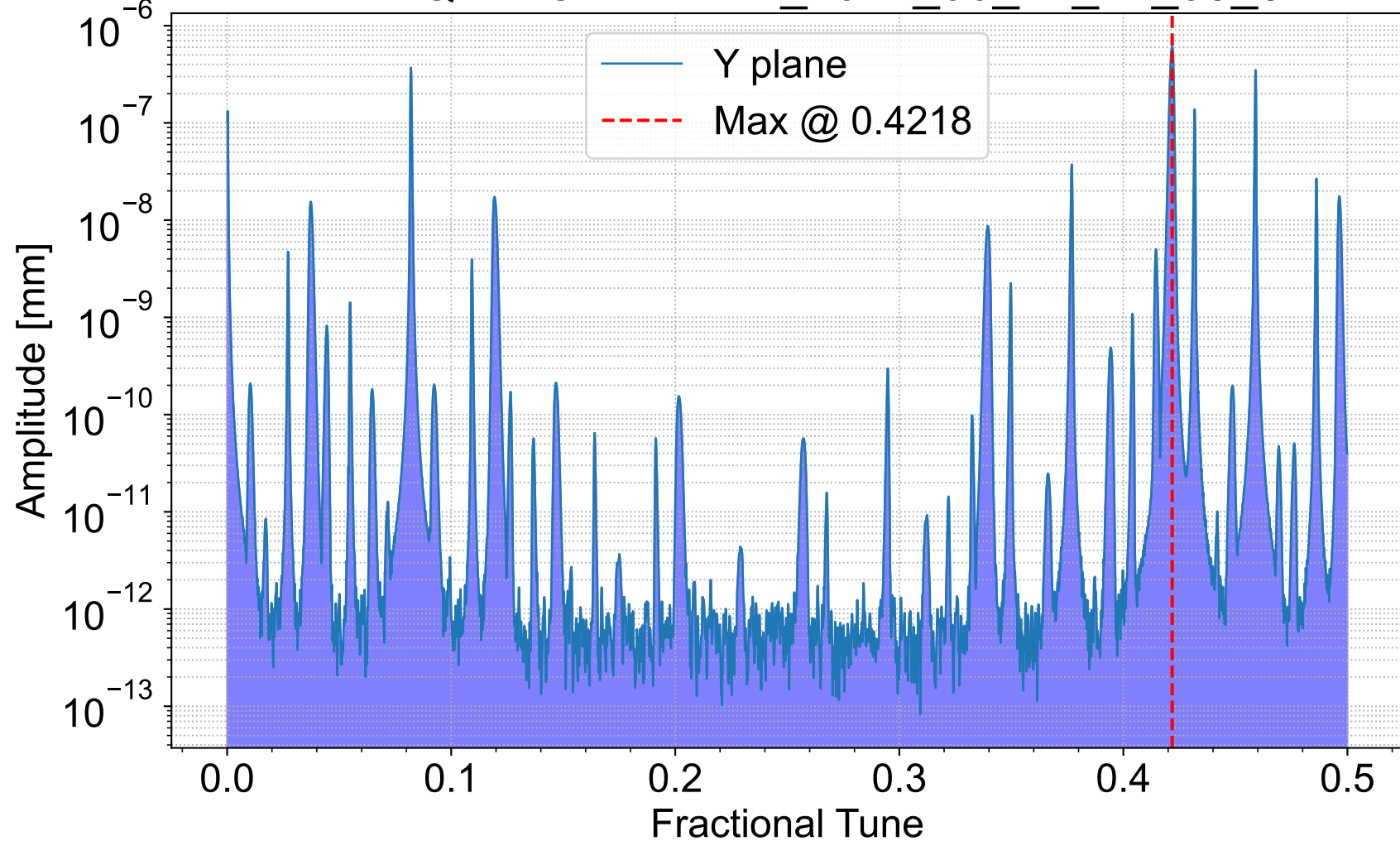
BPM MQEAE30 - HER_2024_06_17_17_53_37



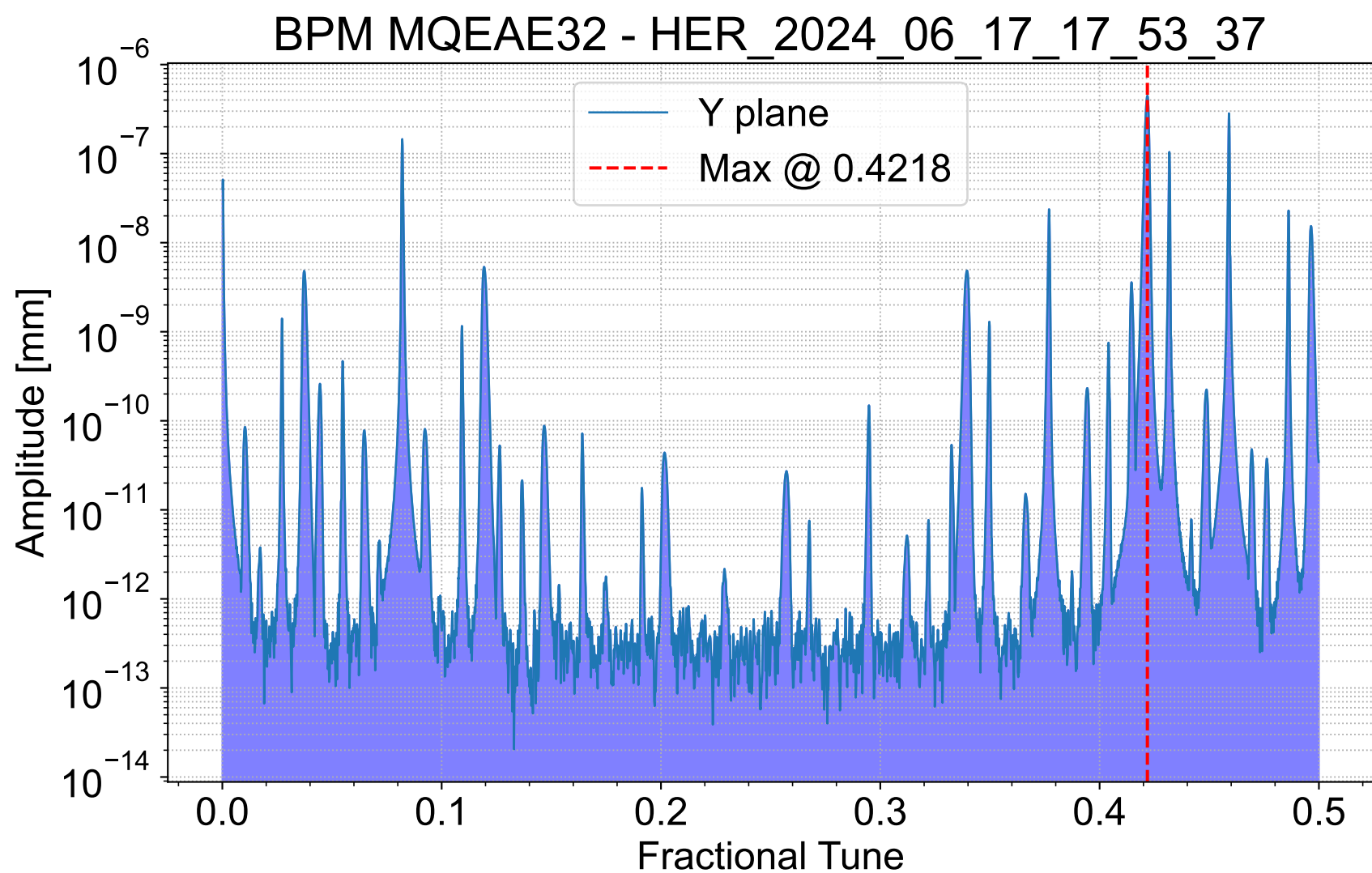
BPM MQTAFOE1 - HER_2024_06_17_17_53_37



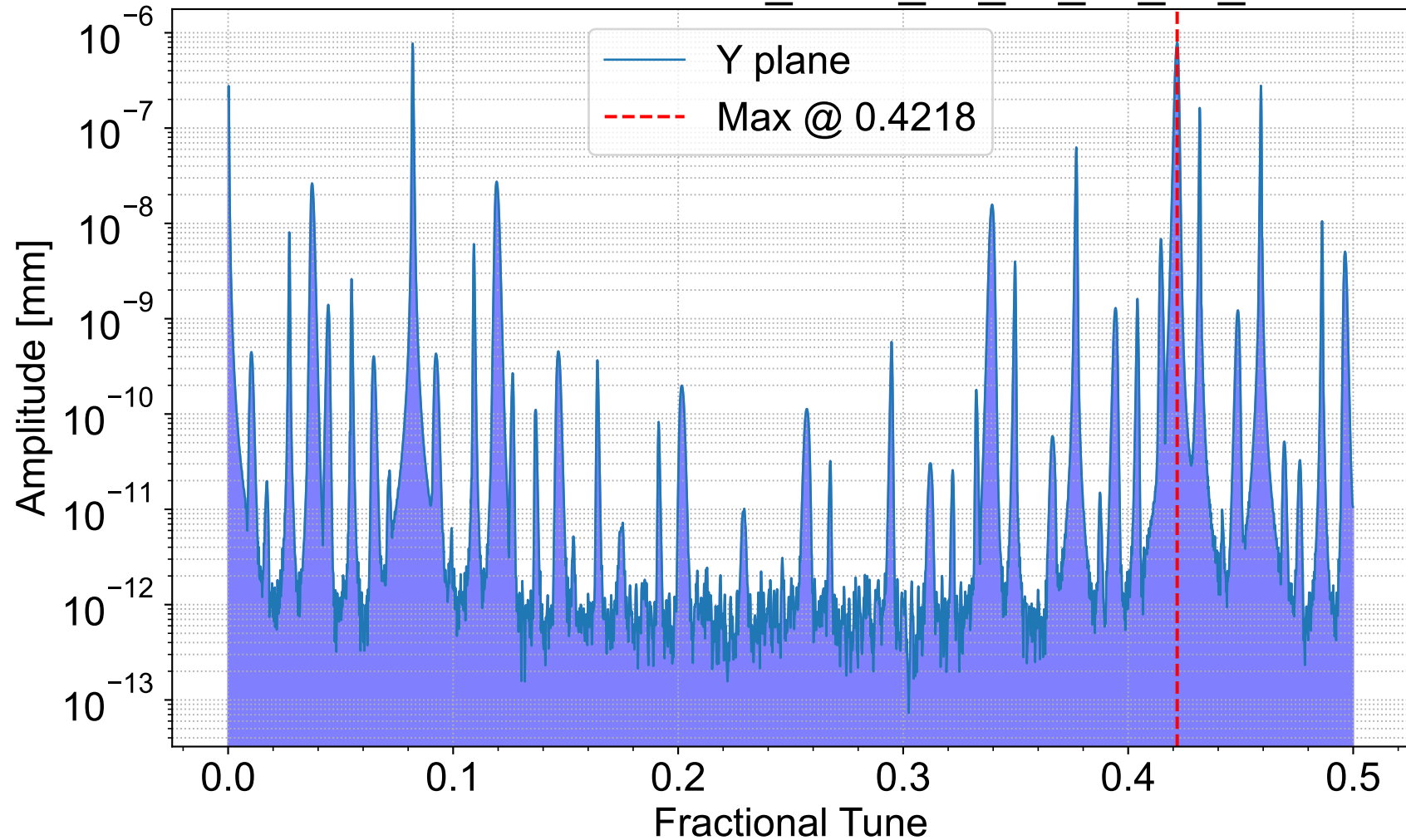
BPM MQTAFOE2 - HER_2024_06_17_17_53_37



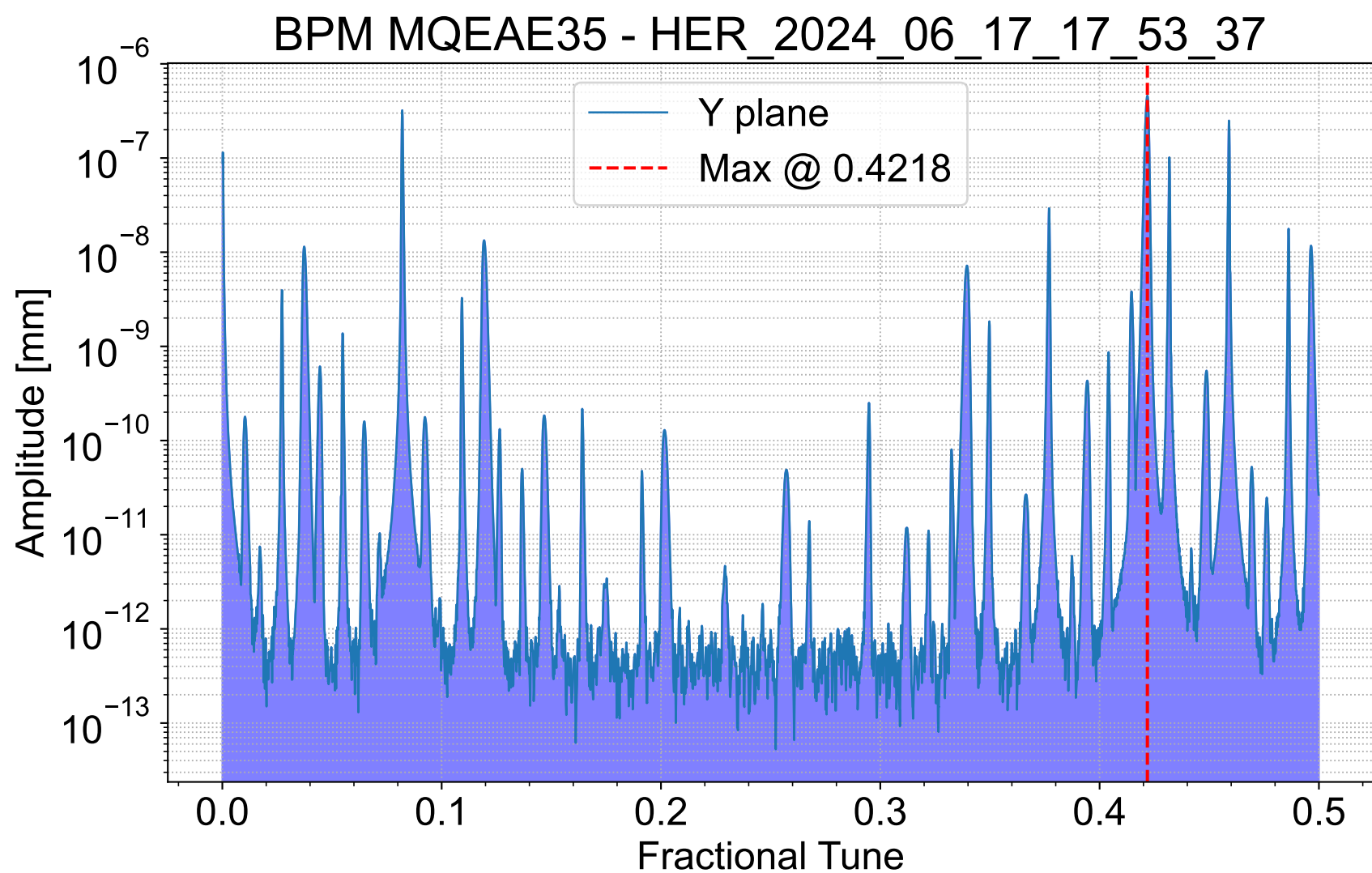
BPM MQAE32 - HER_2024_06_17_17_53_37



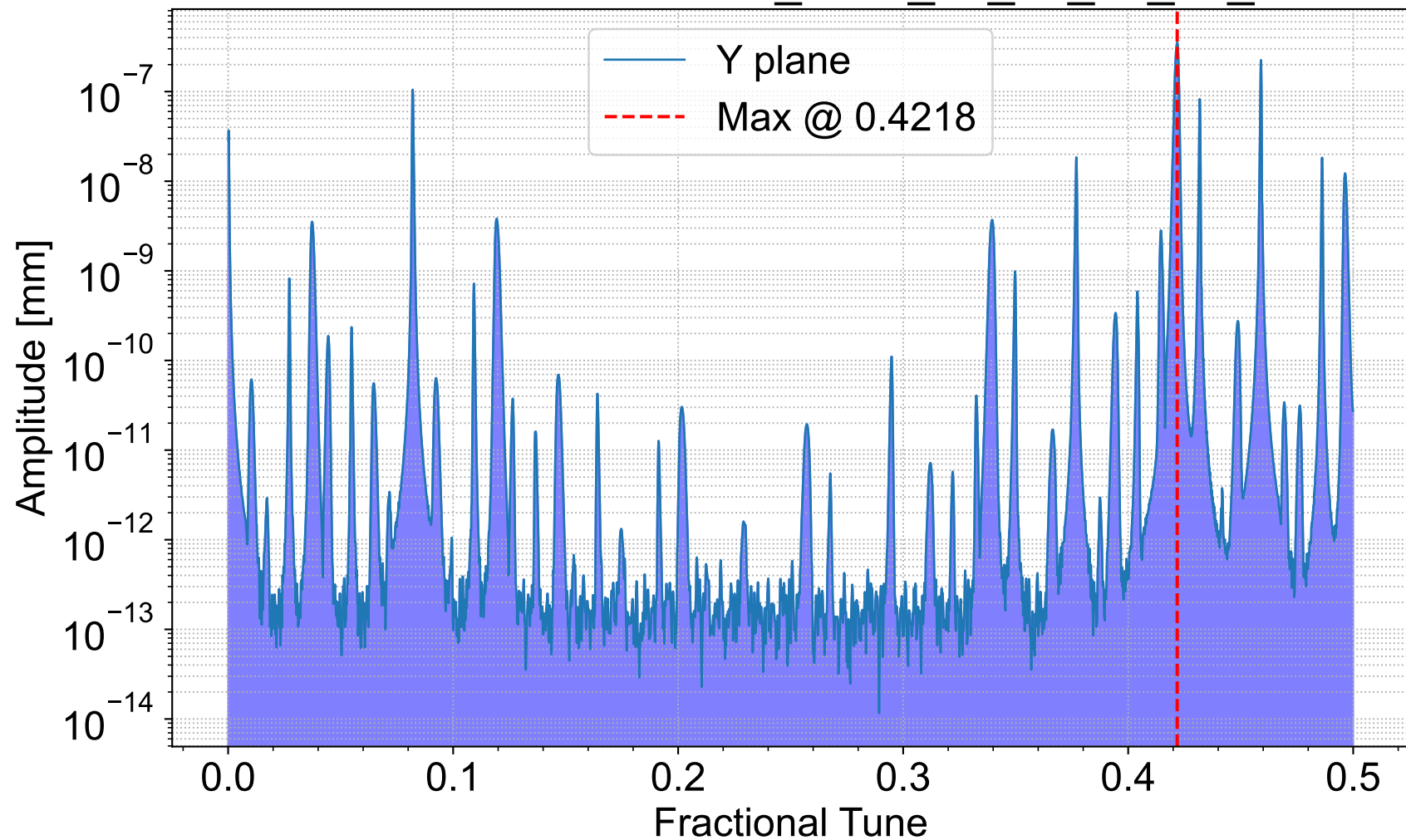
BPM MQD3E29 - HER_2024_06_17_17_53_37



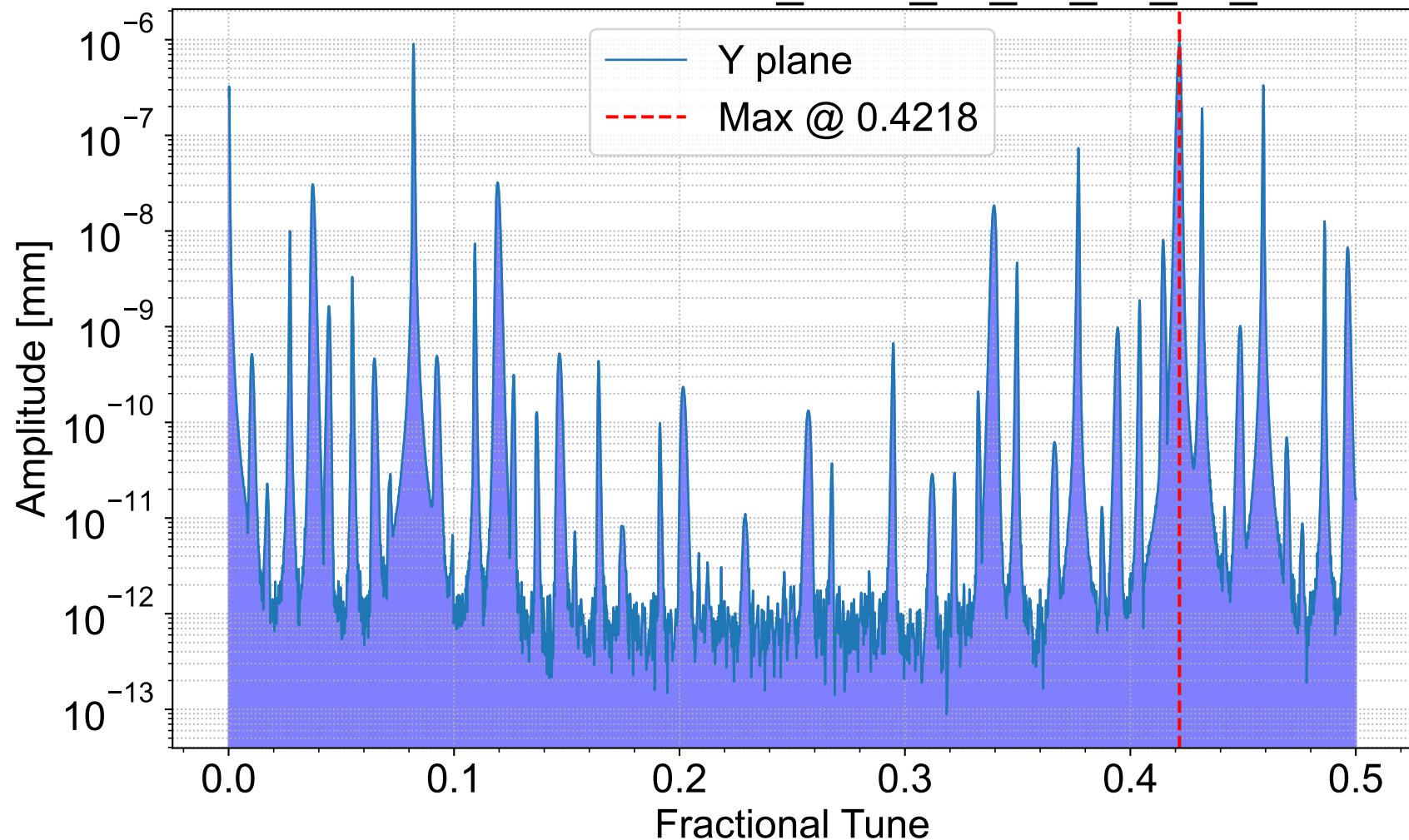
BPM MQAE35 - HER_2024_06_17_17_53_37



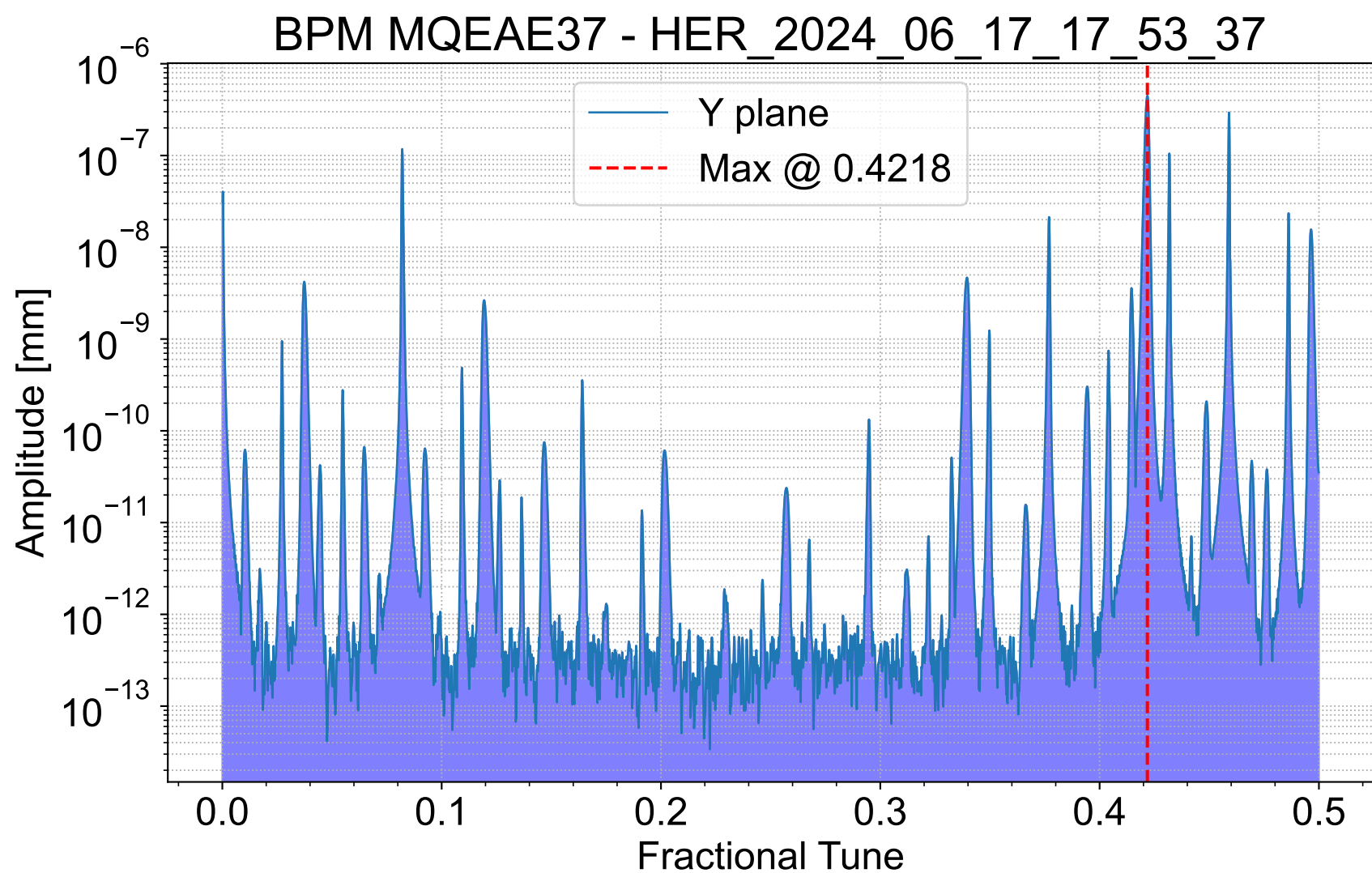
BPM MQR2ORE - HER_2024_06_17_17_53_37



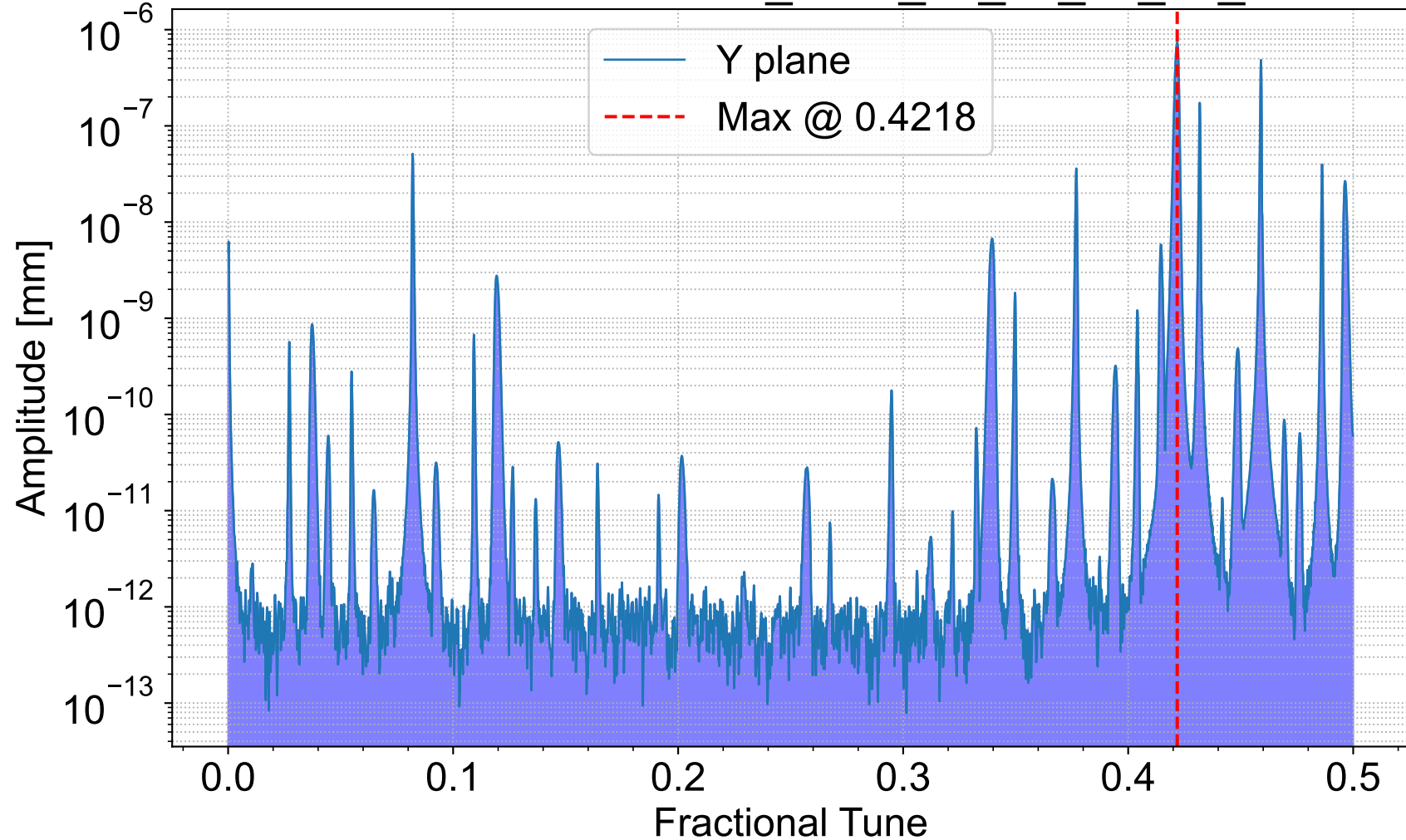
BPM MQDROE5 - HER_2024_06_17_17_53_37



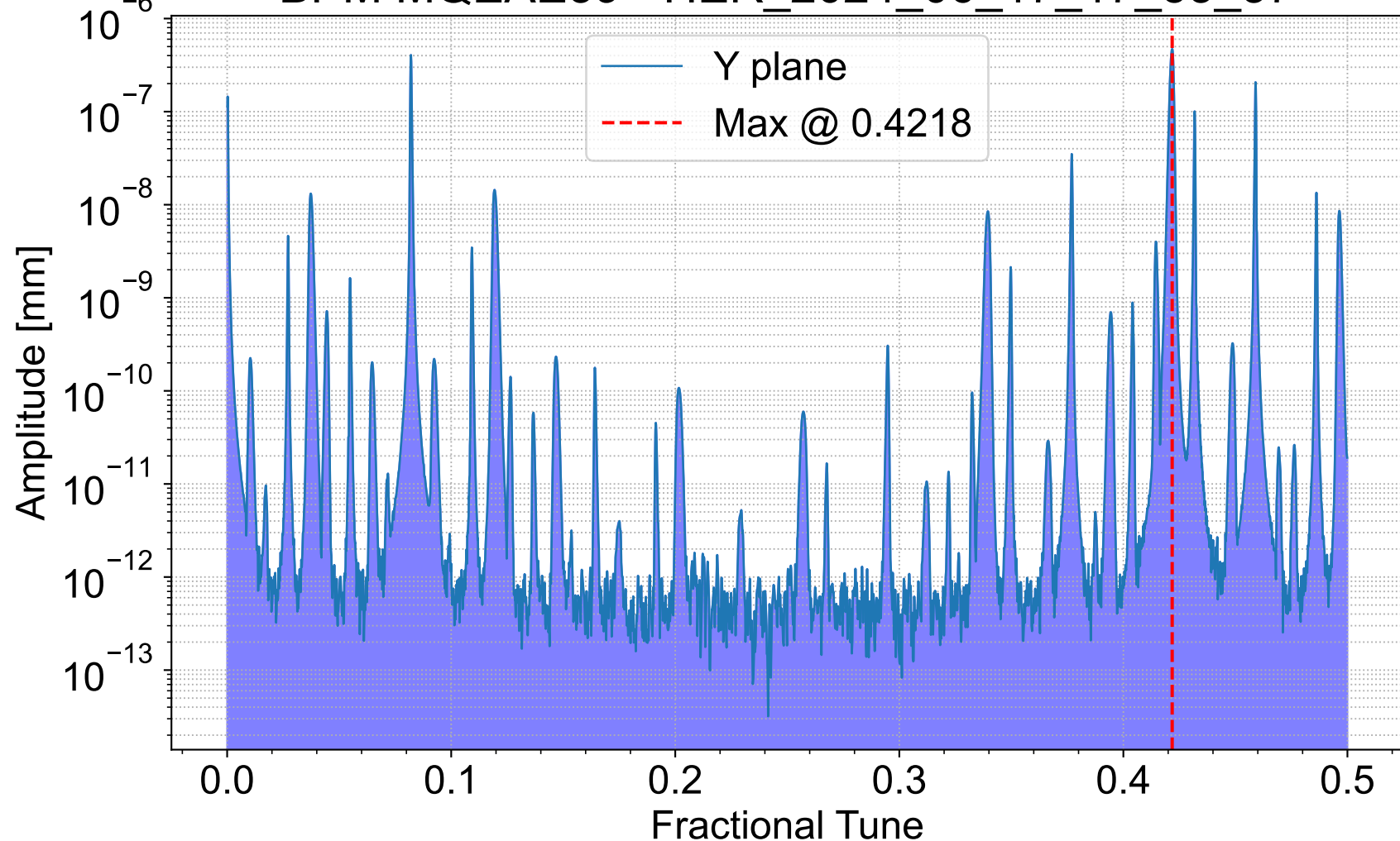
BPM MQAE37 - HER_2024_06_17_17_53_37



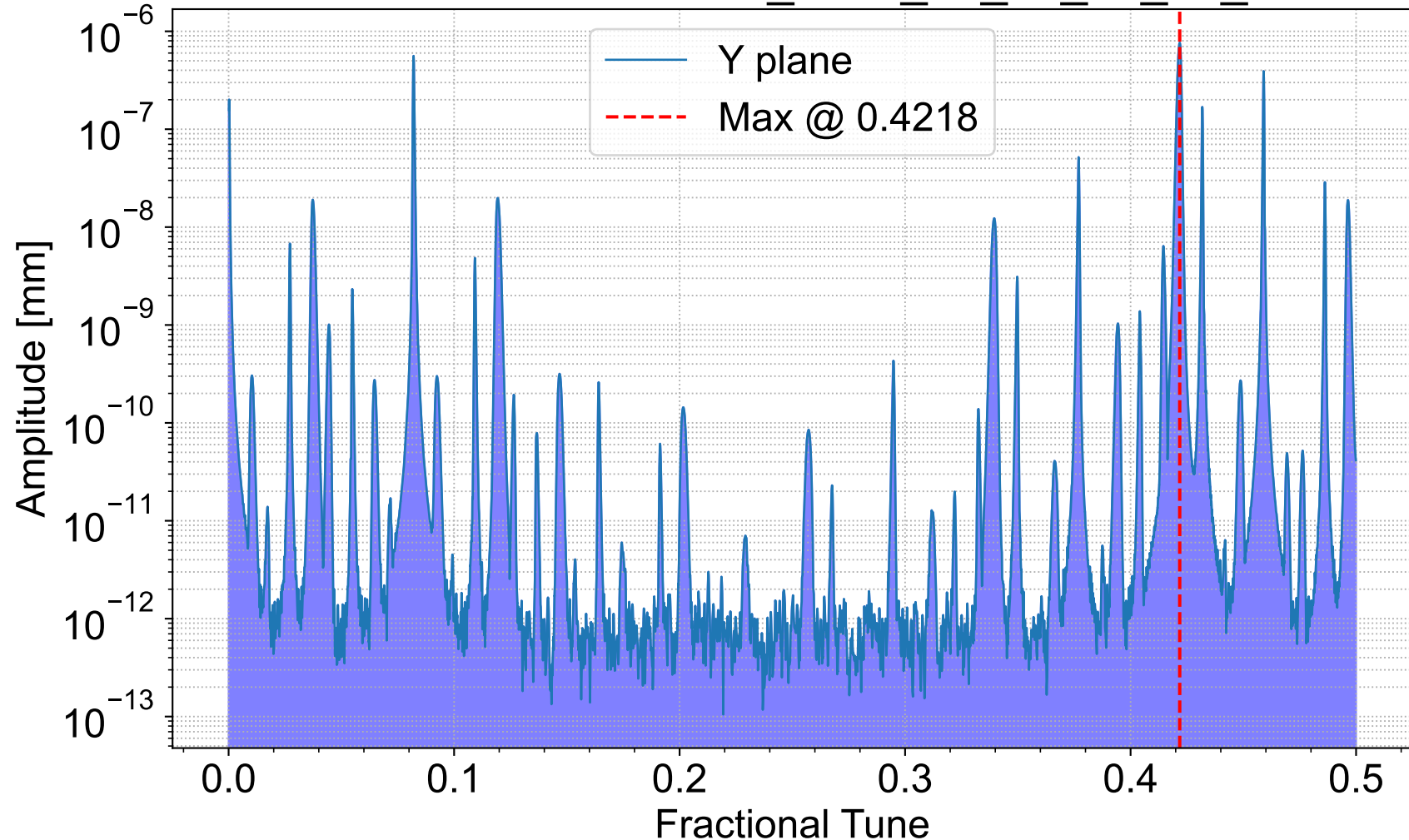
BPM MQD3E31 - HER_2024_06_17_17_53_37



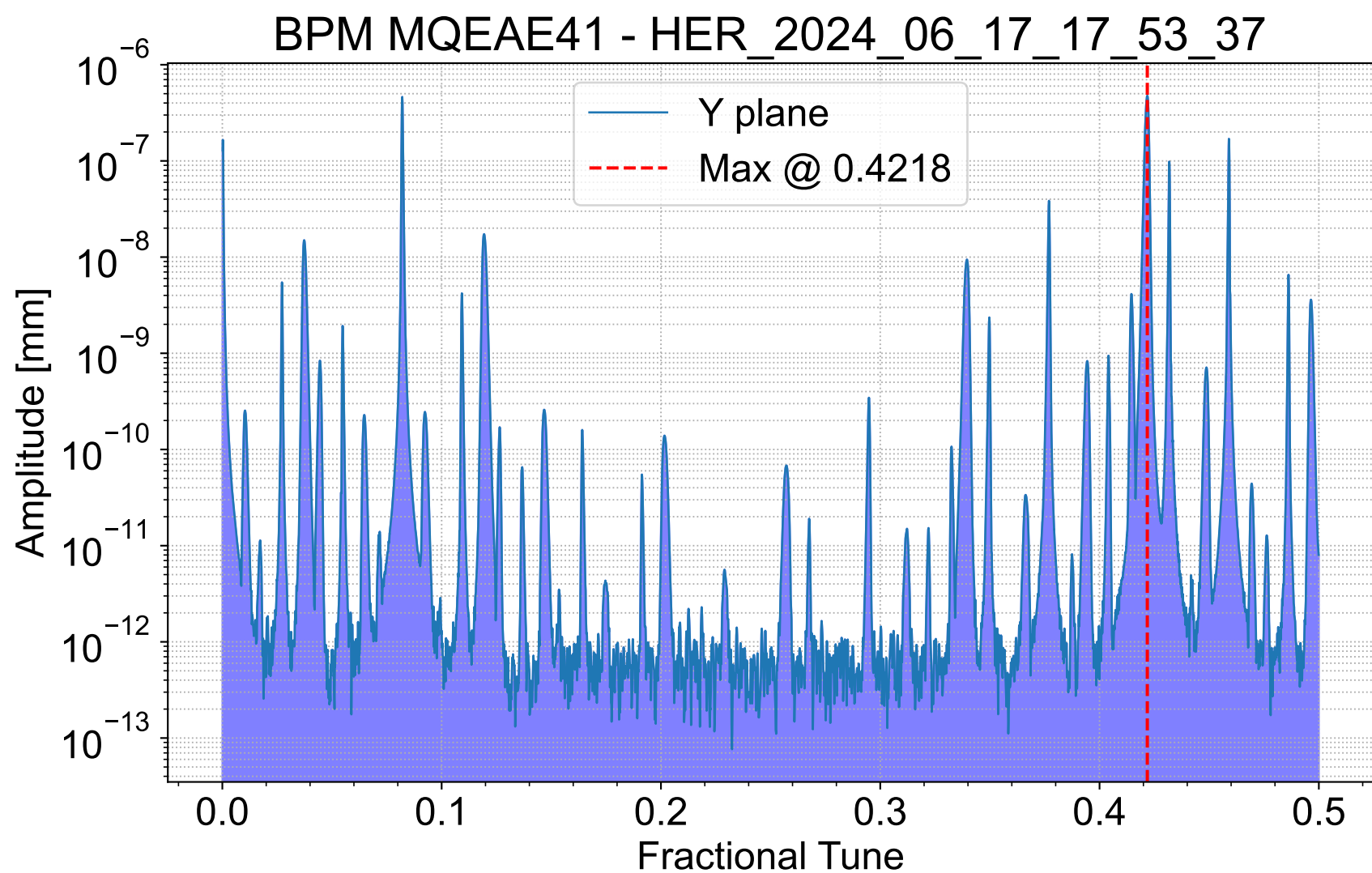
BPM MQEAE39 - HER_2024_06_17_17_53_37



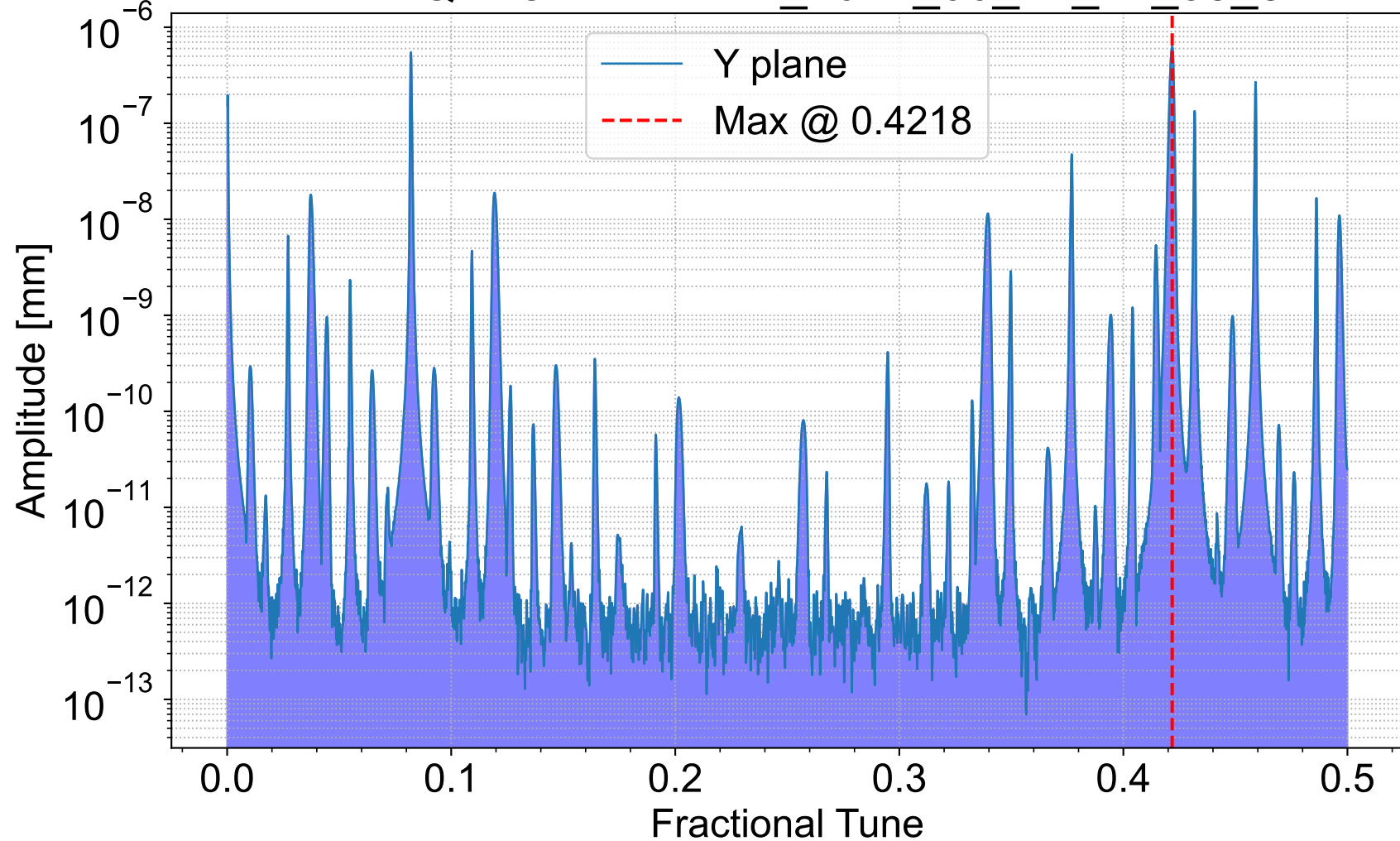
BPM MQD3E33 - HER_2024_06_17_17_53_37



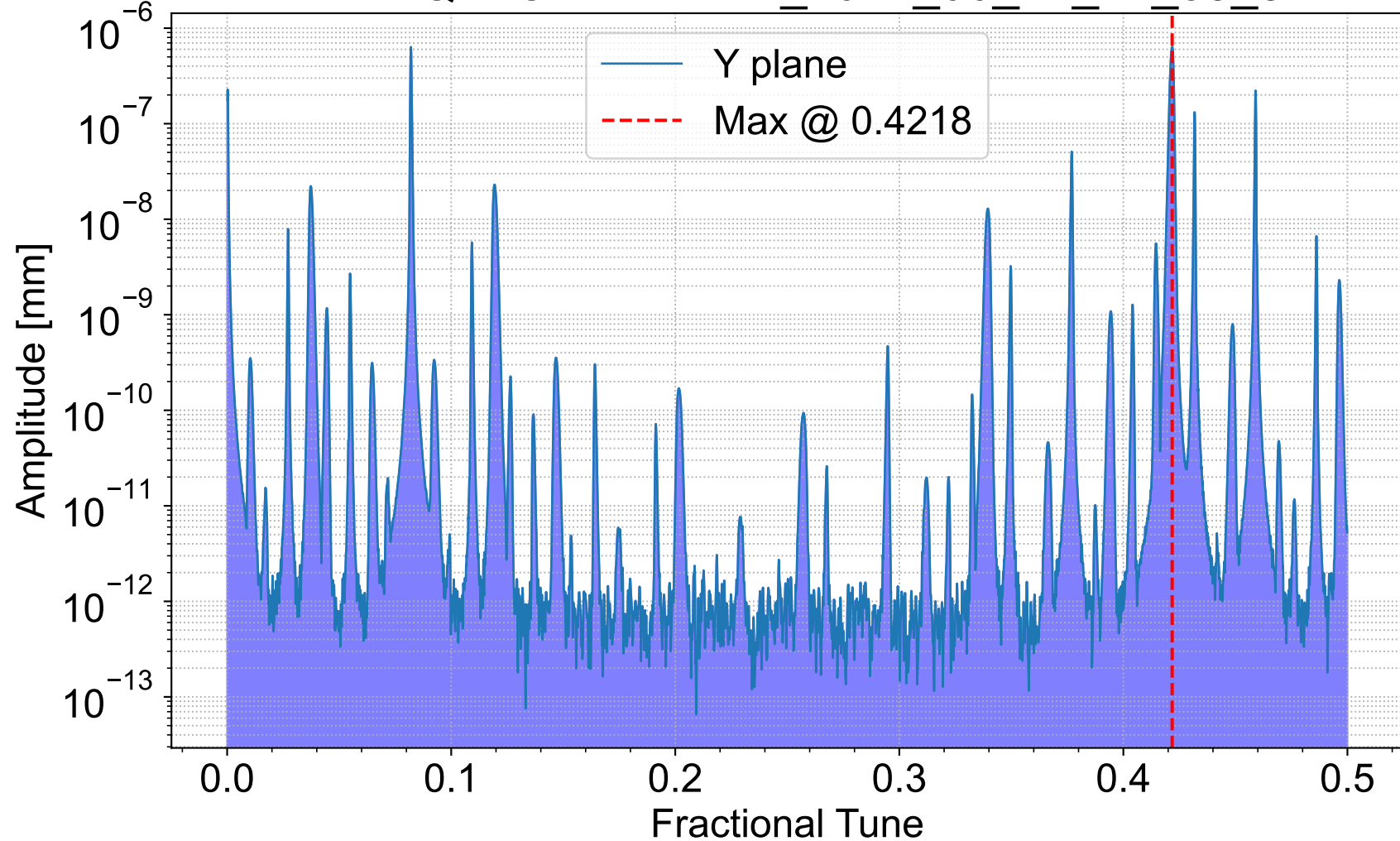
BPM MQEAE41 - HER_2024_06_17_17_53_37



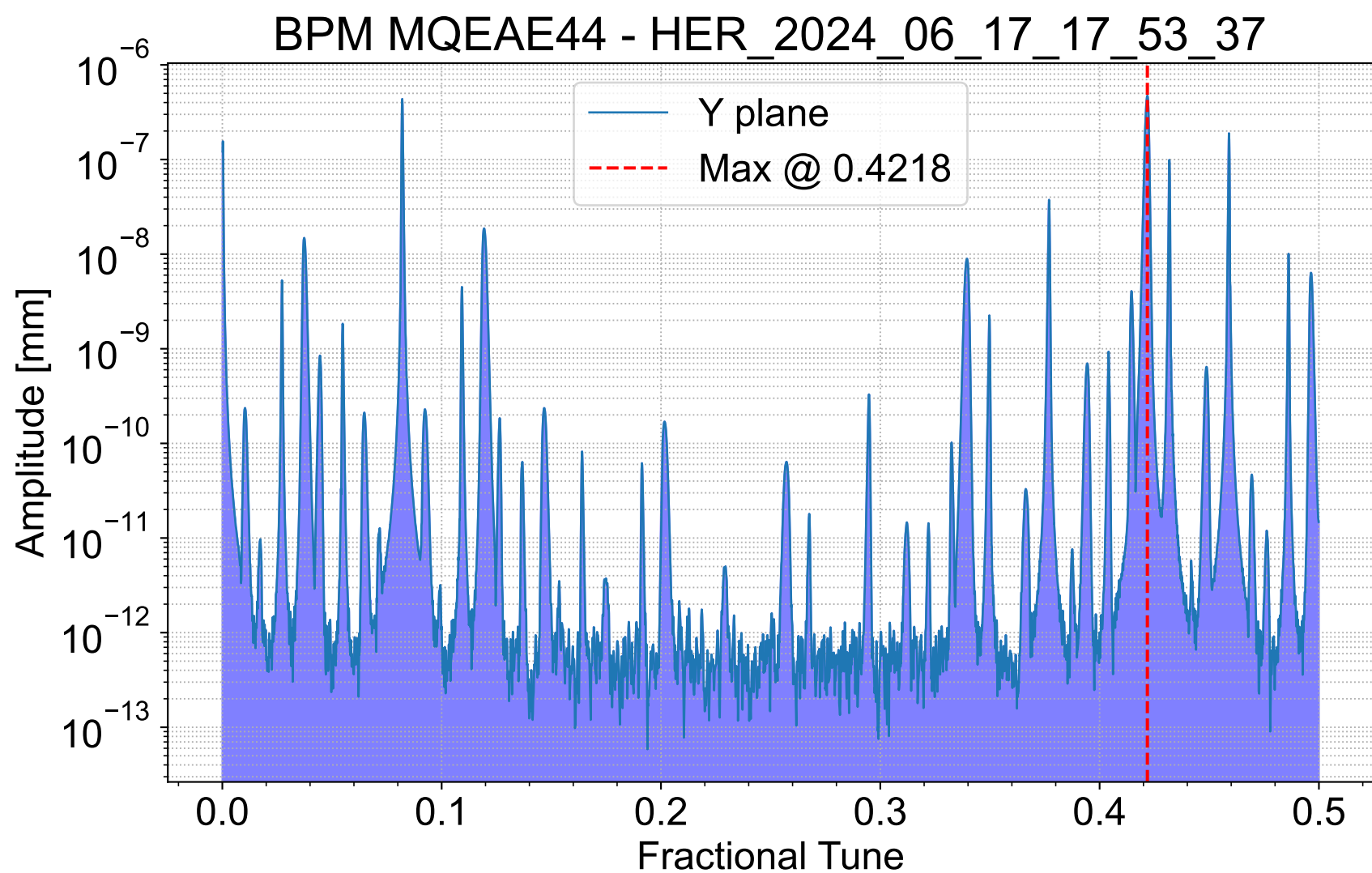
BPM MQTAOTE1 - HER_2024_06_17_17_53_37



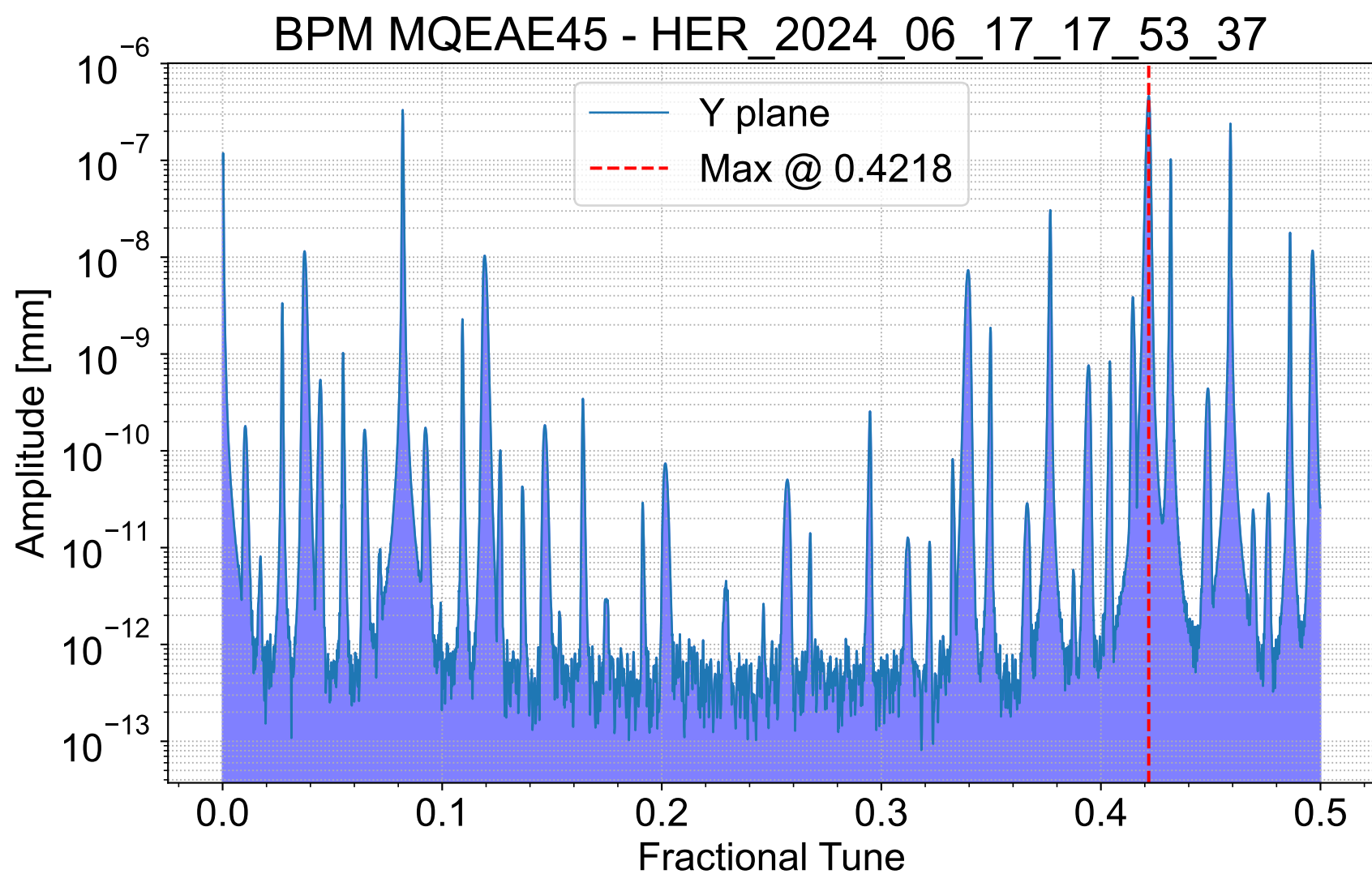
BPM MQTAOTE2 - HER_2024_06_17_17_53_37



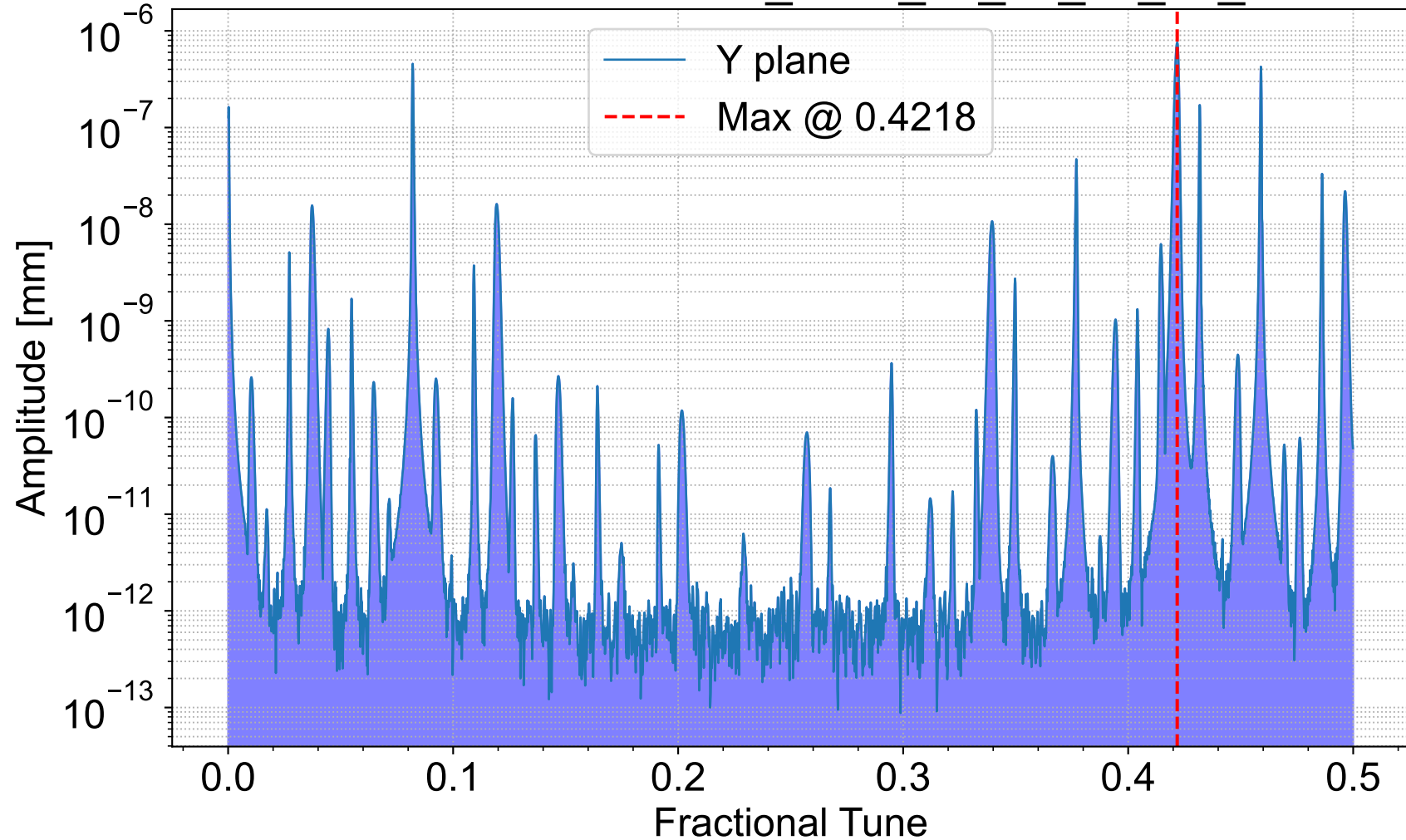
BPM MQEAE44 - HER_2024_06_17_17_53_37



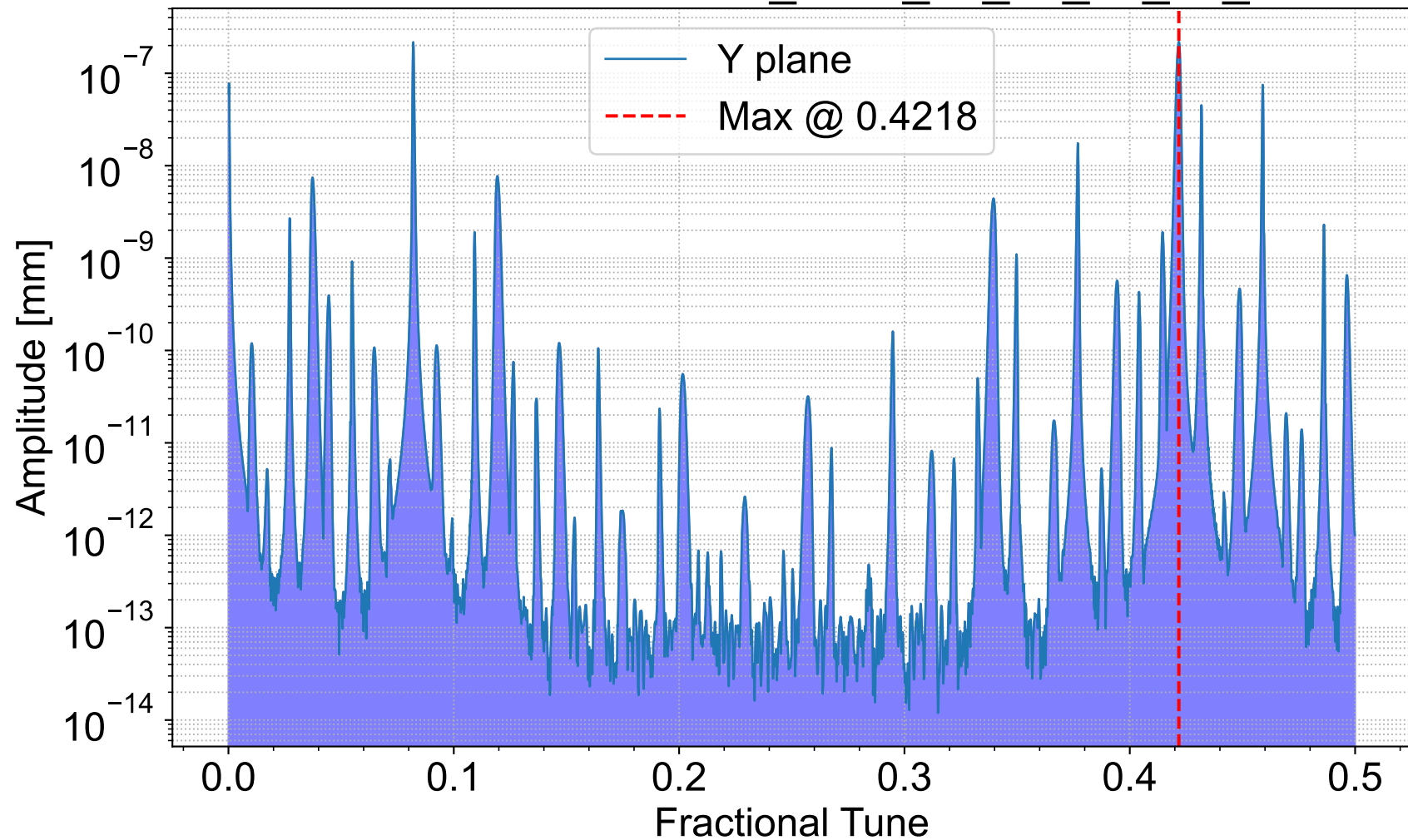
BPM MQEAE45 - HER_2024_06_17_17_53_37



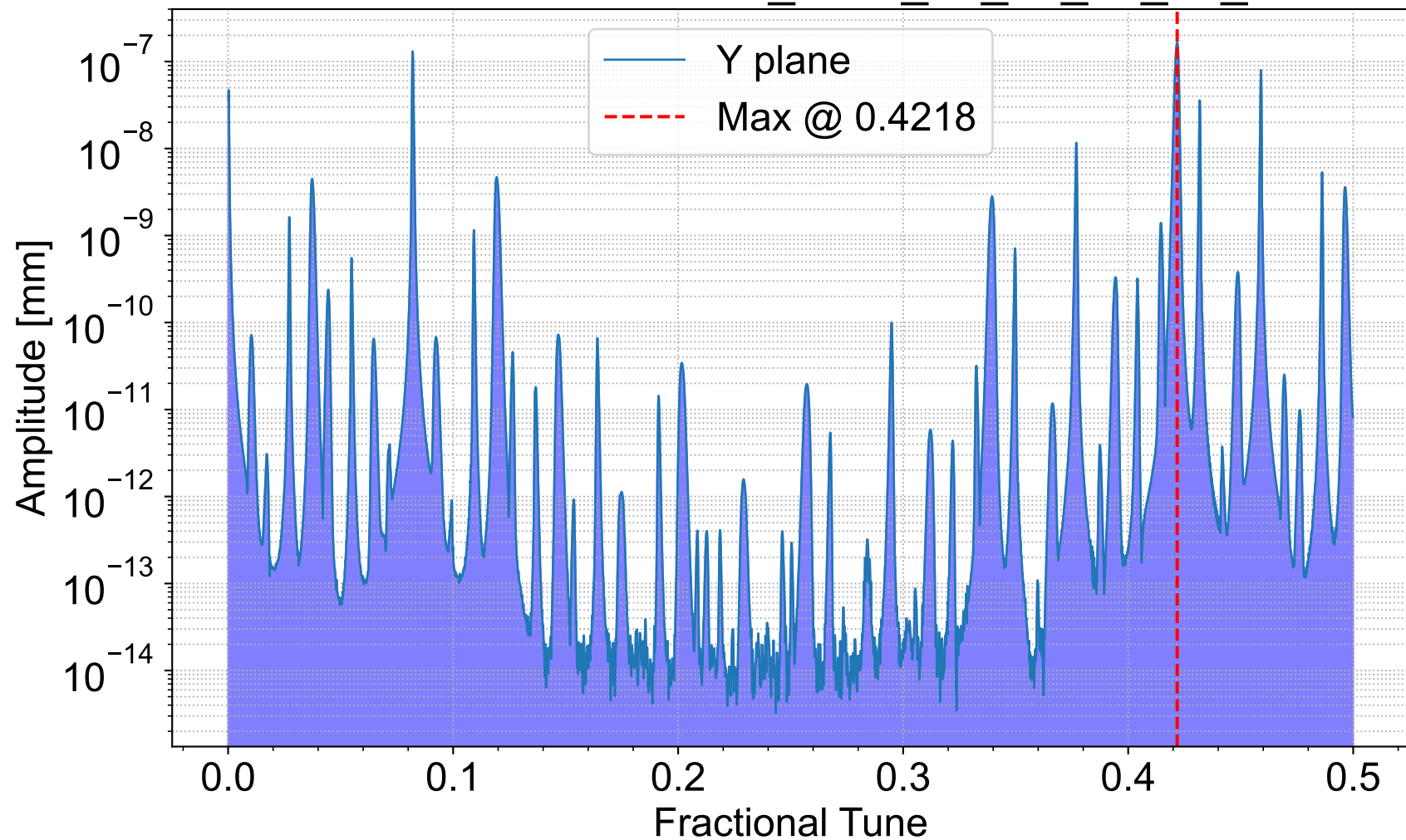
BPM MQD3E40 - HER_2024_06_17_17_53_37



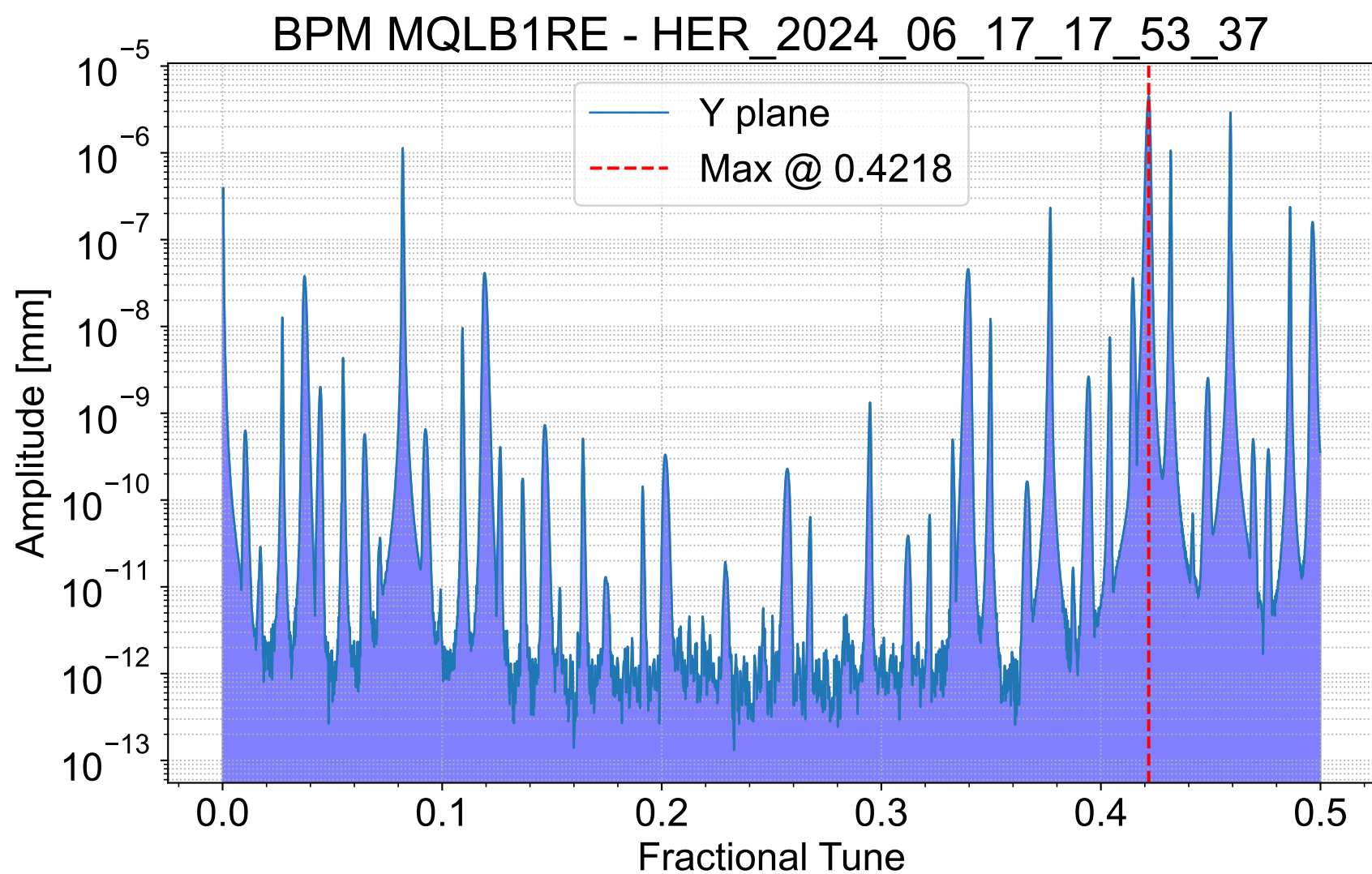
BPM MQLA2RE - HER_2024_06_17_17_53_37



BPM MQLB8RE - HER_2024_06_17_17_53_37



BPM MQLB1RE - HER_2024_06_17_17_53_37



BPM MQLC7RE - HER_2024_06_17_17_53_37

Amplitude [mm]

10^{-5}

10^{-6}

10^{-7}

10^{-8}

10^{-9}

10^{-10}

10^{-11}

10^{-12}

10^{-13}

Fractional Tune

Y plane

Max @ 0.4218

0.0

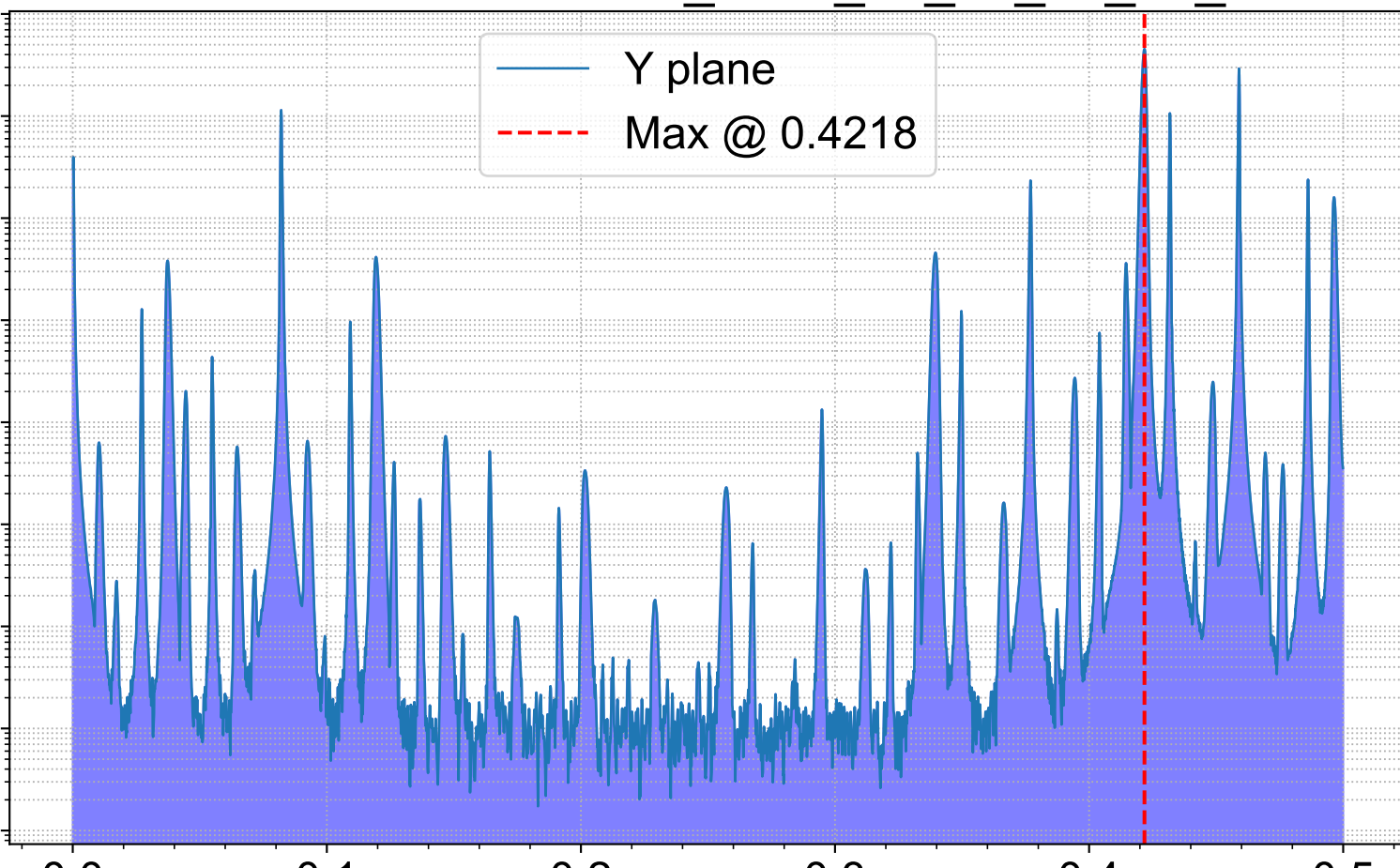
0.1

0.2

0.3

0.4

0.5



BPM MQLC3RE - HER_2024_06_17_17_53_37

